

Keyboards as a New Model of Computation

Yoan GÉRAN 
ENS Paris-Saclay, France

Bastien LABOUREIX 
ENS Paris-Saclay, France

Corto MASCLE 
ENS Paris-Saclay, France

Valentin D. RICHARD 
ENS Paris-Saclay, France

Abstract

We introduce a new formalisation of language computation, called keyboards. We consider a set of atomic operations (writing a letter, erasing a letter, going to the right or to the left) and we define a keyboard as a set of finite sequences of such operations, called keys. The generated language is the set of words obtained by applying some non-empty sequence of those keys. Unlike classical models of computation, every key can be applied anytime. We define various classes of languages based on different sets of atomic operations, and compare their expressive powers. We also compare them to rational, context-free and context-sensitive languages. We obtain a strict hierarchy of classes, whose expressiveness is orthogonal to the one of the aforementioned classical models. We also study closure properties of those classes, as well as fundamental complexity problems on keyboards.

2012 ACM Subject Classification Theory of computation

Keywords and phrases formal languages, models of computation, automata theory

Related Version Here is a French version of the paper: <https://arxiv.org/abs/2102.10182>

Acknowledgements We want to thank Pierre Béaur, Lucas Buéri, Jean-Baptiste Daval, Paul Gastin, Colin Geniet, Valentin Maestracci and Clément Théron for their helpful advice and feedback.

1 Introduction

We present a new formalisation of languages, called keyboards. A keyboard K is a finite set of keys, which are finite sequences of atomic operations, such as writing or erasing a letter, going one position to the right or to the left... The language of K is the set of words obtained by applying a sequence of its keys on an initially empty writing space.

This idea of studying the set generated by a set of algebraic operations is far from new: many works exist on the sets generated by a subset of elements of an algebraic structure, for instance in the context of semigroup and group theory [3, 8], of matrix monoids [2, 10] or the theory of codes [4]. There is however, to the best of the author’s knowledge, no previous work on a model resembling the one presented here.

The atomic operations we use in this paper are the base of other models of computation, such as forgetting automata and erasing automata [5, 6, 11]. The use of those operations was originally to simulate some analysis strategies in linguistics. As a first study of the model, we chose the actions of the operations (backspace and arrows) to behave like an actual keyboard in a text editor.

We can define various classes of languages based on the set of atomic operations we consider, and compare their expressive powers between them, and to well-known classes of languages. We obtain a strict hierarchy of classes, with a wide range of expressiveness and difficulty of comprehension. The expressiveness of keyboards seems to be overall orthogonal

2 Keyboards as a New Model of Computation

to the ones of classical models of computation, which we explain by two key differences with the latter.

First, keyboards are blind and memoryless, in that they do not have states and cannot read the tape at any point. Second, because of this weakness, we can allow operations such as moving in the word or erasing letters without blowing up their expressive power too much.

The main interests of keyboards are: 1. to obtain many deep and complex mathematical questions from a deceptively simple model, and 2. that their expressiveness is very different from the ones of classical models. A language that is simple to express with a keyboard may be more complicated for automata, and vice versa. This paper is meant as a first step in the study and comprehension of keyboards and their languages.

The paper is organised as follows. In Sections 2 and 3 we establish notations and basic definitions. Section 4 and 5 are dedicated to building properties and tools necessary to the study of keyboards. In Section 6 we dive into the specific properties of each keyboard class, and prove the inclusions of some of them in regular, context-free and context-sensitive languages. Then in Section 7, we study the inclusions between those classes, in particular showing that they are all different. Some complexity results are given in Section 8. Finally, in Section 9 we show that keyboard classes are not stable by union or intersection, and that some (but not all) of them are stable by mirror.

All proofs can be found in the appendices.

2 Preliminaries

Given a finite alphabet A , we note A^* the set of finite words over A and A^+ for the set of non-empty ones. Given a word $w = a_1 \cdots a_n \in A^*$, we write $|w|$ for its length and, for all $a \in A$, $|w|_a$ the number of occurrences of a in w . For all $1 \leq i, j \leq n$ we use the notation $w[i]$ for the i^{th} letter of w (i.e. a_i) and $w[i, j]$ for its factor $a_i \cdots a_j$ (and ε if $j < i$). We denote the mirror of w by $\tilde{w} = a_n \cdots a_1$.

We write $\text{Pref}(w)$ for the set of prefixes of w , $\text{Suff}(w)$ for its set of suffixes, $\text{Fact}(w)$ for its set of factors and $\text{Sub}(w)$ for its set of subwords.

We represent a finite automaton A as a tuple $(Q, \Delta, \text{Init}, \text{Fin})$ with Q a finite set of states, $\Delta : Q \times A \rightarrow 2^Q$ a transition function, and $\text{Init}, \text{Fin} \subseteq Q$ sets of initial and final states.

We represent a pushdown automaton on A as a tuple $(Q, \Gamma, \perp, \Delta, \text{Init}, \text{Fin})$ with

- Q a finite set of states ;
- Γ a finite stack alphabet ;
- $\perp \in \Gamma$ an initial stack symbol ;
- $\Delta : Q \times A \times (\Gamma \cup \{-\})^2 \rightarrow 2^Q$ a transition function ;
- Init and Fin sets of initial and final states.

We accept a word on final states with an empty stack. We write transitions as follows:

$$s_1 \xrightarrow[a]{\text{op}_1, \text{op}_2} s_2$$

with

- $\text{op}_1 = \uparrow \gamma$ if we pop $\gamma \in \Gamma$, and $\text{op}_1 = -$ if we do not pop anything.
- $\text{op}_2 = \downarrow \gamma$ if we push $\gamma \in \Gamma$ on the stack, and $\text{op}_2 = -$ if we do not push anything.

We will use ε -transitions in both finite and pushdown automata to simplify some proofs.

For more details and properties of those models, we refer the reader to [7].

3 Definitions

We fix a finite alphabet A and the following special symbols, taken out of A :

The backspace : \leftarrow The left arrow : \blacktriangleleft The right arrow : \blacktriangleright

The set of all symbols is $S \triangleq A \cup \{\leftarrow, \blacktriangleleft, \blacktriangleright\}$. An element of S is called an *atomic operation*.

► **Definition 3.1.** A configuration is a pair of words $(u, v) \in A^* \times A^*$. We will use $\mathcal{C}(A)$ to denote the set of configurations over A , and $\langle u|v \rangle$ to denote the configuration (u, v) .

We define the notation $\langle u|v \rangle_i$ as the letter at position i in the configuration with respect to the cursor: $\langle u|v \rangle_i = \tilde{u}[-i]$ if $i < 0$ and $v[i]$ if $i > 0$.

► **Definition 3.2.** The action of an atomic operation $\sigma \in S$ on a configuration $\langle u|v \rangle$ is written $\langle u|v \rangle \cdot \sigma$ and is defined as follows:

$$\begin{aligned}\langle u|v \rangle \cdot a &= \langle ua|v \rangle \text{ if } a \in A. \\ \langle \varepsilon|v \rangle \cdot \leftarrow &= \langle \varepsilon|v \rangle \quad \text{and} \quad \langle u'a|v \rangle \cdot \leftarrow = \langle u'|v \rangle \\ \langle \varepsilon|v \rangle \cdot \blacktriangleleft &= \langle \varepsilon|v \rangle \quad \text{and} \quad \langle u'a|v \rangle \cdot \blacktriangleleft = \langle u'|av \rangle \\ \langle u|\varepsilon \rangle \cdot \blacktriangleright &= \langle u|\varepsilon \rangle \quad \text{and} \quad \langle u|av' \rangle \cdot \blacktriangleright = \langle ua|v' \rangle\end{aligned}$$

We will sometimes write $\langle u|v \rangle \xrightarrow{\sigma} \langle u'|v' \rangle$ for $\langle u'|v' \rangle = \langle u|v \rangle \cdot \sigma$.

► **Example 3.3.** By applying the following sequence of atomic operations $\leftarrow, a, \blacktriangleright, \blacktriangleright, b$ to the configuration $\langle c|d \rangle$, we obtain the following rewriting derivation:

$$\langle c|d \rangle \xleftarrow{\leftarrow} \langle \varepsilon|d \rangle \xrightarrow{a} \langle a|d \rangle \xrightarrow{\blacktriangleright} \langle ad|\varepsilon \rangle \xrightarrow{\blacktriangleright} \langle ad|\varepsilon \rangle \xrightarrow{b} \langle adb|\varepsilon \rangle.$$

► **Definition 3.4.** We define other semantics for atomic operations, called effective semantics. The difference with the previous ones is that we forbid application of atomic operations without effect (such as backspace when the left word of the configuration is empty). Formally, given $u, v \in A^*, a \in A$ we have:

$$\begin{array}{ll}\langle u|v \rangle \xrightarrow{a} e \langle ua|v \rangle & \langle u'a|v \rangle \xleftarrow{e} \langle u'|v \rangle \\ \langle u'a|v \rangle \xrightarrow{\blacktriangleleft} e \langle u'|av \rangle & \langle u|av' \rangle \xrightarrow{e} \langle ua|v' \rangle\end{array}$$

We also define the operator \odot by $\langle u|v \rangle \odot \sigma = \langle u'|v' \rangle$ if and only if $\langle u|v \rangle \xrightarrow{e} \langle u'|v' \rangle$.

► **Definition 3.5.** A key is a sequence of atomic operations, seen as a word on S . We will use $\mathcal{T}(S)$ to denote the set of keys on S (variables k, t, \dots), or \mathcal{T} if there is no ambiguity.

► **Definition 3.6.** The action of a key over a configuration is defined inductively as follows:

$$\begin{cases} \langle u|v \rangle \cdot \varepsilon = \langle u|v \rangle \\ \langle u|v \rangle \cdot (\sigma t) = (\langle u|v \rangle \cdot \sigma) \cdot t \end{cases}$$

We extend the notation $\langle u|v \rangle \xrightarrow{t} \langle u'|v' \rangle$ to keys. We define $\langle u|v \rangle \xrightarrow{t} e \langle u'|v' \rangle$ and $\langle u|v \rangle \odot t$ analogously.

► **Remark 3.7.** We will also consider sequences of keys $\tau = t_1 \dots t_n$. The action of τ is obtained by composing the actions of the t_i , hence applying τ has the same effect as applying sequentially t_1, \dots, t_n . Note that τ is seen as a word on $\mathcal{T}(S)$ (and not on S), thus $|\tau|$ is n .

► **Definition 3.8.** The length of a key t , written $|t|$, is its length as a word on S . Further, given $\sigma \in S$, we note $|t|_\sigma$ the number of occurrences of σ in t . The size of a configuration $\langle u|v \rangle$ is defined as $|\langle u|v \rangle| = |u| + |v|$.

► **Definition 3.9.** Two keys t and t' are equivalent, denoted $t \sim t'$, if for all $u, v \in A^*$, $\langle u|v \rangle \cdot t = \langle u|v \rangle \cdot t'$.

► **Example 3.10.** ε is equivalent to $a \leftarrow$ for all $a \in A$, but not to $\blacktriangleright \blacktriangleleft$, as we have $\langle a|\varepsilon \rangle \cdot \blacktriangleright \blacktriangleleft = \langle \varepsilon|a \rangle$ whereas $\langle a|\varepsilon \rangle \cdot \varepsilon = \langle a|\varepsilon \rangle$.

Example 3.10 illustrates how \blacktriangleleft , \blacktriangleright and \leftarrow act differently if one side of the configuration is empty. We will see that these ‘edge effects’ add some expressiveness compared to the effective semantics, but make proofs more complex.

► **Definition 3.11** (Automatic Keyboard). An automatic keyboard is a finite subset of $\mathcal{T}(S)$.

► **Definition 3.12.** An execution of an automatic keyboard K on a configuration $c_0 \in \mathcal{C}$ is a non-empty finite sequence $\rho = (t_1, c_1), \dots, (t_{n+1}, c_{n+1}) \in (K \times C)^{n+1}$ ($n \in \mathbb{N}$) such that

$$\forall i \in \llbracket 1 ; n+1 \rrbracket, c_{i-1} \xrightarrow{t_i} c_i.$$

By default, we take as initial configuration $c_0 = \langle \varepsilon|\varepsilon \rangle$. We usually write $c_0 \xrightarrow{\tau} c_{n+1}$ to mean the execution $(\tau[1], c_0 \cdot \tau[1]), \dots, (\tau[n+1], c_0 \cdot \tau[1, n+1])$.

► **Definition 3.13.** A word $w \in A^*$ is recognized by an automatic keyboard K if there exist $u, v \in A^*$ and an execution $\langle \varepsilon|\varepsilon \rangle \xrightarrow{\tau} \langle u|v \rangle$ such that $w = uv$. The language $\mathcal{L}(K)$ of K is the set of words recognized by K .

We now define keyboards as automatic keyboards to which we added some final keys ‘with entry’, which mark the end of the execution.

► **Definition 3.14** (Keyboard (with entry)). A keyboard K on S is a pair (T, F) of finite sets $T, F \subset \mathcal{T}(S)$. We call the elements of F the final keys of K and the elements of T its transient keys.

► **Definition 3.15** (Accepting execution of a keyboard). Let $K = (T, F)$ be a keyboard and $c_0 = \langle u_0|v_0 \rangle$ an initial configuration. An accepting execution of K on c_0 is a finite sequence $\rho = (t_1, c_1), \dots, (t_{n+1}, c_{n+1}) \in (T \times C)^n \cdot (F \times C)$ ($n \in \mathbb{N}$) such that

$$\forall i \in \llbracket 1 ; n+1 \rrbracket, c_{i-1} \xrightarrow{t_i} c_i.$$

By default, an accepting execution is on the empty configuration $\langle \varepsilon|\varepsilon \rangle$.

► **Definition 3.16.** A word $w \in A^*$ is recognized by a keyboard K if there exist $u, v \in A^*$ and an execution $\langle \varepsilon|\varepsilon \rangle \xrightarrow{\tau} \langle u|v \rangle$ such that $w = uv$. The language $\mathcal{L}(K)$ of K is the set of words recognized by K .

► **Example 3.17.** The keyboard with one transient key aa and one final key a , recognizes sequences of a of odd length.

► **Remark 3.18.** Let K_a be an automatic keyboard, then $\mathcal{L}(K_a)$ is recognized by the keyboard with entry (K_a, K_a) . In all that follows we will thus see automatic keyboards as a subclass of keyboards.

► **Definition 3.19** (Size of a keyboard). *The size of a keyboard $K = (T, F)$ is defined as*

$$\|K\|_\infty = \max\{|t| \mid t \in T \cup F\}.$$

We may also use another measure $|K|$ of the size of K for complexity purposes:

$$|K| = \sum_{t \in T \cup F} (|t| + 1).$$

► **Definition 3.20** (Minimal keyboard). *A minimal keyboard K is an automatic keyboard without any operation besides writing letters. It can therefore be seen as a finite subset of A^* . We will note MK the class of minimal keyboards.*

► **Remark 3.21.** We construct our keyboard classes through the sets of special operations we allow. Class names are obtained by adding B (for \leftarrow), E (for the entry, noted \blacksquare), L (for \blacktriangleleft) and A (for \blacktriangleleft and \blacktriangleright) to K . We obtain these classes.

$\text{MK} : \{\}$	$\text{LK} : \{\blacktriangleleft\}$	$\text{AK} : \{\blacktriangleleft, \blacktriangleright\}$
$\text{EK} : \{\blacksquare\}$	$\text{LEK} : \{\blacktriangleleft, \blacksquare\}$	$\text{EAK} : \{\blacktriangleleft, \blacktriangleright, \blacksquare\}$
$\text{BK} : \{\leftarrow\}$	$\text{BLK} : \{\blacktriangleleft, \leftarrow\}$	$\text{BAK} : \{\blacktriangleleft, \blacktriangleright, \leftarrow\}$
$\text{BEK} : \{\leftarrow, \blacksquare\}$	$\text{BLEK} : \{\blacktriangleleft, \leftarrow, \blacksquare\}$	$\text{BEAK} : \{\blacktriangleleft, \blacktriangleright, \leftarrow, \blacksquare\}$

► **Remark 3.22.** We do not consider classes with \blacktriangleright without \blacktriangleleft because, without the \blacktriangleleft operator, we can only reach configurations of the form $\langle u | \varepsilon \rangle$ and thus \blacktriangleright never has any effect.

► **Remark 3.23.** We use the class names above to designate both keyboard classes and language classes. For instance, we will write that L is in AK if there exists a keyboard $K \in \text{AK}$ such that $L = \mathcal{L}(K)$.

4 General properties

In this section, we establish some properties on keyboard. Although most of them are quite intuitive, we take the time to be as formal as possible in order to build solid bases for the study of keyboards.

Our first lemma states that applying a key can only affect a bounded part of the word around the cursor.

► **Lemma 4.1** (Locality). *Let $t = \sigma_1 \dots \sigma_n$ be a key. If $\langle u | v \rangle \xrightarrow{t} \langle u' | v' \rangle$, then $u[1, |u| - n]$ is a prefix of u' and $v[n + 1, |v|]$ is a suffix of v' .*

Furthermore, $u'[1, |u'| - n]$ is a prefix of u and $v'[n + 1, |v'|]$ is a suffix of v .

Then we formalize the fact that if the cursor is far enough from the extremities of the word then we do not have edge effects.

► **Lemma 4.2** (Effectiveness far from the edges). *Let $t = \sigma_1 \dots \sigma_n$ be a key, $\langle u | v \rangle$ a configuration and $\langle u_n | v_n \rangle = \langle u | v \rangle \cdot t$. If $n \leq \min(|u|, |v|)$, then $\langle u | v \rangle \xrightarrow{t} \langle u_n | v_n \rangle$, meaning that all the arrows and backspaces are applied effectively.*

The two next lemmas bound the variation in length of the configuration when applying a key.

► **Lemma 4.3** (Bounds on the lengths). Let $t = \sigma_1 \dots \sigma_n$ be a key, $\langle u|v \rangle$ a configuration and $\langle u_n|v_n \rangle = \langle u|v \rangle \cdot t$. Then

$$|uv| - |t|_{\leftarrow} + \sum_{x \in A} |t|_x \leq |u_n v_n| \leq |uv| + \sum_{x \in A} |t|_x.$$

In particular $|u_n v_n| - |uv| \leq n$. Moreover $\|u_n\| - \|u\| \leq n$ and $\|v_n\| - \|v\| \leq n$.

► **Lemma 4.4** (Length evolution without left edge effects). Let $t = \sigma_1 \dots \sigma_n$ be a key, $\langle u|v \rangle$ a configuration such that $|u| \geq n$. Let $\langle u_n|v_n \rangle = \langle u|v \rangle \cdot t$, then

$$|u_n v_n| = |uv| - |t|_{\leftarrow} + \sum_{x \in A} |t|_x.$$

Then, we obtain the following lemma that can be used to show that some languages are not recognized by a keyboard.

► **Lemma 4.5.** Let K be a keyboard with language L . Let $(\ell_n)_{n \in \mathbb{N}}$ be the sequence obtained by sorting the lengths of the words in L by increasing order. Then $(\ell_{n+1} - \ell_n)_{n \in \mathbb{N}}$ is bounded by $3\|K\|_{\infty}$.

► **Example 4.6.** The languages $\{a^{n^2} \mid n \in \mathbb{N}\}$ and $\{a^p \mid p \text{ prime}\}$ are not recognized by a keyboard.

The two following lemmas will be useful when studying effective executions.

► **Lemma 4.7.** Let $t = \sigma_1 \dots \sigma_n$ be a key such that $\langle u|v \rangle \xrightarrow{t} e \langle u_n|v_n \rangle$. Then, for all words x, y , $\langle xu|vy \rangle \xrightarrow{t} e \langle x u_n | v_n y \rangle$.

► **Lemma 4.8.** Let $t = \sigma_1 \dots \sigma_n$ be a key, $\langle u|v \rangle$ and $\langle x|y \rangle$ configurations such that $|u| = |x|$ and $|v| = |y|$. Then t acts efficiently from $\langle u|v \rangle$ if and only if it acts efficiently from $\langle x|y \rangle$.

5 Key behaviour

This section aims at providing tools to describe the behaviour of a key. How can we formally express the intuitive fact that the i^{th} symbol of $c \cdot t$ was written by t or that the i^{th} symbol of c was moved by t ? We are going to distinguish letters from t and c in order to keep track of where t writes its letters and how the letters of c were affected.

► **Definition 5.1** (Tracking function). Let \mathbb{Z}_t and \mathbb{Z}_c be two duplicates of \mathbb{Z} . We denote by \bar{k} the elements of \mathbb{Z}_c and by \hat{k} the elements of \mathbb{Z}_t .

We define the tracking functions, one for keys $f_t: S^* \rightarrow (S \cup \mathbb{Z}_t)^*$, defined as follows: $f_t(\sigma_1 \dots \sigma_n) = \sigma'_1 \dots \sigma'_n$ where

$$\sigma'_i = \begin{cases} \hat{i} & \text{if } \sigma_i \in A \\ \sigma_i & \text{otherwise} \end{cases}$$

and one for configurations $f_c: \mathcal{C}(A) \rightarrow \mathbb{Z}_c^* \times \mathbb{Z}_c^*$ defined by

$$f_c(a_1 \dots a_k, b_1 \dots b_j) = \langle \overline{-k} \dots \overline{-1} | \overline{1} \dots \overline{j} \rangle.$$

By applying $f_t(t)$ to $f_c(c)$, we can keep track of which letters of the configuration and of the key were written, erased, or displaced, and where. We need two copies of \mathbb{Z} to differentiate between the symbols of $f_t(t)$ (added by the key) and $f_c(c)$ (already in the configuration).

► **Definition 5.2.** Let $\langle u|v \rangle$ be a configuration and t a key. We note $\langle u'|v' \rangle = \langle u|v \rangle \cdot t$ and $\langle x|y \rangle_i = f_c(u,v) \cdot f_t(t)$. We say that t writes its k^{th} symbol at position i from $\langle u|v \rangle$ if $\langle x|y \rangle_i = \hat{k}$.

► **Remark 5.3.** Let $t = \sigma_1 \dots \sigma_n$ be a key, $\langle u|v \rangle$ a configuration and $1 \leq j < k \leq n$ integers. Then t writes its k^{th} symbol at position i from $\langle u|v \rangle$ if and only if $\sigma_{j+1} \dots \sigma_n$ writes its $(k-j)^{\text{th}}$ symbol at position i from $\langle u|v \rangle \cdot \sigma_1 \dots \sigma_j$. In particular, t writes its k^{th} symbol at position i from $\langle u|v \rangle$ if and only if $\sigma_k \dots \sigma_n$ writes its 1^{st} symbol from $\langle u|v \rangle \cdot \sigma_1 \dots \sigma_{k-1}$.

We defined an intuitive notion of writing the k^{th} symbol of t . In particular, if t writes its k^{th} symbol in i^{th} position from $\langle u|v \rangle$, then $\langle u'|v' \rangle_i = t_k$, as stated below.

► **Proposition 5.4.** Let $t = \sigma_1 \dots \sigma_n$ be a key, $\langle u|v \rangle$ a configuration. We note

$$\begin{aligned}\langle u_n|v_n \rangle &= \langle u|v \rangle \cdot t & \langle x'_n|y'_n \rangle &= f_c(u,v) \cdot t \\ \langle u'_n|v'_n \rangle &= \langle u|v \rangle \cdot f_t(t) & \langle x_n|y_n \rangle &= f_c(u,v) \cdot f_t(t)\end{aligned}$$

Then $|u_n| = |x_n| = |u'_n| = |x'_n|$ and $|v_n| = |y_n| = |v'_n| = |y'_n|$. And for all $a \in A$,

$$\begin{aligned}\langle u_n|v_n \rangle_j = a &\text{ iff } \langle x_n|y_n \rangle_j = \bar{k} \text{ and } \langle u|v \rangle_k = a \quad \text{or } \langle x_n|y_n \rangle_j = \hat{k} \text{ and } t_k = a \\ &\text{iff } \langle u'_n|v'_n \rangle_j = a && \text{or } \langle u'_n|v'_n \rangle_j = \hat{k} \text{ and } t_k = a \\ &\text{iff } \langle x'_n|y'_n \rangle_j = \bar{k} \text{ and } \langle u|v \rangle_k = a && \text{or } \langle x'_n|y'_n \rangle_j = a \\ &\text{(iff } a \text{ already in configuration} && \text{or } a \text{ added by } t).\end{aligned}$$

Tracking functions are a convenient formalism to show some results on keyboards. Besides, they permit to take multiples points of view.

► **Corollary 5.5.** Let t be a key and $\langle u|v \rangle$ a configuration. Then t writes its k^{th} symbol at position i from $\langle u|v \rangle$ if and only if $(\langle u|v \rangle \cdot f_t(t))_i = \hat{k}$.

► **Definition 5.6.** Let t be a key, $\langle u|v \rangle$ a configuration. We say that t writes an a in i^{th} position from $\langle u|v \rangle$ if there exists k such that $t_k = a$ and t writes its k^{th} symbol in position i from $\langle u|v \rangle$. We say that t writes an a from $\langle u|v \rangle$ if t writes an a in some position from $\langle u|v \rangle$.

Then, we obtain some results, which are direct consequences of Proposition 5.4.

► **Proposition 5.7.** If t writes its k^{th} symbol in i^{th} position from $\langle u|v \rangle$ then $(\langle u|v \rangle \cdot t)_i = t_k$. In particular, if t writes an a in i^{th} position from $\langle u|v \rangle$ then $(\langle u|v \rangle \cdot t)_i = a$ and if t writes an a from $\langle u|v \rangle$ then $\langle u|v \rangle \cdot t$ contains an a .

► **Proposition 5.8.** Let t be a key and $\langle u|v \rangle$, $\langle u'|v' \rangle$ two configurations such that $|u| = |u'|$ and $|v| = |v'|$. Then t writes its k^{th} symbol in i^{th} position from $\langle u|v \rangle$ if and only if t writes its k^{th} symbol in i^{th} position from $\langle u'|v' \rangle$. In particular, t writes an a in j^{th} position from $\langle u|v \rangle$ if and only if t writes an a in j^{th} position from $\langle x|y \rangle$, and t writes an a from $\langle u|v \rangle$ if and only if t writes an a from $\langle x|y \rangle$.

This proposition makes explicit the fact that keys cannot read the content of a configuration. This leads to the following characterization.

► **Proposition 5.9.** Let t be a key, $a \in A$ and $\langle u|v \rangle$ a configuration containing no a . Let $\langle u'|v' \rangle = \langle u|v \rangle \cdot t$. t writes an a in position i from $\langle u|v \rangle$ if and only if $\langle u'|v' \rangle_i = a$. In particular, t writes an a from $\langle u|v \rangle$ if and only if $\langle u'|v' \rangle$ contains an a .

Clearly, if the number of a 's in a configuration increases after applying a key then this key writes an a .

► **Proposition 5.10.** *Let t be a key and $\langle u|v \rangle$ a configuration. If $|\langle u|v \rangle|_a < |\langle u|v \rangle \cdot t|_a$, then t writes an a from $\langle u|v \rangle$.*

Note that if a key behaves differently from two configurations, then there must be some edge effects. In what follows we focus on effective executions.

► **Proposition 5.11.** *Let t be a key and $\langle u|v \rangle$ and $\langle x|y \rangle$ two configurations on which t acts effectively. Then t writes its k^{th} symbol in i^{th} position from $\langle u|v \rangle$ if and only if t writes its k^{th} symbol in i^{th} position from $\langle x|y \rangle$. Therefore, t writes an a in position i from $\langle u|v \rangle$ if and only if t writes an a in position i from $\langle x|y \rangle$.*

In other words, a key always behaves the same way far from the edges of the configuration.

► **Definition 5.12.** *Let t be a key. We say that t ensures an a in position i far from the edges if there exists a configuration $\langle u|v \rangle$ such that t acts effectively on $\langle u|v \rangle$ and t writes an a in position i from $\langle u|v \rangle$.*

Then, we immediately obtain the following propositions.

► **Proposition 5.13.** *Let t be a key and $u, v \in A^*$ such that $|u| \geq |t|$ and $|v| > |t|$. Then t ensures an a far from the edges if and only if t writes an a from $\langle u|v \rangle$.*

► **Proposition 5.14.** *Let t be a key and $u, v \in A^*$ such that $|u| \geq |t|$ and $|v| \geq |t|$. If $|\langle u|v \rangle|_a < |\langle u|v \rangle \cdot t|_a$, then t ensures an a far from the edges.*

► **Proposition 5.15.** *Let t be a key which ensures an a far from the edges and $\langle u|v \rangle$ such that $|u| \geq |t|$ and $|v| \geq |t|$. Then $\langle u|v \rangle \cdot t$ contains an a .*

6 Characterisation of the classes

6.1 Languages of BEK (without the arrows)

To begin, we study keyboards that do not contain any arrows.

6.1.1 MK and EK

MK and EK are quite easy to understand. Indeed, since a key of a minimal keyboard K is just a word on A , $K \subset A^*$.

► **Remark 6.1.** Let $K = \{w_1, \dots, w_n\}$ be a minimal keyboard. Then $\mathcal{L}(K) = (w_1 + \dots + w_n)^+$.

EK languages are rather similar.

► **Lemma 6.2.** *Let $K = (T, F)$ be a EK keyboard. Then $\mathcal{L}(K) = T^*F$ and this regular expression can be computed in $O(|K|)$.*

Thus, we can build in linear time a regular expression that recognizes $\mathcal{L}(K)$.

6.1.2 BK and BEK

As a BEK keyboard has no \blacktriangleleft operation, the right component of a configuration in an execution of $K \in \text{BEK}$ (starting from $\langle \varepsilon | \varepsilon \rangle$) is always empty. Thus, in this part we will sometimes denote u for the configuration $\langle u | \varepsilon \rangle$.

Some of the expressiveness of BEK comes from edge effects. For instance, finite languages are recognized by BK keyboards.

► **Example 6.3.** Let L be a finite language and $M = \max\{|w| \mid w \in L\}$. Then L is recognized by $K = \{\leftarrow^M w \mid w \in L\}$.

These edge effects could make BEK languages quite complex.

► **Lemma 6.4 (Normal form).** Let $t \in S^*$ be a key from BEK. Then there exist $m \in \mathbb{N}$ and $w \in A^*$ such that $t \sim \leftarrow^m w$. Further, m and w can be computed from t in polynomial time.

Using this normal form, we understand that the action of a BEK key always consists in deleting a bounded number of letters at the end of the word, then adding a bounded number of letters. This reminds us of stacks. Following this intuition, we can easily encode the behavior of a BEK keyboard into a pushdown automaton.

However, BEK is even more narrow since all languages of BEK are regular.

► **Theorem 6.5.** Let K be a BEK keyboard. Then, $\mathcal{L}(K)$ is regular and we can build an NFA $\mathcal{A}(K)$ recognizing $\mathcal{L}(K)$ in polynomial time.

► **Remark 6.6.** There are several ways to prove this result. One of them is to apply the pushdown automaton construction from the proof of Theorem 6.11 (presented later in the paper) in the particular case of BEK. The language of the BEK keyboard is then essentially the stack language of this automaton. A slight adaptation of the classical proof that the stack language of a pushdown automaton is rational then yields the result.

We choose to include another proof in this work, as it is elementary, not much longer than the one aforementioned, and seems more elegant to the authors.

6.2 Languages of BLEK (without the right arrow)

In this section, we allow the use of \blacktriangleleft . With this symbol, we have the possibility to move into the word, and then erase or write letters. It opens a new complexity level.

Moreover, we provide a non-regular language of BLEK, hence showing that it is more expressive than BEK (see Theorem 6.5).

► **Example 6.7.** Let $K = \{aa\blacktriangleleft, bb\blacktriangleleft\}$. Then, $\mathcal{L}(K) = \{u\tilde{u} \mid u \in (a+b)^+\}$, that is, K recognizes the non-empty palindromes of even length.

Thus, we can represent context-free non-regular languages with BLEK (one can observe that the keyboard of Example 6.7 is actually even in LK).

However, a basic observation helps us to understand the behaviour of a key of BLEK: as we do not have the symbol \blacktriangleright , we cannot go back to the right and all the letters to the right of the cursor are written forever. The following lemma can be proven easily by induction.

► **Lemma 6.8.** Let $t = \sigma_1 \dots \sigma_n$ be a sequence of atomic operations, and $\langle u | v \rangle$ a configuration. Then, $\langle u | v \rangle \cdot t$ is of the form $\langle u' | v'v \rangle$.

Then, we can make some assertions about a key observing its result over a configuration.

► **Lemma 6.9** (Independence from position). *Let t be a key of BLEK and $\langle u|v \rangle$ a configuration. If t writes an a from $\langle u|v \rangle$, then for all configurations $\langle u'|v' \rangle$, t writes an a from $\langle u'|v' \rangle$.*

Moreover, we can refine Lemma 6.8.

► **Theorem 6.10** (BLEK fundamental). *Let $t = \sigma_1 \dots \sigma_n$ be a sequence of atomic operations, and $\langle u|v \rangle$ a configuration. We set $\langle x_n|y_n \rangle = \langle \varepsilon|\varepsilon \rangle \cdot t$. Then $\langle u|v \rangle \cdot t$ is of the form $\langle u_n x_n|v_n v \rangle$ with y_n a subword of v_n and u_n a prefix of u .*

These observations help us to better understand BLEK. A key observation is that we can see the left part of the configuration as a stack, which can be modified, and the right part as the fixed one, just as the prefix of a word that has been read by an automaton. We can then recognize (the mirror of) a BLEK language with a pushdown automaton which guesses a sequence of keys, maintains the left part of the configuration in the stack and reads the right part of the configuration.

► **Theorem 6.11.** *Let K be a BLEK keyboard. Then, $\mathcal{L}(K)$ is context-free and we can build a non-deterministic pushdown automaton $\mathcal{A}(K)$ recognizing $\mathcal{L}(K)$ in polynomial time.*

6.3 Languages of EAK (without backspace)

A third interesting class is EAK, where the backspace is not allowed. Thus, the size of a configuration does not decrease along an execution. The execution of such a keyboard can therefore be easily simulated on a linear bounded automaton, as stated in Theorem 6.14.

In all the proofs of this section we will say that t writes an a when t contains an a (as we have no \leftarrow if t contains an a then this a will not be erased when applying t).

► **Lemma 6.12.** *Let $K = (T, F)$ be a EAK keyboard. Let $u, v \in A^*$, let $\tau \in (T \cup F)^*$ and let $\langle u'|v' \rangle = \langle u|v \rangle \cdot \tau$. Then uv is a subword of $u'v'$. In particular $|uv| \leq |u'v'|$.*

► **Lemma 6.13.** *Let $K = (T, F)$ be a EAK keyboard, let $w \in \mathcal{L}(K)$. There exists an execution $\tau = t_1 \dots t_n \in T^*F$ such that $\langle \varepsilon|\varepsilon \rangle \cdot \tau = \langle u|v \rangle$ with $uv = w$ and $n \leq |w|^2 + 1$.*

► **Theorem 6.14.** *For all keyboards $K = (T, F)$ of EAK we can construct a linear bounded automaton $\mathcal{A}(K)$ of polynomial size recognizing $\mathcal{L}(K)$.*

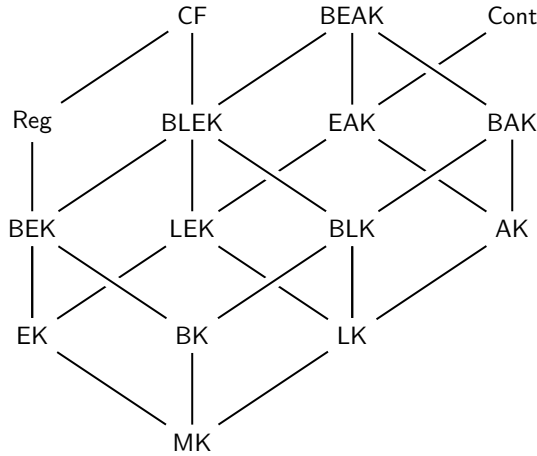
7 Comparison of the keyboard classes

The characterisations that we provide give us some information about each class independently. We now compare the subclasses of BEAK in order to find out which inclusions hold between them. One of these inclusions, between BAK and BEAK, is especially interesting since it shows that keyboards with entry are strictly more powerful than automatic ones.

We decompose our results into the following propositions. Those establish that a class is included in another if and only if that same inclusion holds between their sets of operators, except possibly for the inclusion of EK and BEK in BAK, which we do not prove or disprove.

To start with, we show that a class containing the left arrow cannot be included in a class lacking it. This is a direct consequence of Example 6.7 and Theorem 6.5 as we have a language of LK which is not rational, and thus not in BEK.

► **Proposition 7.1.** $LK \not\subseteq BEK$.



■ **Figure 1** Hierarchy of language classes

We continue with the two next propositions, showing that a class containing the entry cannot be included in a class excluding it, except possibly for BAK.

► **Proposition 7.2** ($EK \not\subseteq BLK$). EK is not included in BLK .

► **Proposition 7.3** ($EK \not\subseteq AK$). EK is not included in AK .

Then we prove that a class with \leftarrow cannot be included in a class without \leftarrow .

► **Proposition 7.4** ($BK \not\subseteq EAK$). BK is not included in EAK .

The next proposition states that a class containing \blacktriangleright cannot be included in a class lacking it.

► **Proposition 7.5** ($AK \not\subseteq BLEK$). AK is not included in $BLEK$.

And finally we show that, except possibly for EK and BEK , a class with entry cannot be included in a class without entry.

► **Proposition 7.6** ($LEK \not\subseteq BAK$). LEK is not included in BAK .

The inclusion Hasse diagram of all subclasses of $BEAK$ and traditional language classes is displayed in Figure 1 (Hierarchy of language classes).

8 Complexity results

In this section we establish some complexity upper bounds on the membership and universality problems for various keyboard classes. The following three propositions are direct consequences of the known complexity bounds of the models which we translated keyboards into (in Remark 6.1, Lemma 6.2, Theorem 6.5 and Theorem 6.11).

► **Proposition 8.1.** *The membership problem on MK and EK is in PTIME. The universality problem is in PTIME on MK and PSPACE on EK .*

The problem for EK seems simple: it amounts to deciding, given two finite sets of words T and F , if T^*F is universal. This problem may relate to the factor universality problem, proven to be PSPACE-complete [9].

► **Proposition 8.2.** *The membership problem over BEK is in PTIME, and the universality problem over BEK in PSPACE.*

► **Proposition 8.3.** *The membership problem over BLEK is in PTIME.*

For BK keyboards, we prove that there exists a word not accepted by a given BK keyboard if and only if there exists one of polynomial length.

► **Proposition 8.4.** *The universality problem for BK keyboards is in CONP.*

For EAK keyboards, we know by Lemma 6.13 that every word w recognized by a EAK keyboard can be written with an execution of length polynomial in $|w|$, hence this proposition:

► **Proposition 8.5.** *The membership problem for EAK keyboards is in NP.*

9 Closure properties

In this section we study closure properties of keyboard classes. We selected three operators, the union and the intersection, as they are the most natural closure operators, and the mirror, under which some classes are stable.

► **Proposition 9.1** (Mirror). MK, AK and EAK are stable by mirror. EK, BK, BEK and BLK are not stable by mirror.

► **Proposition 9.2** (Intersection). None of the keyboard language classes are stable by intersection.

► **Proposition 9.3** (Union). None of the keyboard language classes are stable by union.

We end this section with an undecidability result, showing that intersecting keyboards can lead to highly complex languages. This shows another link with context-free languages as the emptiness of the intersection of two context-free languages is undecidable as well.

► **Proposition 9.4** (Intersection emptiness problem). *The following problem is undecidable:*

Input: K_1, K_2 two LK keyboards.

Output: Is $\mathcal{L}(K_1) \cap \mathcal{L}(K_2)$ empty?

10 Conclusion

A natural question when it comes to models of computation is what we can do without any memory or any information on the current state of the system. We initiated a line of research aiming at studying such ‘blind’ models. The one we considered here, keyboards, proved to be mathematically complex and interestingly orthogonal in expressiveness to several of the most classical models. We have established a number of properties of keyboards, as well as a vocabulary facilitating their study. We separated almost all classes and compared their expressiveness, thereby uncovering the lattice of their power.

Future work

As keyboards are a completely new model, there are many open problems we are working on or intend to address. We conjecture that EK is not included in BAK, but we do not have a proof. We also conjecture that not all AK languages are algebraic (the language generated by $\{a\blacktriangleright\!, b\blacktriangleleft\!\}$ is a candidate as a counter-example) and that BEAK does not contain all rational languages ($a^* + b^*$ being a potential counter-example). We plan on extending the set of operations to add, for instance, a right erasing operator, symmetric to \leftarrow . It could also be interesting to study the semantics in which we forbid non-effective operations. Finally, we could equip the model with states and transitions labelled with keys. We would then have more control over which keys are applied at which times, thus increasing the expressiveness of the model and facilitating its study.

References

- 1 Jorge L Ramírez Alfonsín et al. *The diophantine Frobenius problem*, volume 30. Oxford University Press on Demand, 2005.
- 2 L. Babai and E. Szemerédi. On the complexity of matrix group problems i. In *25th Annual Symposium on Foundations of Computer Science, 1984.*, pages 229–240, 1984. doi:[10.1109/SFCS.1984.715919](https://doi.org/10.1109/SFCS.1984.715919).
- 3 Martin Beaudry. Membership testing in commutative transformation semigroups. *Information and Computation*, 79(1):84–93, 1988. doi:[https://doi.org/10.1016/0890-5401\(88\)90018-1](https://doi.org/10.1016/0890-5401(88)90018-1).
- 4 Jean Berstel, Dominique Perrin, and Christophe Reutenauer. *Codes and Automata*, volume 129 of *Encyclopedia of mathematics and its applications*. Cambridge University Press, 2010.
- 5 Petr Jančář, František Mráz, and Martin Plátek. Forgetting automata and the Chomsky hierarchy. In *Proc. SOFSEM'92*, 1993.
- 6 Petr Jančář, František Mráz, and Martin Plátek. Characterization of context-free languages by erasing automata. In Ivan M. Havel and Václav Koubek, editors, *Mathematical Foundations of Computer Science 1992*, pages 307–314, Berlin, Heidelberg, 1992. Springer Berlin Heidelberg.
- 7 Rajeev Motwani John E. Hopcroft and Jeffrey D. Ullman. *Introduction to Automata Theory, Languages, and Computation*. Pearson Education, Limited, 2013.
- 8 Neil D. Jones and William T. Laaser. Complete problems for deterministic polynomial time. *Theoretical Computer Science*, 3(1):105–117, 1976. doi:[https://doi.org/10.1016/0304-3975\(76\)90068-2](https://doi.org/10.1016/0304-3975(76)90068-2).
- 9 Maksymilian Mika and Marek Szykuła. The Frobenius and factor universality problems of the Kleene star of a finite set of words. *J. ACM*, 68(3), March 2021. doi:[10.1145/3447237](https://doi.org/10.1145/3447237).
- 10 Michael S Paterson. Unsolvability in 3×3 matrices. *Studies in Applied Mathematics*, 49(1):105–107, 1970.
- 11 Burchard von Braummühl and Rutger Verbeek. Finite-change automata. In K. Weihrauch, editor, *Theoretical Computer Science 4th GI Conference*, pages 91–100, Berlin, Heidelberg, 1979. Springer Berlin Heidelberg.



A Proofs of general properties

Proof of Lemma 4.1 (Locality)

► **Lemma 4.1 (Locality).** Let $t = \sigma_1 \dots \sigma_n$ be a key. If $\langle u|v \rangle \xrightarrow{t} \langle u'|v' \rangle$, then $u[1, |u| - n]$ is a prefix of u' and $v[n + 1, |v|]$ is a suffix of v' .

Furthermore, $u'[1, |u'| - n]$ is a prefix of u and $v'[n + 1, |v'|]$ is a suffix of v .

Proof. Let $t = \sigma_1 \dots \sigma_n$. We set $\langle u_0|v_0 \rangle = \langle u|v \rangle$ and $\langle u_i|v_i \rangle = \langle u_0|v_0 \rangle \cdot \sigma_1 \dots \sigma_i$ for all $0 \leq i \leq n$ (note that for all $0 < i \leq n$, $\langle u_i|v_i \rangle = \langle u_{i-1}|v_{i-1} \rangle \cdot \sigma_i$).

Further, for all i we use the notations $w_p(u, i) = u[1, |u| - i]$ and $w_s(v, i) = v[i + 1, |v|]$.

We will now show by induction on i that for all $0 \leq i \leq n$, $w_p(u, i)$ is a prefix of u_i and $w_s(v, i)$ a suffix of v_i . This clearly holds for $i = 0$ ($u_0 = u$ and $v_0 = v$).

Now suppose the property holds for some $i \in \llbracket 0, n - 1 \rrbracket$. Then $w_p(u, i)$ is a prefix of u_i and $w_s(v, i)$ a suffix of v_i . Note that $w_p(u, i + 1)$ is a prefix of $w_p(u, i)$ (and thus of u_i) and $w_s(v, i + 1)$ a suffix of $w_p(v, i)$ (and thus of v_i).

We distinguish cases according to the nature of σ_{i+1} .

- If $\sigma_{i+1} = a \in A$, then $u_{i+1} = u_i a$ and $v_{i+1} = v_i$, hence the property holds.
- If $\sigma_{i+1} = \leftarrow$, we have $v_{i+1} = v_i$. In order to show that $w_p(u, i + 1)$ is a prefix of u_{i+1} , we consider two subcases
 - If u_i is empty, then $u_{i+1} = u_i$.
 - Otherwise, u_i is of the form $w_p(u, i)u'c$ with $u \in A^*$ and $c \in A$, and thus $u_{i+1} = w_p(u, i)u'$.
 In both cases, $w_p(u, i + 1)$ is indeed a prefix of u_{i+1} .
- If $\sigma_{i+1} = \blacktriangleleft$, we again consider two subcases.
 - If u_i is empty, then $u_{i+1} = u_i$ and $v_{i+1} = v_i$.
 - Otherwise, u_i is of the form $w_p(u, i)u'c$ for some $c \in A$, thus $u_{i+1} = w_p(u, i)u'$ and $v_{i+1} = cv_i$.
 We obtain the result in both cases.
- If $\sigma_{i+1} = \blacktriangleright$, we proceed similarly.
 - If v_i is empty, then $u_{i+1} = u_i$ and $v_{i+1} = v_i$.
 - Otherwise, v_i is of the form $cv'w_s(v, i)$ for some $c \in A$ hence $u_{i+1} = u_i c$ and $v_{i+1} = v'w_s(v, i)$.
 We obtain the result in both cases.

The first part of the lemma is proven as it corresponds to the case $i = n$.

A nearly identical induction gives the second part of the lemma. ◀

Proof of Lemma 4.2 (Effectiveness far from the edges)

► **Lemma 4.2 (Effectiveness far from the edges).** Let $t = \sigma_1 \dots \sigma_n$ be a key, $\langle u|v \rangle$ a configuration and $\langle u_n|v_n \rangle = \langle u|v \rangle \cdot t$. If $n \leq \min(|u|, |v|)$, then $\langle u|v \rangle \xrightarrow{t} \langle u_n|v_n \rangle$, meaning that all the arrows and backspaces are applied effectively.

Proof. Let us proceed by induction on n . If $n = 0$, then the property trivially holds.

Now suppose the property holds for some n , we prove it for $n + 1$. Let $t = \sigma_1 \dots \sigma_{n+1}$ be a key, and $\langle u|v \rangle$ a configuration such that $n + 1 \leq \min(|u|, |v|)$. Let t' be the key $\sigma_1 \dots \sigma_n$. There exists $\langle u_n|v_n \rangle$ such that $\langle u|v \rangle \xrightarrow{t'} \langle u_n|v_n \rangle$. Further, by Lemma 4.1 (Locality) we have

that u_n and v_n are non-empty. Thus u_n is of the form $u'a$ and v_n of the form bv' for some $a, b \in A$. We have

$$\begin{aligned}\langle u_n | v_n \rangle &\xrightarrow{c} \langle u_n c | v_n \rangle \text{ if } c \in A. \\ \langle u_n | v_n \rangle &\xleftarrow{\leftarrow} \langle u' | v_n \rangle. \\ \langle u_n | v_n \rangle &\xrightarrow{\blacktriangleleft} \langle u' | av_n \rangle. \\ \langle u_n | v_n \rangle &\xrightarrow{\blacktriangleright} \langle u_n b | v' \rangle.\end{aligned}$$

Thus, no matter the nature of σ_{n+1} , there exists a configuration $\langle u_{n+1} | v_{n+1} \rangle$ such that $\langle u_n | v_n \rangle \xrightarrow{\sigma_{n+1}} \langle u_{n+1} | v_{n+1} \rangle$ and therefore $\langle u | v \rangle \xrightarrow{t} \langle u_{n+1} | v_{n+1} \rangle$.

The lemma is proven. \blacktriangleleft

Proof of Lemma 4.3 (Bounds on the lengths)

► **Lemma 4.3** (Bounds on the lengths). *Let $t = \sigma_1 \dots \sigma_n$ be a key, $\langle u | v \rangle$ a configuration and $\langle u_n | v_n \rangle = \langle u | v \rangle \cdot t$. Then*

$$|uv| - |t|_{\leftarrow} + \sum_{x \in A} |t|_x \leq |u_n v_n| \leq |uv| + \sum_{x \in A} |t|_x.$$

In particular $||u_n v_n| - |uv|| \leq n$. Moreover $||u_n| - |u|| \leq n$ and $||v_n| - |v|| \leq n$.

Proof. Let us proceed by induction on n . The property clearly holds for $n = 0$.

Suppose the property holds for some n , we show it for $n + 1$. Let $t = \sigma_1 \dots \sigma_{n+1}$ be a key, let t' be the key $\sigma_1 \dots \sigma_n$, let $\langle u_n | v_n \rangle = \langle u | v \rangle \cdot t'$ and $\langle u_{n+1} | v_{n+1} \rangle = \langle u | v \rangle \cdot t$. We set

$$\begin{aligned}M_n &= |uv| - |t'|_{\leftarrow} + \sum_{x \in A} |t'|_x & N_n &= |uv| + \sum_{x \in A} |t'|_x \\ M_{n+1} &= |uv| - |t|_{\leftarrow} + \sum_{x \in A} |t|_x & N_{n+1} &= |uv| + \sum_{x \in A} |t|_x\end{aligned}$$

We have $M_n \leq |u_n v_n| \leq N_n$ by induction hypothesis. We then consider cases based on the nature of σ_{n+1}

- If $\sigma_{n+1} = a \in A$ then $M_{n+1} = M_n + 1$, $N_{n+1} = N_n + 1$ and $|u_{n+1} v_{n+1}| = |u_n v_n| + 1$.
- If $\sigma_{n+1} \in \{\blacktriangleright, \blacktriangleleft\}$ then $M_{n+1} = M_n$, $N_{n+1} = N_n$ and $|u_{n+1} v_{n+1}| = |u_n v_n|$.
- If $\sigma_{n+1} = \leftarrow$ then $M_{n+1} = M_n - 1$, and $N_{n+1} = N_n$. If u_n is empty then $|u_{n+1} v_{n+1}| = |u_n v_n|$, otherwise $|u_{n+1} v_{n+1}| = |u_n v_n| - 1$.

In all cases we have $M_{n+1} \leq |u_{n+1} v_{n+1}| \leq N_{n+1}$, proving the first part of the lemma. Similar inductions prove the second part, i.e., $||u_n| - |u|| \leq n$ and $||v_n| - |v|| \leq n$. \blacktriangleleft

Proof of Lemma 4.4 (Length evolution without left edge effects)

► **Lemma 4.4** (Length evolution without left edge effects). *Let $t = \sigma_1 \dots \sigma_n$ be a key, $\langle u | v \rangle$ a configuration such that $|u| \geq n$. Let $\langle u_n | v_n \rangle = \langle u | v \rangle \cdot t$, then*

$$|u_n v_n| = |uv| - |t|_{\leftarrow} + \sum_{x \in A} |t|_x.$$

Proof. We proceed by induction on n . The lemma holds trivially for $n = 0$.

Suppose the property holds for some n . Let $t = \sigma_1 \dots \sigma_{n+1}$ be a key and $\langle u | v \rangle$ a configuration such that $|u| \geq n + 1$. Let $t' = \sigma_1 \dots \sigma_n$, $\langle u_n | v_n \rangle = \langle u | v \rangle \cdot t'$ and $\langle u_{n+1} | v_{n+1} \rangle = \langle u | v \rangle \cdot t$.



By Lemma 4.1 (Locality), u_n is non-empty. Thus, u_n is of the form $u'a$, with $a, b \in A$. We then have

$$\begin{cases} u_{n+1} = u_n c & v_{n+1} = v_n \quad \text{if } \sigma_{n+1} = c \in A \\ u_{n+1} = u' & v_{n+1} = v_n \quad \text{if } \sigma_{n+1} = \leftarrow \\ u_{n+1} = u' & v_{n+1} = av_n \quad \text{if } \sigma_{n+1} = \blacktriangleleft \\ u_{n+1} = u' & v_{n+1} = v_n \quad \text{if } \sigma_{n+1} = \triangleright \text{ with } v = \varepsilon \\ u_{n+1} = u_n b & v_{n+1} = v' \quad \text{if } \sigma_{n+1} = \triangleright \text{ with } v = bv' \text{ for some } b \in A \end{cases}$$

By induction hypothesis applied to t' and $\langle u_n | v_n \rangle$, we have

$$|u_n v_n| = |uv| - |t'|_{\leftarrow} + \sum_{x \in A} |t'|_x$$

which allows us to obtain the following equality:

$$|u_{n+1} v_{n+1}| = |uv| - |t|_{\leftarrow} + \sum_{x \in A} |t|_x.$$

which proves the lemma. \blacktriangleleft

Proof of Lemma 4.5

► **Lemma 4.5.** Let K be a keyboard with language L . Let $(\ell_n)_{n \in \mathbb{N}}$ be the sequence obtained by sorting the lengths of the words in L by increasing order. Then $(\ell_{n+1} - \ell_n)_{n \in \mathbb{N}}$ is bounded by $3\|K\|_\infty$.

Proof. We start by proving the result for automatic keyboards, and then extend it to the general case.

Let K be an automatic keyboard, L its language, we prove that for all $w \in L$ of size greater than $\|K\|_\infty$, there exists w' such that $w' \neq w$ and

$$|w| - \|K\|_\infty \leq |w'| < |w|,$$

proving the proposition.

If for all $w \in L$, $|w| \leq \|K\|_\infty$, then the property is trivially true.

Otherwise, let $w \in L$ be such that $|w| > \|K\|_\infty$. By Lemma 4.3 (Bounds on the lengths) we know that any execution yielding w is of length superior or equal to 2, as otherwise we would have:

$$|w| \leq |\varepsilon| + \sum_{a \in A} |t|_a \leq \|K\|_\infty.$$

Hence there exist $t_0 \dots t_{n+1}$ ($n \in \mathbb{N}$) and $u, v \in A^*$ such that $\langle \varepsilon | \varepsilon \rangle \cdot t_0 \dots t_{n+1} = \langle u | v \rangle$ and $w = uv$. For all $i \in \llbracket 0, n+1 \rrbracket$, let

$$\begin{cases} \langle u_i | v_i \rangle = \langle \varepsilon | \varepsilon \rangle \cdot t_1 \dots t_i \\ w_i = u_i v_i \end{cases}.$$

All w_i are in L (K being automatic) and by Lemma 4.3 (Bounds on the lengths) we know that for all $i \in \llbracket 0, n \rrbracket$, $||w_{i+1}| - |w_i|| \leq \|K\|_\infty$. Further, $0 \leq |w_0| \leq \|K\|_\infty$ and $|w_n| = |w| > \|K\|_\infty$, hence there exists $k \in \llbracket 0, n-1 \rrbracket$ such that $w_k \neq w$ and

$$|w| - \|K\|_\infty \leq |w_k| < |w|.$$

which demonstrates the lemma for automatic keyboards.

Now let $K = (T, F)$ be a keyboard of language L . We show that for all $w \in L$ of size greater than $5\|K\|_\infty$, there exists $w' \in L$ such that $|w| - 5\|K\|_\infty \leq |w'| < |w|$.

If for all $w \in L$, $|w| \leq 5\|K\|_\infty$, then the result holds trivially.

Otherwise, let w be such that $|w| > 5\|K\|_\infty$. By Lemma 4.3 (Bounds on the lengths), we cannot obtain w by only executing one key. By seeing T as an automatic keyboard, we have $\|T\|_\infty \leq \|K\|_\infty$ and there exist $w' \in \mathcal{L}(T)$, $f \in F$ and two configurations $\langle u|v \rangle$ and $\langle u'|v' \rangle$ such that

$$w = uv, w' = u'v' \text{ and } \langle u'|v' \rangle \cdot f = \langle u|v \rangle.$$

By Lemma 4.3 (Bounds on the lengths), we have $|w'| > 4\|K\|_\infty$. Then the first part of the proof ensures the existence of a word $w'' \in \mathcal{L}(T)$ such that

$$|w'| - 3\|K\|_\infty \leq |w''| < |w'| - 2\|K\|_\infty.$$

In particular, there exists $\tau \in T^*$ such that $\langle \varepsilon|\varepsilon \rangle \cdot \tau = \langle u''|v'' \rangle$ with $u''v'' = w''$. Let $\langle x|y \rangle = \langle u''|v'' \rangle \cdot \tau \cdot f$. We have $xy \in L$ and Lemma 4.3 (Bounds on the lengths) gives us the inequalities

$$|w'| - 4\|K\|_\infty \leq |xy| < |w'| - \|K\|_\infty$$

and therefore

$$|w| - 5\|K\|_\infty \leq |xy| < |w|.$$

This proves the lemma. ◀

Proof of Lemma 4.7

► **Lemma 4.7.** *Let $t = \sigma_1 \dots \sigma_n$ be a key such that $\langle u|v \rangle \xrightarrow{t} \langle u_n|v_n \rangle$. Then, for all words x, y , $\langle xu|vy \rangle \xrightarrow{t} \langle xu_n|v_ny \rangle$.*

Proof. We use an induction on n . The result is clear for $n = 0$. Let $n > 0$, we have

$$\langle u|v \rangle \xrightarrow{\sigma_1 \dots \sigma_n} \langle u_n|v_n \rangle \xrightarrow{\sigma_{n+1}} \langle u_{n+1}|v_{n+1} \rangle.$$

By induction hypothesis,

$$\langle xu|vy \rangle \xrightarrow{\sigma_1 \dots \sigma_n} \langle xu_n|v_ny \rangle.$$

We separate cases depending on σ_{n+1} .

- If $\sigma_{n+1} = a \in A$, then $\langle u_{n+1}|v_{n+1} \rangle = \langle u_n a|v_n \rangle$ and $\langle xu_n|v_ny \rangle \xrightarrow{a} \langle xu_n a|v_ny \rangle$.
- If $\sigma_{n+1} = \leftarrow$, then, $\langle u_{n+1}|v_{n+1} \rangle = \langle u'|v_n \rangle$ and $\langle xu_n|v_ny \rangle \xleftarrow{} \langle xu'|v_ny \rangle$.
- If $\sigma_{n+1} = \blacktriangleleft$, then, as the execution is effective, u_n is not empty, hence of the form $u'a$ and thus $\langle u_{n+1}|v_{n+1} \rangle = \langle u'|av_n \rangle$ and $\langle xu_n|v_ny \rangle \xleftarrow{} \langle xu'|av_ny \rangle$.
- If $\sigma_{n+1} = \triangleright$, then, as the execution is effective, v_n is not empty, hence of the form av' and thus $\langle u_{n+1}|v_{n+1} \rangle = \langle u_n a|v' \rangle$ and $\langle xu_n|v_ny \rangle \xrightarrow{} \langle xu_n a|v'y \rangle$.

The induction is proven. ◀

Proof of Lemma 4.8

► **Lemma 4.8.** Let $t = \sigma_1 \dots \sigma_n$ be a key, $\langle u|v \rangle$ and $\langle x|y \rangle$ configurations such that $|u| = |x|$ and $|v| = |y|$. Then t acts efficiently from $\langle u|v \rangle$ if and only if it acts efficiently from $\langle x|y \rangle$.

Proof. For all $i \in \llbracket 1 ; n \rrbracket$, we set

$$\begin{cases} \langle u_i|v_i \rangle = \langle u|v \rangle \cdot \sigma_1 \dots \sigma_i \\ \langle x_i|y_i \rangle = \langle x|y \rangle \cdot \sigma_1 \dots \sigma_i \end{cases}$$

An induction on i shows that for all $i \in \llbracket 1 ; n \rrbracket$, we have $|u_i| = |x_i|$ and $|v_i| = |y_i|$, yielding the result (whether a non effective action happens depends only on the lengths of the x_i and y_i , which are the same as the u_i and v_i). ◀

B Proofs of properties on keys

Proof of Proposition 5.4

► **Proposition 5.4.** Let $t = \sigma_1 \dots \sigma_n$ be a key, $\langle u|v \rangle$ a configuration. We note

$$\begin{aligned} \langle u_n|v_n \rangle &= \langle u|v \rangle \cdot t & \langle x'_n|y'_n \rangle &= f_c(u, v) \cdot t \\ \langle u'_n|v'_n \rangle &= \langle u|v \rangle \cdot f_t(t) & \langle x_n|y_n \rangle &= f_c(u, v) \cdot f_t(t) \end{aligned}$$

Then $|u_n| = |x_n| = |u'_n| = |x'_n|$ and $|v_n| = |y_n| = |v'_n| = |y'_n|$. And for all $a \in A$,

$$\begin{aligned} \langle u_n|v_n \rangle_j = a &\text{ iff } \langle x_n|y_n \rangle_j = \bar{k} \text{ and } \langle u|v \rangle_k = a \quad \text{or } \langle x_n|y_n \rangle_j = \hat{k} \text{ and } t_k = a \\ &\text{iff } \langle u'_n|v'_n \rangle_j = a && \text{or } \langle u'_n|v'_n \rangle_j = \hat{k} \text{ and } t_k = a \\ &\text{iff } \langle x'_n|y'_n \rangle_j = \bar{k} \text{ and } \langle u|v \rangle_k = a && \text{or } \langle x'_n|y'_n \rangle_j = a \\ &\text{(iff } a \text{ already in configuration } && \text{or } a \text{ added by } t). \end{aligned}$$

Proof. For all $i \in \llbracket 1 ; n \rrbracket$, we set

$$\begin{aligned} \langle u_i|v_i \rangle &= \langle u|v \rangle \cdot \sigma_1 \dots \sigma_i & \langle x'_i|y'_n \rangle &= f_c(u, v) \cdot \sigma_1 \dots \sigma_i \\ \langle u'_i|v'_i \rangle &= \langle u|v \rangle \cdot f_t(\sigma_1 \dots \sigma_i) & \langle x_i|y_i \rangle &= f_c(u, v) \cdot f_t(\sigma_1 \dots \sigma_i) \end{aligned}$$

An induction on i then shows that $i \in \llbracket 1 ; n \rrbracket$,

$$|u_i| = |x_i| = |u'_i| = |x'_i| \quad \text{and} \quad |v_i| = |y_i| = |v'_i| = |y'_i|$$

and for all $a \in A$,

$$\begin{aligned} \langle u_i|v_i \rangle_j = a &\text{ iff } \langle x_i|y_i \rangle_j = \bar{k} \text{ and } \langle u|v \rangle_k = a \quad \text{or } \langle x_i|y_i \rangle_j = \hat{k} \text{ and } t_k = a \\ &\text{iff } \langle u'_i|v'_i \rangle_j = a && \text{or } \langle u'_i|v'_i \rangle_j = \hat{k} \text{ and } t_k = a \\ &\text{iff } \langle x'_i|y'_i \rangle_j = \bar{k} \text{ and } \langle u|v \rangle_k = a \quad \text{or } \langle x'_i|y'_i \rangle_j = a. \end{aligned}$$

◀

Proof of Proposition 5.9

► **Proposition 5.9.** Let t be a key, $a \in A$ and $\langle u|v \rangle$ a configuration containing no a . Let $\langle u'|v' \rangle = \langle u|v \rangle \cdot t$. t writes an a in position i from $\langle u|v \rangle$ if and only if $\langle u'|v' \rangle_i = a$. In particular, t writes an a from $\langle u|v \rangle$ if and only if $\langle u'|v' \rangle$ contains an a .

Proof. We set $\langle x|y \rangle = f_c(u, v) \cdot f_t(t)$. By Proposition 5.4, $\langle u'|v' \rangle_i = a$ if and only if $\langle u|v \rangle_i = a$ or $\langle x|y \rangle_i = \bar{k}$ and $t_k = a$.

As $\langle u|v \rangle_i$ does not contain any a , then $\langle x|y \rangle_i = \bar{k}$ and $t_k = a$, i.e., t writes an a from $\langle u|v \rangle$. \blacktriangleleft

Proof of Proposition 5.10

► **Proposition 5.10.** Let t be a key and $\langle u|v \rangle$ a configuration. If $|\langle u|v \rangle|_a < |\langle u|v \rangle \cdot t|_a$, then t writes an a from $\langle u|v \rangle$.

Proof. We set $\langle u'|v' \rangle = \langle u|v \rangle \cdot t$ and $\langle x|y \rangle = f_c(u, v) \cdot f(t)$. By Proposition 5.4, $\langle u'|v' \rangle_i = a$ if and only if $\langle x|y \rangle_i = \bar{k}$ and $\langle u|v \rangle_k = a$ or $\langle x|y \rangle_i = \hat{k}$ and $t_k = a$.

Further, $|\langle u'|v' \rangle|_a > |\langle u|v \rangle|_a$, thus there exists i such that $\langle x|y \rangle_i = k$ and $t_k = a$, i.e., t writes an a from $\langle u|v \rangle$. \blacktriangleleft

Proof of Proposition 5.11

► **Proposition 5.11.** Let t be a key and $\langle u|v \rangle$ and $\langle x|y \rangle$ two configurations on which t acts effectively. Then t writes its k^{th} symbol in i^{th} position from $\langle u|v \rangle$ if and only if t writes its k^{th} symbol in i^{th} position from $\langle x|y \rangle$. Therefore, t writes an a in position i from $\langle u|v \rangle$ if and only if t writes an a in position i from $\langle x|y \rangle$.

Proof. Let $n = |u|, m = |v|, p = |x|$ and $q = |y|$ and let $a \in A$. We define

$$\langle u'|v' \rangle = \langle a^n|a^m \rangle \cdot f_t(t) \quad \text{and} \quad \langle x'|y' \rangle = \langle a^p|a^q \rangle \cdot f_t(t).$$

By Corollary 5.5 and Proposition 5.8, t writes its k^{th} symbol at position i from $\langle u|v \rangle$ (resp. from $\langle x|y \rangle$) if and only if $\langle u'|v' \rangle_i = \hat{k}$ (resp. $\langle x'|y' \rangle_i = \hat{k}$). Let $N = \max(n, p)$ and $M = \max(m, q)$. By Lemma 4.8, t acts effectively on $\langle a^n|a^m \rangle$ and on $\langle a^p|a^q \rangle$, thus by Lemma 4.7,

$$\langle a^N|a^M \rangle \cdot f_t(t) = \langle a^{N-n}u'|v'a^{M-m} \rangle \quad \text{and} \quad \langle a^N|a^M \rangle \cdot f_t(t) = \langle a^{N-p}x'|y'a^{M-q} \rangle.$$

In particular, we have that $\langle a^N|a^M \rangle_i = \hat{k}$ if and only if $\langle u'|v' \rangle_i = \hat{k}$ and that $\langle a^N|a^M \rangle_i = \bar{k}$ if and only if $\langle x'|y' \rangle_i = \bar{k}$. The result is proven. \blacktriangleleft

C Proofs of properties of BEK

Proof of Lemma 6.4 (Normal form)

► **Lemma 6.4 (Normal form).** Let $t \in S^*$ be a key from BEK. Then there exist $m \in \mathbb{N}$ and $w \in A^*$ such that $t \sim \leftarrow^m w$. Further, m and w can be computed from t in polynomial time.

Proof. Suppose k is of the form $k_1 a \leftarrow k_2$ with $k_1, k_2 \in S^*$ and $a \in A$. Let u be a configuration, and let $v = u \cdot k_1$. We get

$$\begin{aligned} u \cdot k &= ((v \cdot a) \cdot \leftarrow) \cdot k_2 \\ &= (va \cdot \leftarrow) \cdot k_2 \\ &= v \cdot k_2 \\ &= (u \cdot k_1) \cdot k_2 = u \cdot k_1 k_2. \end{aligned}$$

Thus, if k contains a letter followed by a backspace, we can erase both from k to obtain an equivalent key.

By iterating the removal of such patterns as many times as possible, we end up with a key k' , equivalent to k and of the form $\leftarrow^m w$ for some $m \in \mathbb{N}$ and $w \in A^*$.

Detecting those patterns can be done in time linear in the size of the key. Further, the size of the key decreases at each step, and thus we only have to iterate at most $|t|$ times. As a result turning a key into normal form requires at most quadratic time. \blacktriangleleft

Proof of Theorem 6.5

► **Theorem 6.5.** *Let K be a BEK keyboard. Then, $\mathcal{L}(K)$ is regular and we can build an NFA $\mathcal{A}(K)$ recognizing $\mathcal{L}(K)$ in polynomial time.*

We will first show this result for BK. Let K be a keyboard of BK. In order to construct an NFA recognizing $L(K)$, we decompose executions of K into blocks, each block being associated with the writing of a prefix of the final word. Those blocks allow us to see the execution in a “monotonous” way. This decomposition is given by Lemma C.5 (Decomposition of a BK execution). The following technical lemmas provide a method to construct an automaton recognizing $L(K)$ in polynomial time. This automaton is defined in Definition C.12.

The following definitions will be useful. We assume all keyboards to be in normal form, i.e., to be subsets of $\leftarrow^* A^*$ (see Lemma 6.4 (Normal form)).

► **Definition C.1** (Action on natural numbers). *Let K be a keyboard of BK. We extend the \cdot operator to natural numbers by setting, for all $n \in \mathbb{N}$ and $t = \leftarrow^k w \in K$*

$$n \cdot t = \max(0, n - k) + |w|.$$

We extend this definition to K^ by setting, for all $n \in \mathbb{N}$, $t \in K$ and $\tau \in K^*$, $n \cdot \varepsilon = n$ and $n \cdot (\tau t) = (n \cdot \tau) \cdot t$.*

► **Remark C.2.** This definition allows us to abstract away the different letters in an execution, to focus on the evolution of the size of the word: For all $u \in A^*$ and $\tau \in K^*$, we have $|u \cdot \tau| = |u| \cdot \tau$.

► **Remark C.3.** We extend the definitions of $\xrightarrow{\tau}$, $\xrightarrow{\tau}_e$ and \odot to natural integers similarly.

Let us start by a quick study of the behaviour of the keys of BK keyboards. Let $u_0, v \in A^*$, say applying a sequence of keys τ turns u_0 into vu , with u some extra letters. Then the action of τ on u_0 decomposes as follows:

1. At the start u_0 is of the form v_0x_0 with v_0 a common prefix of v and u_0 (and v_0 will not be affected throughout the execution).
2. Then we would like to have a key erasing x_0 and writing letters following v_0 in v , but this key does not necessarily exist. First, some sequence of keys τ_0 modifies x_0 (without affecting v_0), turning it into a word x'_0 of different size such that there exists a key $t_0 = \leftarrow^{|x'_0|} v_1 x_1$ erasing $|x'_0|$ and writing $v_1 x_1$ such that $v_0 v_1$ is a prefix of v (and $v_0 v_1$ will not be affected in the rest of the execution).
3. We apply t_0 to obtain $v_0 v_1 x_1$.
4. And so on until we obtain v (plus some extra suffix u)

The following lemma formalizes this idea. Note that in this lemma we only consider effective executions.

► **Lemma C.4.** Let K be a keyboard of BK and $u_0, v \in A^*$. Let $\ell \in \mathbb{N}$. There exist $\tau \in K^*$ and $u \in A^*$ such that $|u| = \ell$ and $u_0 \xrightarrow{\tau} vu$ if and only if there exist an integer $k > 0$, $v_0, \dots, v_k \in A^+$, $x_0, \dots, x_k \in A^*$, $0 \leq s_1, \dots, s_k \leq \|K\|_\infty$ and $\tau_0, \dots, \tau_k \in K^*$ such that:

1. $u_0 = v_0 x_0$ and $v = v_0 \cdots v_k$.
2. For all $1 \leq i \leq k$, $\leftarrow^{s_i} v_i x_i \in K$.
3. By setting $s_{k+1} = \ell$, for all $0 \leq i \leq k$, $|x_i| \xrightarrow{\tau_i} s_{i+1}$.

Proof. The $\leftarrow^{s_i} v_i x_i$ are the keys writing parts of v , and the τ_i are the sequences of keys turning x_i into x'_i of length s_{i+1} (allowing us to apply $\leftarrow^{s_{i+1}} v_{i+1} x_{i+1}$).

\Leftarrow Let $\tau = \tau_0 t_1 \tau_1 \cdots t_k \tau_k$, one easily checks that $u_0 \xrightarrow{\tau} vu$ for some u such that $|u| = \ell$.

\Rightarrow Let $\ell \in \mathbb{N}$, suppose there exists $u \in A^*$ and $\tau \in K^*$ such that $|u| = \ell$ and $u_0 \xrightarrow{\tau} vu$.

τ is of the form $t_1 \dots t_n$, with $t_i = \leftarrow^{r_i} w_i$.

For all $i \in \llbracket 1 ; n \rrbracket$, let

$$\begin{aligned} u_i &= u_0 \cdot (t_1 \dots t_i) \\ y_i &= u_0 \cdot (t_1 \dots t_{i-1}) \leftarrow^{r_i} \end{aligned}$$

Thus u_i is the word obtained after applying the i first keys of τ , and y_i is the word obtained after applying the $i - 1$ first keys and the erasing part of t_i . In particular, y_i is a prefix of u_{i-1} and $u_i = y_i w_i$.

We also set

$$j = \min\{i \mid \forall i' > i, v \text{ is a prefix of } y_{i'}\}$$

with $j = 0$ if v is a prefix of all y_i . Intuitively, j is the index after which v is written and will no longer be affected. We proceed by induction on v .

If $j = 0$ (which includes the case $v = \varepsilon$), then v is a prefix of all y_i and thus all u_i . By setting $v_0 = v$ and x_0 such that $u_0 = v_0 x_0$, we have $x_0 \xrightarrow{\tau} u$. We then obtain the result by setting $k = 0$ and $\tau_0 = \tau$.

If $j > 0$, then $u_j = vz$ (if $j < n$ then v is a prefix of y_{j+1} and thus of u_j , and if $j = n$ then $u_j = vu$) with $z \xrightarrow{t_{j+1} \dots t_n} u$. Hence t_j is in fact the last key affecting the v prefix, and $t_{j+1} \dots t_n$ turns $u_j = vz$ into vu without touching v .

There exists u' of length r_j such that $u_{j-1} = y_j u'$. As j is minimal, v is not a prefix of y_j . Further, as they are both prefixes of u_j , y_j is a strict prefix of v .

Then we can apply the induction hypothesis to $v' = y_j$. We have $u_0 \xrightarrow{t_1 \dots t_{j-1}} v' u'$, thus there exist $k' \in \mathbb{N}$, $v_0 \in A^*$, $v_1, \dots, v_{k'} \in A^+$, $x_0, \dots, x_{k'} \in A^*$, $0 \leq s_1, \dots, s_{k'} \leq \|K\|_\infty$ and $\tau_0, \tau_1, \dots, \tau_{k'} \in K^*$ such that:

1. $u_0 = v_0 x_0$ and $v' = v_0 \cdots v_{k'}$.
2. For all $1 \leq i \leq k'$, $\leftarrow^{s_i} v_i x_i \in K$.
3. By setting $s_{k'+1} = |u'| = r_j$, for all $0 \leq i \leq k$, $|x_i| \xrightarrow{\tau_i} s_{i+1}$.

We hereby obtain the first part of the wanted decomposition. We then set:

$$\begin{aligned} k &= k' + 1 \\ \tau_k &= t_{j+1} \dots t_n \\ v_k \text{ such that } v &= v' v_k \\ s_k &= |u'| = r_j \\ s_{k+1} &= \ell \\ x_k &= z \end{aligned}$$

allowing us to satisfy the three conditions of the lemma.

◀

We now slightly refine this lemma. We want to write some word v from ε . The idea is that we can assume that every key of the execution acts effectively except possibly for the first one:

If we write v by applying $t_1 \dots t_n$ and some t_j (with $j > 1$) does not act effectively on $\varepsilon \cdot t_1 \dots t_{j-1}$, then that means t_j erases all that was written before, so applying $t_j \dots t_n$ instead of $t_1 \dots t_n$ would yield the same result.

► **Lemma C.5** (Decomposition of a BK execution). *Let K be a keyboard of BK and let $v \in A^*$. There exists $\tau \in K^+$ such that $\varepsilon \xrightarrow{\tau} v$ if and only if there exists an integer $k > 0$, $v_1, \dots, v_k \in A^*$, $x_1, \dots, x_k \in A^*$, $0 \leq s_1, \dots, s_k \leq \|K\|_\infty$ and $\tau_1, \dots, \tau_k \in K^*$ such that:*

1. $v = v_1 \dots v_k$.
2. For all $1 \leq i \leq k$, $\leftarrow^{s_i} v_i x_i \in K$.
3. By setting $s_{k+1} = 0$, for all $1 \leq i \leq k$, $|x_i| \xrightarrow{\tau_i} s_{i+1}$.

In particular, we have $(\varepsilon \cdot t_1) \xrightarrow{\tau'} v$, with $\tau' = t_2 \tau_2 \dots t_n \tau_n$ and $t_1 = \leftarrow^{s_1} v_1 x_1$.

Proof. \Leftarrow We simply observe that $\tau = \leftarrow^{s_1} v_1 x_1 \tau_1 \dots \leftarrow^{s_k} v_k x_k \tau_k$ yields v when applied on ε .

\Rightarrow τ is of the form $t_1 \dots t_n$ with $t_i = \leftarrow^{r_i} w_i$. Let $u_0 = \varepsilon$ and for all $i \in \llbracket 1 ; n \rrbracket$,

$$\begin{aligned} u_i &= \varepsilon \cdot (t_1 \dots t_i) \\ y_i &= \varepsilon \cdot (t_1 \dots t_{i-1}) \leftarrow^{r_i} \end{aligned}$$

Now let j be the maximal index such that $y_j = \varepsilon$. Then we get $\varepsilon \cdot (t_j \dots t_n) = v$. Moreover, for all $i > j$, $y_i \neq \varepsilon$, which implies that the action of the t_i for $i > j$ is effective. As a result, $(\varepsilon \cdot t_j) \xrightarrow{t_{j+1} \dots t_n} v$.

We finally get the result by applying Lemma C.4 with $\ell = 0$.

◀

The following lemma isolates a part of the previous one for clarity.

► **Lemma C.6.** *Let $v \in A^*$, let $K \subseteq \leftarrow^* A^*$ be a keyboard. There exists $\tau \in K^+$ such that $\varepsilon \xrightarrow{\tau} v$ if and only if there exists $t \in K$ and $\tau' \in K^*$ such that $(\varepsilon \cdot t) \xrightarrow{\tau'} v$.*

Proof. This is a direct consequence of Lemma C.5 (Decomposition of a BK execution). ◀

In order to produce a word v , we have to find a decomposition $v = v_1 \dots v_k$, with some keys $\leftarrow^{r_i} v_i x_i$ and for all i a sequence turning x_i into some x'_i of size r_{i+1} .

This allows us to construct from K an automaton recognizing its language. The idea behind the construction is to memorize in the states the number of extra letters we have to erase and to have two types of transitions.

- We can go from n_1 to n_2 reading v if there exists a key $\leftarrow^{n_1} vw$ with $|w| = n_2$ (we erase the n_1 extra letters, write v and get a configuration with n_2 letters to erase).
- We can go from n_1 to n_2 with an ε -transition if there exists τ such that $n_1 \xrightarrow{\tau} n_2$ (we transform the extra x of size n_1 into an extra x' of size n_2).

The automaton then allows us to simulate an execution from its decomposition. If we reach state i after reading some word v , it means there exists a sequence of keys τ leading to configuration vx with x of length i . The only accepting state is then 0. This automaton will be formally defined in Definition C.12.

We give in Figure 2 (Automaton of $\{\leftarrow\text{abc}, \leftarrow^4\text{bb}\}$) the automaton obtained by applying this construction to the keyboard $\{\leftarrow\text{abc}, \leftarrow^4\text{bb}\}$. We simplified it by removing state 3 which turns out not to be co-accessible.

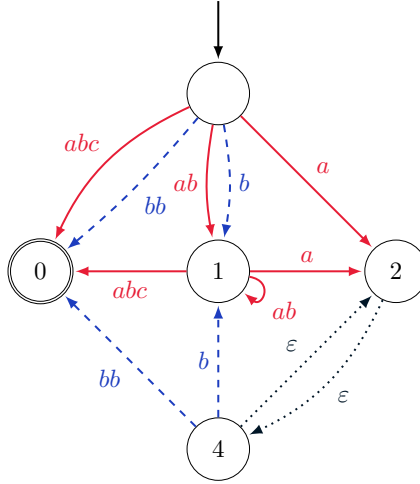


Figure 2 Automaton of $\{\leftarrow\text{abc}, \leftarrow^4\text{bb}\}$

Red transitions (solid arrows) denote the action of $\leftarrow\text{abc}$ and blue ones (dashed arrows) the action of $\leftarrow^4\text{bb}$. A black transition (dotted arrows) from i to j means that there is a sequence of keys turning effectively the i extra letters (that should be erased) into j letters.

However, we want to be able to construct this automaton (efficiently), thus we still have to be able to decide, for all $0 \leq n_1, n_2 \leq \|K\|_\infty$, if there is an execution τ turning n_1 into n_2 effectively (and thus turning the x_i into x'_i). We are now interested in this transformation. We show that we can decide in polynomial time whether there exists a sequence of keys transforming effectively a word of length n_1 into one of length n_2 . Note that as the x_i and x'_i from the decomposition are respectively written and erased by a single key, their lengths are at most $\|K\|_\infty$, thus it is enough for us to focus on integers lower or equal to $\|K\|_\infty$.

We start by giving necessary and sufficient conditions for the existence of a sequence of keys turning a word of size n_1 into one of size n_2 effectively. For that we consider several cases.

In our informal explanations we will sometimes confuse the x_i and x'_i with their lengths (as we are interested in their lengths and not their content).

► **Lemma C.7.** *Let K be a keyboard of BK. We set $E = \{|w| - r \mid \leftarrow^r w \in K\}$ and $p = \text{GCD}(E)$. Let x and x' be two integers such that $0 \leq x, x' \leq \|K\|_\infty$. If there exists $\leftarrow^{r_1} w_1, \leftarrow^{r_2} w_2 \in K$ such that*

- $|w_1| - r_1 < 0 < |w_2| - r_2$;
- $r_2 \leq x$ and $|w_1| \leq x'$;
- p divides $x' - x$,

then there exists a sequence of keys $\tau = t_1 \dots t_n \in K^$ such that $x \xrightarrow{\tau} e x'$.*

Proof. The elements of E are the numbers of letters written by each key, minus the number of letters it erases. We split E between positive integers (corresponding to keys which write more letters than they erase), and negative ones, (keys which erase more than they write). We are not interested in the keys which write as much as they erase for this proof. We set

$$E_+ = \{i \mid i \in E \text{ and } i > 0\} \text{ and } E_- = \{i \mid i \in E \text{ and } i < 0\}$$

and p^+ and p^- their respective gcds, $p^+ = \text{GCD}(E_+)$ and $p^- = \text{GCD}(E_-)$. We have $\text{GCD}(p^+, p^-) = p$, thus, by Bézout's identity, there exist $\alpha, \beta \in \mathbb{N}$ such that $\alpha p^+ - \beta p^- = p$.

We then consider M a multiple of p^+ and p^- greater than $\|K\|_\infty$ and

$$D = x' + (M^2 + M)(r_1 - |w_1|) - x - M(|w_2| - r_2).$$

D is non-negative because $(M^2 + M)(r_1 - |w_1|) \geq M^2 + M \geq M\|K\| + \|K\| \geq M(|w_2| - r_2) + x$. Further, p divides D , hence there exist $c \in \mathbb{N}$ such that $D = cp$.

We define $A = c\alpha p^+ + M^2$ and $B = c\beta p^- + M^2$. They are respectively divisible by p^+ and p^- and we further have $A - B = cp = D$.

We have $A \geq M^2 \geq \|K\|_\infty^2 \geq \max(E_+)^2$ and similarly $B \geq \max(E_-)^2$. A result first proven by Schur [1] (and then proven again many times) states that given a finite set S of positive integers, any number greater than $\max(S)^2$ and divisible by $\text{GCD}(S)$ can be written as a linear combination of elements of S with natural numbers as coefficients (the bound given by Schur is actually better, but we do not need it here). There exist non-negative coefficients $(a_i)_{i \in E_+}$ and $(b_i)_{i \in E_-}$ such that

$$\sum_{i \in E_+} ia_i = A \text{ and } \sum_{i \in E_-} ib_i = B.$$

We can now construct the sequence of keys allowing us to go from x to x' effectively.

- We start from x . We apply M times the key $\leftarrow^{r_2} w_2$. The execution is effective ($r_2 \leq x$ and the key is positive) and leads to $x + M(|w_2| - r_2)$.
- For all $i \in E$, let $t_i = \leftarrow^{r_i} w_i$ be a key such that $i = |w_i| - r_i$. For all $i \in E_+$, we apply a_i times t_i (in an arbitrary order). The execution is effective as we start with more than M letters and we only apply positive keys. We obtain configuration $x + M(|w_2| - r_2) + A$.
- For all $i \in E_-$, we apply b_i times t_i (in an arbitrary order). This leads to configuration

$$x + M(|w_2| - r_2) + A - B = x + M(|w_2| - r_2) + D = x' + (M^2 + M)(r_1 - |w_1|).$$

The final configuration is greater than M and we applied only negative keys, thus the execution is again effective.

- Finally, we apply $M + M^2$ times the key $\leftarrow^{r_1} w_1$, yielding the final configuration x' . As $x' \geq r_1$ and as this key is negative, the execution is effective.

We indeed obtain a sequence of keys $\tau \in K^*$ such that $x \xrightarrow{\tau} x'$. ◀

The previous lemma presented a necessary condition for the existence of an execution from x to x' , the two following ones will give necessary and sufficient conditions in other cases. Another lemma will then use those three to give a necessary and sufficient condition in the general case. To begin with, if every negative key writes more than x' letters, then we can only use positive keys (as we then have no way of getting back to x' from a larger configuration) and in particular $x \leq x'$.

► **Lemma C.8.** Let K be a keyboard of BK. Let x and x' be two integers such that $0 \leq x, x' \leq \|K\|_\infty$. Suppose that for all $\leftarrow^r w \in K$ such that $|w| < r$, $|w| > x'$. Then the following conditions are equivalent.

- There exists $\tau \in K^*$ such that $x \xrightarrow{\tau} e x'$.
- There exists $\tau = t_1 \dots t_n \in K^*$ such that $x \xrightarrow{\tau} e x'$ and for all i , $x \leq x \cdot (t_1 \dots t_i) \leq x'$.

Proof. \Leftarrow Clear as τ is already constructed.

\Rightarrow Suppose there exists $\tau = t_1 \dots t_n$ such that $x \xrightarrow{\tau} e x'$. We proceed by contradiction and assume there exists $i \in \llbracket 1 ; n \rrbracket$ such that t_i is of the form $\leftarrow^r w$ with $|w| < r$ (and thus $|w| > x'$, by the lemma's hypothesis). Let i be the maximal index satisfying that property.

As t_{i+1}, \dots, t_n write at least as many letters as they erase, we have $x \cdot (t_1 \dots t_i) \leq x' < |w|$. However, $x \cdot (t_1 \dots t_i)$ is the word obtained after applying t_i , thus $x \cdot (t_1 \dots t_i) \geq |w|$, yielding a contradiction.

As a consequence, all keys in τ add at least as many letters as they erase. The sequence $x \cdot (t_1 \dots t_i)$ is therefore nondecreasing, giving us the inequalities:

$$\forall i \in \llbracket 1 ; n \rrbracket, x \leq x \cdot (t_1 \dots t_i) \leq x'.$$



We now present the symmetric case, in which we cannot apply any positive key. The lemma and proof are similar to the previous ones.

► **Lemma C.9.** Let K be a keyboard of BK. Let x and x' be two integers such that $0 \leq x, x' \leq \|K\|_\infty$. Suppose that for all $\leftarrow^r w \in K$ such that $|w| > r$, $r > x$. Then the following conditions are equivalent.

- There exists $\tau \in K^*$ such that $x \xrightarrow{\tau} e x'$.
- There exists $\tau = t_1 \dots t_n \in K^*$ such that $x \xrightarrow{\tau} e x'$ and for all i , $x \geq x \cdot (t_1 \dots t_i) \geq x'$.

Proof. \Leftarrow Clear as τ is already constructed.

\Rightarrow Suppose there exists $\tau = t_1 \dots t_n$ such that $x \xrightarrow{\tau} e x'$. We proceed by contradiction and assume there exists $i \in \llbracket 1 ; n \rrbracket$ such that t_i is of the form $\leftarrow^r w$ with $|w| > r$ (and thus $r > x$, by the lemma's hypothesis). Let i be the minimal index satisfying that property. As t_1, \dots, t_{i-1} erase at least as many letters as they write, we have $x \cdot (t_1 \dots t_{i-1}) \leq x < r$. However, t_i acts effectively on $x \cdot (t_1 \dots t_{i-1})$, thus $x \cdot (t_1 \dots t_{i-1}) \geq r$, yielding a contradiction.

As a consequence, all keys in τ erase at least as many letters as they write. The sequence $x \cdot (t_1 \dots t_i)$ is therefore nonincreasing, giving us the inequalities:

$$\forall i \in \llbracket 1 ; n \rrbracket, x \geq x \cdot (t_1 \dots t_i) \geq x'.$$



Equipped with these results, we can now decide in polynomial time if we can go from x to x' effectively.

► **Lemma C.10.** The following problem is decidable in polynomial time.

$$\begin{cases} \text{INPUT : } & K \text{ a keyboard of BK and } 0 \leq x, x' \leq \|K\|_\infty \\ \text{OUTPUT : } & \text{Does there exist } \tau = t_1 \dots t_n \in K^* \text{ such that } x \xrightarrow{\tau} e x' ? \end{cases}$$

Proof. Let K be a keyboard of BK and $0 \leq x, x' \leq \|K\|_\infty$. We distinguish four cases:



- If for all $\leftarrow^r w \in K$ such that $|w| - r < 0$ we have $|w| > x'$, then we construct a graph whose vertices are integers from 0 to $\|K\|_\infty$ and such that there is a transition from s to s' if and only if there exists $t \in K$ such that $s \cdot t = s'$. By Lemma C.8, there exists an execution $x \xrightarrow{\tau_e} x'$ if and only if there is a path from x to x' in that graph.
- If for all $\leftarrow^r w \in K$ such that $0 < |w| - r$ we have $r > x$, then we construct the same graph as in the previous case. By Lemma C.9, there exists τ such that $x \xrightarrow{\tau_e} x'$ if and only if there is a path from x to x' in that graph.
- If there exists $\leftarrow^{r_1} w_1, \leftarrow^{r_2} w_2 \in K$ such that $|w_1| - r_1 < 0 < |w_2| - r_2, r_2 \leq x, |w_1| \leq x'$ and p divides $x' - x$, then, by Lemma C.7, there exists τ such that $x \xrightarrow{\tau_e} x'$.
- Otherwise, p does not divide $x - x'$: a straightforward induction on τ shows that for all $\tau \in K^*$, if τ acts effectively on x , then p divides $(x \cdot \tau) - x$ and thus $x \cdot \tau \neq x'$.

◀

We have all the necessary tools to construct, given a keyboard K of BK, an automaton recognizing the language $\mathcal{L}(K)$.

► **Remark C.11.** In the following definition we will allow transitions to be labelled with words of A^* (of length at most $\|K\|_\infty$) and not only letters. This allows for a clearer presentation and one can easily get from this construction an automaton labelled with letters, by decomposing each transition $n_1 \xrightarrow{a_1 \cdots a_k} n_2$ into a sequence of transitions reading each a_i one by one. As we only use words of size at most $\|K\|_\infty$, the resulting automaton is still of size polynomial in the one of K .

► **Definition C.12.** Let K be a keyboard of BK, we define $\mathcal{A}(K)$ the NFA whose states are elements of $\{\text{Init}\} \cup \llbracket 0 ; \|K\|_\infty \rrbracket$.

The only initial state is Init , the only final state is 0.

The set of transitions is $\Delta = \Delta_{\text{Init}} \cup \Delta_t \cup \Delta_\tau$ with

$$\begin{aligned}\Delta_{\text{Init}} &= \left\{ \text{Init} \xrightarrow{v} n \mid \exists m, w, \leftarrow^m vw \in K \wedge |w| = n \right\} \\ \Delta_t &= \left\{ n_1 \xrightarrow{v} n_2 \mid \exists w, \leftarrow^n vw \in K \wedge |w| = n_2 \right\} \\ \Delta_\tau &= \left\{ n_1 \xrightarrow{\varepsilon} n_2 \mid \exists \tau \in K^*, n_1 \xrightarrow{\tau_e} n_2 \right\}\end{aligned}$$

► **Lemma C.13.** Let K be a keyboard of BK, $\mathcal{A}(K)$ and K recognize the same language.

Proof. Let $v \in A^*$, suppose $v \in \mathcal{L}(K)$, then by Lemma C.5 (Decomposition of a BK execution), there exist $k > 0, v_1, \dots, v_k \in A^*, x_1, \dots, x_k \in A^*, 0 \leq s_1, \dots, s_k \leq \|K\|_\infty$ and $\tau_1, \dots, \tau_k \in K^*$ such that:

1. $v = v_1 \cdots v_k$.
2. For all $1 \leq i \leq k, \leftarrow^{s_i} v_i x_i \in K$.
3. By setting $s_{k+1} = 0$, for all $1 \leq i \leq k, |x_i| \xrightarrow{\tau_i} s_{i+1}$.

One can then easily observe that the execution $\text{Init} \xrightarrow{v_1} |x_1| \xrightarrow{\varepsilon} s_2 \xrightarrow{v_2} |x_2| \cdots \xrightarrow{v_k} |x_k| \xrightarrow{\varepsilon} 0$ accepts v .

Now suppose $v \in \mathcal{L}(\mathcal{A}(K))$, there exists a run on $\mathcal{A}(K)$ accepting v .

First observe that:

- for all state $n \in \llbracket 0 ; \|K\|_\infty \rrbracket$ there is a transition $n \xrightarrow{\varepsilon} n$;
- for all transitions $n_1 \xrightarrow{\varepsilon} n_2, n_2 \xrightarrow{\varepsilon} n_3$, there is a transition $n_1 \xrightarrow{\varepsilon} n_3$.

As a consequence, we can assume the run of the automaton to be of the form

$$\text{Init} \xrightarrow{v_1} n_1 \xrightarrow{\varepsilon} n'_2 \xrightarrow{v_2} n_2 \xrightarrow{\varepsilon} \cdots \xrightarrow{v_k} n_k \xrightarrow{\varepsilon} n'_{k+1} = 0.$$

By definition of $\mathcal{A}(K)$, we can then define:

- for all $1 \leq i \leq k$, $\tau_i \in K^*$ such that $n_i \xrightarrow{\tau_i} n'_i$;
- for all $1 \leq i \leq k$, $x_i \in A^*$ and n'_i such that $\leftarrow^{n'_i} v_i x_i \in K$ and $|x_i| = n_i$;
- $s_i = n'_i$ for all $1 \leq i \leq k + 1$.

We obtain that $v \in \mathcal{L}(K)$ by applying Lemma C.5 (Decomposition of a BK execution). ◀

► **Theorem C.14.** *All languages recognized by a keyboard of BK are rational.*

Proof. Let K be a keyboard of BK, by Lemma C.13, its language is the one of $\mathcal{A}(K)$, $\mathcal{L}(K)$ is thus rational. ◀

► **Lemma C.15.** *Let K be a keyboard of BEK, we can construct $\mathcal{A}(K)$ in polynomial time in the size of K .*

Proof. By Lemma C.10, for all $0 \leq n_1, n_2 \leq \|K\|_\infty$, we can decide in time polynomial in $\|K\|_\infty$ whether there exists $\tau \in K^*$ such that $n_1 \xrightarrow{\tau} n_2$.

As a consequence (and by Remark C.11), the automaton $\mathcal{A}(K)$ can be constructed in polynomial time. ◀

We now extend the previous results to BEK. The idea is that an execution of a keyboard (T, F) of BEK, is an execution of T as an BK keyboard followed by the application of a key from F .

► **Lemma C.16.** *Let $K = (T, F)$ be a keyboard of BEK. We can construct in polynomial time an NFA $\mathcal{A}(K)$ recognizing $\mathcal{L}(K)$.*

Proof. Let $K \triangleq (T, F)$ be a keyboard of BEK. Let $L \triangleq \mathcal{L}(K)$ and $L_T = \mathcal{L}(T)$ where T is seen as a keyboard of BK.

By Lemma C.13 and Lemma C.15, L_T is rational we can construct in polynomial time an NFA recognizing it. Further, note that

$$L = \bigcup_{f \in F} L_f$$

where $L_f \triangleq \{w \cdot f \mid w \in L_T\}$.

Let f be a final key of the form $\leftarrow^k u$. Then $L_f = (L_T / A^k)u + u$ where

$$L_T / A^k = \{w \mid \exists v \in A^k, wv \in L_T\}$$

is the right quotient of L_T by A^k and is thus rational.

Union, concatenation and quotient by A^k all correspond to polynomial-time operations on NFAs, proving the result. ◀

A more explicit construction of this automaton is also possible, for instance by transforming the automaton associated with T of BK (see Definition C.12).

- The state 0 is no longer final, and we add a final state Fin.
- For all states i and $t_f = \leftarrow^i w \in F$, we add a transition from i to Fin labeled by w . This simulates the action of, after producing vx (with $|x| = i$) with T , applying t_f .
- For all $t_f = \leftarrow^r w \in F$, we add a transition from Init to Fin labeled by w .

D Proofs of properties of BLEK

Proof of Lemma 6.9 (Independence from position)

► **Lemma 6.9** (Independence from position). *Let t be a key of BLEK and $\langle u|v \rangle$ a configuration. If t writes an a from $\langle u|v \rangle$, then for all configurations $\langle u'|v' \rangle$, t writes an a from $\langle u'|v' \rangle$.*

Proof. We set $t = \sigma_1 \dots \sigma_n$. Let $\langle x|y \rangle$ be a configuration. By Proposition 5.8, we can assume it does not contain any a and by Remark 5.3, we can assume $\sigma_1 = a$ and t writes its first symbol from $\langle u|v \rangle$. We then define for all $1 \leq i \leq n$

$$\langle u_i|v_i \rangle = \langle u|v \rangle \cdot \sigma_1 \dots \sigma_i \quad \text{and} \quad \langle x_i|y_i \rangle = \langle x|y \rangle \cdot \sigma_1 \dots \sigma_i.$$

Let i be the smallest index such that u_i or x_i is empty, and $i = n$ if such an index does not exist (note that $i > 1$ as u_1 and x_1 contain the a written by σ_1). As t writes its first symbol from $\langle u|v \rangle$, $\sigma_1 \dots \sigma_i$ writes an a from $\langle u|v \rangle$ in some position j .

Further, $\sigma_1 \dots \sigma_i$ acts efficiently on $\langle u|v \rangle$ and on $\langle x|y \rangle$, thus by Proposition 5.11, t writes an a from $\langle x|y \rangle$ at position j . If $i = n$, the result is proven.

Otherwise, as either u_i or x_i is empty, we have $j > 0$ and $y_i[j] = v_i[j] = a$. By Lemma 6.8, y_n contains an a , while $\langle x|y \rangle$ does not by assumption, showing the result by Proposition 5.9. ◀

Proof of Theorem 6.10 (BLEK fundamental)

► **Theorem 6.10** (BLEK fundamental). *Let $t = \sigma_1 \dots \sigma_n$ be a sequence of atomic operations, and $\langle u|v \rangle$ a configuration. We set $\langle x_n|y_n \rangle = \langle \varepsilon|\varepsilon \rangle \cdot t$. Then $\langle u|v \rangle \cdot t$ is of the form $\langle u_n x_n | v_n v \rangle$ with y_n a subword of v_n and u_n a prefix of u .*

Proof. We use an induction on n . If $n = 0$ then the property is clear.

Let $n > 0$, let $\langle u|v \rangle$ be a configuration. We set $\langle x_{n-1}|y_{n-1} \rangle = \langle \varepsilon|\varepsilon \rangle \cdot \sigma_1 \dots \sigma_{n-1}$ and $c_n = \langle u|v \rangle \cdot \sigma_1 \dots \sigma_n$.

By induction hypothesis, there exists u_{n-1} and v_{n-1} such that

$$c_{n-1} = \langle u_{n-1} x_{n-1} | v_{n-1} v \rangle$$

with y_{n-1} a subword of v_{n-1} and u_{n-1} a prefix of u .

We distinguish cases according to σ_n .

- If $\sigma_n = a \in A$ then $x_n = x_{n-1}a$ and $y_n = y_{n-1}$. We set $u_n = u_{n-1}$ and $v_n = v_{n-1}$.
- If $\sigma_n = \leftarrow$ and $x_{n-1} = \varepsilon$, then $x_n = \varepsilon$ and $y_n = y_{n-1}$. We set $v_n = v_{n-1}$ and

$$u_n = \begin{cases} u'_{n-1} & \text{if } u_{n-1} \text{ is of the form } u'_{n-1}a \text{ with } a \in A \\ \varepsilon & \text{otherwise} \end{cases}.$$

- If $\sigma_n = \leftarrow$ and $x_{n-1} = x'_{n-1}a$ with $a \in A$ then $x_n = x'_{n-1}$ and $y_n = y_{n-1}$. We set $u_n = u_{n-1}$ and $v_n = v_{n-1}$.
- If $\sigma_n = \blacktriangleleft$ and $x_{n-1} = \varepsilon$ then $x_n = \varepsilon$ and $y_n = y_{n+1}$. We separate two cases.
 - If $u_{n-1} = \varepsilon$, we set $u_n = \varepsilon$ and $v_n = v_{n-1}$.
 - If $u_{n-1} = u'_{n-1}a$ with $a \in A$, we set $u_n = u'_{n-1}$ and $v_n = av_{n-1}$.
- If $\sigma_n = \blacktriangleleft$ and $x_{n-1} = x'_{n-1}a$ with $a \in A$, then $x_n = x'_{n-1}$ and $y_n = ay_{n-1}$. We set $u_n = u_{n-1}$ and $v_n = av_{n-1}$.

In all cases, we have $c_n = \langle u_n x_n | v_n v \rangle$ with y_n a subword of v_n and u_n a prefix of u .

The theorem is proven. ◀

Proof of Theorem 6.11

► **Theorem 6.11.** Let K be a BLEK keyboard. Then, $\mathcal{L}(K)$ is context-free and we can build a non-deterministic pushdown automaton $\mathcal{A}(K)$ recognizing $\mathcal{L}(K)$ in polynomial time.

► **Definition D.1.** Let $K = (T, F)$ be a keyboard of BLEK. We define the pushdown automaton $\mathcal{M}(K)$ as follows.

- Its set of states is $\text{Pref}(T \cup F) \cup \{\text{Fin}\}$.
- Its input alphabet is A , its stack alphabet is $A \cup \{\perp\}$, \perp being its initial stack symbol.
- ε is the only initial state.
- Fin is the only final state. The automaton accepts on an empty stack in state Fin .
- The set of transitions is $\Delta = \Delta_A \cup \Delta_{\blacktriangleleft} \cup \Delta_{\leftarrow} \cup \Delta_{\text{loop}} \cup \Delta_{\text{Fin}}$ with

$$\begin{aligned}\Delta_A &= \left\{ t \xrightarrow[-, \uparrow a]{} ta \mid ta \in \text{Pref}(T \cup F), a \in A \right\} \\ \Delta_{\blacktriangleleft} &= \left\{ t \xrightarrow[\downarrow a, -]{} t\blacktriangleleft \mid t\blacktriangleleft \in \text{Pref}(T \cup F), a \in A \right\} \cup \\ &\quad \left\{ t \xrightarrow[\downarrow \perp, \uparrow \perp]{} t\blacktriangleleft \mid t\blacktriangleleft \in \text{Pref}(T \cup F) \right\} \\ \Delta_{\leftarrow} &= \left\{ t \xrightarrow[\downarrow a, -]{} t\leftarrow \mid t\leftarrow \in \text{Pref}(T \cup F), a \in A \right\} \cup \\ &\quad \left\{ t \xrightarrow[\downarrow \perp, \uparrow \perp]{} t\leftarrow \mid t\leftarrow \in \text{Pref}(T \cup F) \right\} \\ \Delta_{\text{loop}} &= \left\{ t \xrightarrow[-, -]{} \varepsilon \mid t \in T \right\} \\ \Delta_{\text{Fin}} &= \left\{ t \xrightarrow[-, -]{} \text{Fin} \mid t \in F \right\} \cup \\ &\quad \left\{ \text{Fin} \xrightarrow[\downarrow a, -]{} \text{Fin} \mid a \in A \right\} \cup \\ &\quad \left\{ \text{Fin} \xrightarrow[\downarrow \perp, -]{} \text{Fin} \right\}\end{aligned}$$

► **Lemma D.2.** Let $K = (T, F)$ be a keyboard of BLEK, then $\mathcal{L}(K) = \widetilde{\mathcal{L}(\mathcal{M}(K))}$.

Proof. Let $t = \sigma_1 \cdots \sigma_k \in T$.

We use the notation s^u for the configuration of the automaton $\mathcal{M}(K)$ in state s with u as stack content (from bottom to top).

First we observe that for all configuration s^u of $\mathcal{M}(K)$, for all state s' there is at most one transition from s^u to a configuration of the form $s'^{u'}$.

We also observe that the only accepting runs from ε to Fin are of the form:

$$\varepsilon \xrightarrow{t_1} t_1 \xrightarrow[-, -]{} \varepsilon \xrightarrow{t_2} t_2 \xrightarrow[-, -]{} \varepsilon \cdots t_k \xrightarrow[-, -]{} \varepsilon \xrightarrow{t'} t_f \xrightarrow[-, -]{} \text{Fin} \xrightarrow{\text{read}} \text{Fin}$$

with $t_1, \dots, t_k \in T, t_f \in F$, and where \xrightarrow{t} stands for the run of the form

$$\varepsilon \xrightarrow[x_1]{op_1, op'_1} \sigma_1 \xrightarrow[x_2]{op_2, op'_2} \sigma_1 \sigma_2 \cdots \xrightarrow[x_k]{op_k, op'_k} \sigma_1 \cdots \sigma_k$$



and $\text{Fin} \xrightarrow{\text{read}} \text{Fin}$ stands for the run

$$\text{Fin} \xrightarrow[-,\uparrow a_1]{a_1} \text{Fin} \xrightarrow[-,\uparrow a_2]{a_2} \cdots \xrightarrow[-,\uparrow a_m]{a_m} \text{Fin} \xrightarrow[-,\uparrow \perp]{\varepsilon} .$$

A straightforward case distinction on σ_i shows that for all $1 \leq i \leq k$, for all $u, v, u' \in A^*$, $x \in A \cup \{\varepsilon\}$ there is a transition reading x from $(\sigma_1 \cdots \sigma_{i-1})^{\perp u}$ to $(\sigma_1 \cdots \sigma_i)^{\perp u'}$ if and only if $\langle u|v \rangle \cdot \sigma_i = \langle u'|xv \rangle$.

We easily infer that for all $t_1, \dots, t_k \in T, t_f \in F$, the run $\varepsilon \xrightarrow{t_1} t_1 \xrightarrow[-,-]{\varepsilon} \varepsilon \xrightarrow{t_2} t_2 \xrightarrow[-,-]{\varepsilon} \cdots \xrightarrow[-,-]{\varepsilon} \varepsilon \xrightarrow{t'} t_f \xrightarrow[-,-]{\varepsilon} \text{Fin}$ reads \tilde{v} and ends in configuration $\text{Fin}^{\perp u}$, with $\langle u|v \rangle = \langle \varepsilon|\varepsilon \rangle \cdot (t_1 \cdots t_k t_f)$.

As a result, a word w is accepted if and only if there exist $u, v \in A^*$ and $t_1, \dots, t_n \in T, t_f \in F$ such that $w = \tilde{v}\tilde{u}$ and $\langle u|v \rangle = \langle \varepsilon|\varepsilon \rangle \cdot t_1 \cdots t_n t_f$.

In other words, a word w is accepted by $\mathcal{M}(K)$ if and only if its mirror is in $\mathcal{L}(K)$.

We have shown $\mathcal{L}(\mathcal{M}(K)) = \overline{\mathcal{L}(K)}$. ◀

Given a pushdown automaton, one can construct in polynomial time a pushdown automaton recognizing its mirror language. Thus, as $\mathcal{M}(K)$ can clearly be constructed in polynomial time, we obtain the result.

Note that we use ε -transitions in the constructions, however these can be eliminated in polynomial time as well.

E Proofs of EAK results

Proof of Lemma 6.12

► **Lemma 6.12.** Let $K = (T, F)$ be a EAK keyboard. Let $u, v \in A^*$, let $\tau \in (T \cup F)^*$ and let $\langle u'|v' \rangle = \langle u|v \rangle \cdot \tau$. Then uv is a subword of $u'v'$. In particular $|uv| \leq |u'v'|$.

Proof. We simply have to prove the lemma for $\tau = \sigma \in S$ an atomic operation, and the general case follows by a straightforward induction.

If $\sigma \in \{\blacktriangleleft, \triangleright\}$ then $u'v' = uv$ and thus uv is clearly a subword of $u'v'$.

If $\sigma = a \in A$ then $u'v' = uav$ and again uv is clearly a subword of $u'v'$.

This concludes our proof. ◀

Proof of Lemma 6.13

► **Lemma 6.13.** Let $K = (T, F)$ be a EAK keyboard, let $w \in \mathcal{L}(K)$. There exists an execution $\tau = t_1 \cdots t_n \in T^*F$ such that $\langle \varepsilon|\varepsilon \rangle \cdot \tau = \langle u|v \rangle$ with $uv = w$ and $n \leq |w|^2 + 1$.

Proof. Let $w \in \mathcal{L}(K)$, and let $u, v \in A^*$, $\tau = t_1 \cdots t_n \in T^*F$ be such that $w = uv$ and $\langle \varepsilon|\varepsilon \rangle \cdot \tau = \langle u|v \rangle$.

We show that if $n > |w|^2 + 1$ then there exists a shorter execution writing $\langle u|v \rangle$.

Suppose $n > |w|^2 + 1$, and for all $0 \leq i \leq n$ let $k_i = |\langle \varepsilon|\varepsilon \rangle \cdot t_1 \cdots t_i|$ and $\langle u_i|v_i \rangle = \langle \varepsilon|\varepsilon \rangle \cdot t_1 \cdots t_i$. By Lemma 6.12, the sequence (k_i) is nondecreasing. As $n > |w|^2 + 1$ and $k_n = |w|$, there exists $0 \leq i \leq n - |w|$ such that $k_i = k_{i+1} = \cdots = k_{i+|w|}$. Again by Lemma 6.12, we have $u_i v_i = u_{i+1} v_{i+1} = \cdots = u_{i+|w|} v_{i+|w|}$. If $u_i v_i = w$ then the execution $t_1 \cdots t_i$ writes w .

If $u_i v_i \neq w$ then $k_i < |w|$. There are $|w| > k_i$ configurations $\langle u'|v' \rangle$ such that $u'v' = u_i v_i$, thus there exist $i \leq j_1 < j_2 \leq i + |w|$ such that $\langle u_{j_1}|v_{j_1} \rangle = \langle u_{j_2}|v_{j_2} \rangle$.

As a result, the execution $t_1 \dots t_{j_1} t_{j_2+1} \dots t_n$ writes w .

The lemma is proven. ◀

Proof of Theorem 6.14

► **Theorem 6.14.** *For all keyboards $K = (T, F)$ of EAK we can construct a linear bounded automaton $\mathcal{A}(K)$ of polynomial size recognizing $\mathcal{L}(K)$.*

Proof. We construct $\mathcal{A}(K)$ the linear bounded automaton which, given an input w , proceeds as follows:

- It divides the tape in three parts: one to memorize the input (of linear size), one to simulate an execution of K (of linear size as well by Lemma 6.12) and one containing a counter (of logarithmic size).
- It guesses a sequence of keys of T followed by a key of F and computes their effect on the fly. After the application of each key the counter is incremented.
- If the counter goes beyond $|w|^2 + 1$ then the automaton rejects.
- If not, the automaton compares the obtained word to w , accepts if they are equal, and rejects otherwise.

This machine guesses a sequence of at most $|w|^2 + 1$ keys and accepts if the word obtained by their actions is the input.

Clearly if a word is accepted by $\mathcal{A}(K)$ then it is in $\mathcal{L}(K)$. Conversely, if a word w is in $\mathcal{L}(K)$ then by Lemma 6.13 there exists an execution of length at most $|w|^2 + 1$ accepting it, thus $\mathcal{A}(K)$ can guess this execution and accept w .

As a result, $\mathcal{L}(K) = \mathcal{L}(\mathcal{A}(K))$. ◀

F Comparisons between classes

► **Proposition 7.2** (EK ⊈ BLK). *EK is not included in BLK.*

Proof. Consider the language $L = (a^2)^*(b + b^2)$, which is clearly in EK via the keyboard $(\{a^2\}, \{b, b^2\})$. We show that there is no BLK keyboard recognizing it.

Suppose there exists a keyboard K of BLK recognizing L .

As $b^2 \in L$, some sequence of keys $\tau_{b^2} \in K^+$ leads to some $\langle x|y \rangle$ with $xy = b^2$ from $\langle \varepsilon|\varepsilon \rangle$.

We first prove that for all $\tau \in K^*$, $\langle \varepsilon|\varepsilon \rangle \cdot \tau$ is of the form $\langle u|\varepsilon \rangle$.

Let $\tau \in K^*$, let $\langle u|v \rangle = \langle \varepsilon|\varepsilon \rangle \cdot \tau$. By Theorem 6.10 (BLEK fundamental), $\langle \varepsilon|\varepsilon \rangle \cdot \tau \tau_{b^2}$ is of the form $\langle u'x|v'v \rangle$ with y a subword of v' . As $uv \in L$, uv contains a b . If $v \neq \varepsilon$, v contains a b and thus $u'xv'v$ contains at least three b 's, contradicting $u'xv'v \in L$.

Therefore, the right component of every configuration obtained with K is empty.

We infer that left arrows ◀ are only ever applied on the configuration $\langle \varepsilon|\varepsilon \rangle$, as otherwise we would obtain a nonempty right component which would then stay nonempty throughout the execution by Theorem 6.10 (BLEK fundamental), contradicting the previous statement.

We can thus delete every ◀ from the keys of K to obtain an equivalent keyboard of BK.

In what follows we will assume K to be a BK keyboard.

By Lemma 6.4 (Normal form), we can assume it to be in normal form.

As $b^2 \in L$, there exists $\tau \in K^*$ such that $\varepsilon \cdot \tau = b^2$. Again by Lemma 6.4 (Normal form) we have a sequence of atomic operations $\leftarrow^k b^2$ avec $k \in \mathbb{N}$ equivalent to τ .

We distinguish cases depending on k .

- If $k = 0$, then $\tau \sim b^2$; we then have $\varepsilon \cdot \tau \cdot \tau = b^2 \cdot \tau = b^4 \notin L$.

- If $k = 1$, then $\tau \sim \leftarrow b^2$; then $\varepsilon \cdot \tau \cdot \tau = b^2 \cdot \tau = b^3 \notin L$.
- If $k > 1$ and **k is even**; as $a^{2k}b \in L$, $a^{2k}b$ is a reachable configuration for K . Then we have $a^{2k}b \cdot \tau = a^{k+1}b^2 \notin L$.
- If $k > 1$ and **k is odd**; as $a^{2k}b^2 \in L$, $a^{2k}b$ is a reachable configuration for K . Then we have $a^{2k}b^2 \cdot \tau = a^kb^2 \notin L$.

In all cases, K recognizes a word outside of L , yielding a contradiction. \blacktriangleleft

► **Proposition 7.3** (**EK** $\not\subseteq$ **AK**). **EK** is not included in **AK**.

Proof. Consider the language $\{a\}$. It is recognized by the keyboard $(\emptyset, \{a\})$ of **EK**.

Suppose there exists K a keyboard of **AK** recognizing $\{a\}$. Then there exists $t \in K$ exactly containing an a . As K does not contain any \leftarrow , applying t twice from $\langle\varepsilon|\varepsilon\rangle$ yields a configuration with two a , and thus a word outside of $\{a\}$. We obtain a contradiction. \blacktriangleleft

Proof of Proposition 7.4 (**BK** $\not\subseteq$ **EAK**)

In all that follows we will use the notations $t_a = \leftarrow a \diamond \blacklozenge$ and $t_b = \leftarrow \leftarrow b \diamond \blacklozenge \blacklozenge$.

We define $L_{\diamond \blacklozenge}$ as the language recognized by the **BK** keyboard $\{t_a, t_b\}$.

► **Lemma F.1.** Let $x = x_1 \cdots x_n \in \{a, b\}^+$, we have

$$\langle\varepsilon|\varepsilon\rangle \cdot t_{x_1} \cdots t_{x_n} = x_1 w_{x_1 x_2} x_2 w_{x_2 x_3} x_3 \cdots w_{x_{n-1} x_n} x_n v_{x_n}$$

with $w_{aa} = w_{bb} = \diamond$, $w_{ab} = \varepsilon$, $w_{ba} = \diamond \blacklozenge$, $v_a = \diamond \blacklozenge$ and $v_b = \diamond \blacklozenge \blacklozenge$.

In particular, for all $u_1, u_2, u_3 \in A^*$, if $u_1 bu_2 au_3 \in L_{\diamond \blacklozenge}$ then u_2 contains a \blacklozenge .

Proof. We proceed by induction on n . For $n = 1$ the property is clear.

Let $n > 1$, let $x = x_1 \cdots x_n \in \{a, b\}^+$, we define $x' = x_1 \cdots x_{n-1}$. Suppose $\langle\varepsilon|\varepsilon\rangle \cdot t_{x_1} \cdots t_{x_{n-1}} = x_1 w_{x_1 x_2} \cdots x_{n-1} v_{x_{n-1}}$, we separate four cases:

- $x_{n-1} = x_n = a$: then $v_{x_{n-1}} = \diamond \blacklozenge$ and thus

$$\langle\varepsilon|\varepsilon\rangle \cdot t_{x_1} \cdots t_{x_n} = x_1 w_{x_1 x_2} \cdots x_{n-1} \diamond a \diamond \blacklozenge.$$

- $x_{n-1} = x_n = b$: then $v_{x_{n-1}} = \diamond \blacklozenge \blacklozenge$ and thus

$$\langle\varepsilon|\varepsilon\rangle \cdot t_{x_1} \cdots t_{x_n} = x_1 w_{x_1 x_2} \cdots x_{n-1} \diamond b \diamond \blacklozenge \blacklozenge.$$

- $x_{n-1} = a$ and $x_n = b$: then $v_{x_{n-1}} = \diamond \blacklozenge$ and thus

$$\langle\varepsilon|\varepsilon\rangle \cdot t_{x_1} \cdots t_{x_n} = x_1 w_{x_1 x_2} \cdots x_{n-1} b \diamond \blacklozenge \blacklozenge.$$

- $x_{n-1} = b$ and $x_n = a$: then $v_{x_{n-1}} = \diamond \blacklozenge \blacklozenge$ and thus

$$\langle\varepsilon|\varepsilon\rangle \cdot t_{x_1} \cdots t_{x_n} = x_1 w_{x_1 x_2} \cdots x_{n-1} \diamond \blacklozenge a \diamond \blacklozenge.$$

The property is verified in all cases. \blacktriangleleft

► **Proposition 7.4** (**BK** $\not\subseteq$ **EAK**). **BK** is not included in **EAK**.

Proof. Suppose there exists a keyboard $K = (T, F)$ of EAK recognizing $L = L_{\diamond\blacklozenge}$. In this proof we will use the letter k to denote keys of K , in order to avoid confusion with the keys t_a and t_b .

As $a\diamond\blacklozenge \in L$, there exists $\tau_f \in T^*F$ yielding that word.

Moreover, $w = (a\diamond)^{3\|K\|_\infty}a\diamond\blacklozenge \in L$ (obtained by applying t_a $3\|K\|_\infty$ times). Hence there exists an execution of K writing that word. By Lemma 6.12, as $|k|_a \leq \|K\|_\infty$ for all $k \in T \cup F$, this execution contains at least three keys containing an a , including at least two in T (as the execution only has one final key).

As w contains a single \blacklozenge , there exists a key k_a of T writing an a , but writing neither \blacklozenge nor b . By applying k_a then τ_f , we obtain a word of L containing a single \blacklozenge and no b . By lemma Lemma F.1 this word must be of the form $(a\diamond)^i a\diamond\blacklozenge$. We infer that k_a contains as many a and \diamond . Let n be its number of a .

We can similarly show, using the word $(b\diamond)^{3\|K\|_\infty}b\diamond\blacklozenge\blacklozenge$, that there exists $k_b \in T$ containing as many b and \diamond but neither \blacklozenge nor a . Let m be its number of b (and of \diamond).

Let $\tau = k_a k_b$. We write

$$\langle u|v \rangle = \langle \varepsilon|\varepsilon \rangle \cdot \tau \quad \text{and} \quad \langle u'|v' \rangle = \langle u|v \rangle \cdot \tau_f$$

We have that $u'v'$ contains a single \blacklozenge . As $u'v' \in L$, $u'v'$ has to be of the form $wa\diamond\blacklozenge$ with w not containing any \blacklozenge , $|w|_a = n$, $|w|_b = m$ and $|w|_\diamond = n + m$.

As wa contains at least a b , wa it is of the form u_1bu_2a , thus by Lemma F.1, u_2 contains a \blacklozenge , yielding a contradiction. As a conclusion, $L \notin \text{EAK}$. \blacktriangleleft

Proof of Proposition 7.5 (AK $\not\subseteq$ BLEK)

Consider the keyboard $K = \{a\blacktriangleleft^2\blacktriangleright b\}$.

By applying $a\blacktriangleleft^2\blacktriangleright b$ on $\langle \varepsilon|\varepsilon \rangle$ we obtain $\langle ab|\varepsilon \rangle$, and by applying it on a configuration of the form $\langle ub|v \rangle$ we obtain $\langle ubb|av \rangle$. Hence after applying it n times on $\langle \varepsilon|\varepsilon \rangle$ we get $ab^{n+1}a^n$. The language of K is therefore $L = \{ab^{n+1}a^n \mid n \in \mathbb{N}\}$.

► **Lemma F.2.** *Let K be a keyboard of BLEK. If K recognizes L then for all $\tau \in T^*$, $\langle \varepsilon|\varepsilon \rangle \cdot \tau$ is of the form $\langle u|a^k \rangle$.*

Proof. As $abba \in L$, there exists $\tau \in T^*$ and $t_f \in F$ such that $\langle \varepsilon|\varepsilon \rangle \cdot \tau t_f = \langle x|y \rangle$ with $xy = abba$.

Let $\langle u|v \rangle$ be a configuration reachable by a sequence of keys of τ with v containing a b . By Theorem 6.10 (BLEK fundamental), $\langle u|v \rangle \cdot \tau t_f$ is of the form $\langle u'x|v'v \rangle$ with y a subword of v' . As a consequence, $abba$ is a subword of $u'xv'$. With the assumption, we get that $abbab$ is a subword of $u'xv'v$, which contradicts the fact that $u'xv'v \in L$. \blacktriangleleft

► **Proposition 7.5 (AK $\not\subseteq$ BLEK).** AK is not included in BLEK.

Proof. Let $K = (T, F)$ be a keyboard of BLEK, suppose it recognizes L . Let $\tau \in T^*$ and $t_f \in F$. We set:

$$\langle x|y \rangle = \langle \varepsilon|\varepsilon \rangle \cdot t_f \quad \text{and} \quad \langle u|v \rangle = \langle \varepsilon|\varepsilon \rangle \cdot \tau.$$

There exists $n \in N$ such that $xy = ab^{n+1}a^n$. By Theorem 6.10 (BLEK fundamental), $\langle \varepsilon|\varepsilon \rangle \cdot \tau t_f = \langle u|v \rangle \cdot t_f$ is of the form $\langle u'x|v'v \rangle$ with y a subword of v' .

As $ab^{n+1}a^n$ is a subword of xv' and $u'xv'v \in L$, u' is necessarily empty (otherwise u' would contain an a and as ab is a subword of xv' , aab would be a subword of $u'xv'v$, contradicting $u'xv'v \in L$).

By Lemma 4.3 (Bounds on the lengths), $|v'v| - |v| \leq |t| \leq \|K\|_\infty$, i.e., $|v'| \leq \|K\|_\infty$. Furthermore, again by Lemma 4.3 (Bounds on the lengths), $|x| \leq \|K\|_\infty$.

By Lemma F.2, v is of the form a^k . Hence all b in $u'xv'v$ are in xv' , thus $u'xv'v$ contains at most $2\|K\|_\infty b$.

We have shown that all words in $\mathcal{L}(K)$ contain at most $2\|K\|_\infty b$, contradicting $\mathcal{L}(K) = L$ as the number of b of words of L is unbounded. \blacktriangleleft

Proof of Proposition 7.6 (LEK $\not\subseteq$ BAK)

Consider the following language over $A = \{a, b, c\}$:

$$L = L_1 \cup L_2 \text{ with } L_1 = \{wc\tilde{w} \mid w \in \{a, b\}^*\} \text{ and } L_2 = \{wcc\tilde{w} \mid w \in \{a, b\}^*\}.$$

We are going to prove that L is in LEK but not in BAK.

► **Lemma F.3.** *Let $K = (\{\mathbf{aa}\blacktriangleleft, \mathbf{bb}\blacktriangleleft\}, \{c, cc\})$. Then $\mathcal{L}(K) = L$.*

Proof. We use the notations $t_a = \mathbf{aa}\blacktriangleleft$ and $t_b = \mathbf{bb}\blacktriangleleft$. A straightforward induction shows that $\mathcal{L}(\{t_a, t_b\})$ is the language of even palindromes over $\{a, b\}$ and that the configurations reached by application of those keys are of the form $\langle w|\tilde{w} \rangle$.

We then easily infer that the language of K is L . \blacktriangleleft

We now show that $L \notin \text{BAK}$. The intuition is as follows:

Suppose we have a keyboard K of BAK recognizing L . As we want to recognize palindromes, we need to stay close to the center in order to always modify both halves of the word.

If the word is large enough, this means that we have to get far from the edges. In particular, there is a key t writing an a far from the edges (even two a , as we have to stay in the language).

We study the behaviour of this key on $b^n cb^n$ and $b^n ccb^n$ with large n . The cursor being far from the edges, t behaves the same way in both cases. In particular, we make the following remarks:

- The maximal distance d between two a will be the same in both words. Thus the resulting words have either both two c or both one c in the center.
- In both cases the key adds a number of letters δ , and thus if $b^n cb^n$ is turned into a word of even length, then $b^n ccb^n$ is turned into a word of odd length, and vice-versa.

As a result, they have different numbers of c in the center.

As those facts are contradictory, we conclude that there cannot exist such a keyboard.

Now for the formal proof, we start by showing that the maximal distance between two a is the same when we apply the same key to two configurations without a effectively.

► **Definition F.4.** *Let $\langle u|v \rangle$ be a configuration, let $a \in A$. We define $d_a(\langle u|v \rangle)$ as*

$$\begin{cases} +\infty & \text{if } \langle u|v \rangle \text{ contains zero or one } a. \\ \max(\{|w| \mid awa \in \text{Fact}(uv)\}) & \text{otherwise.} \end{cases}$$

► **Lemma F.5.** *Let $t \in T$ be a key and $u, v, u', v' \in A^*$ words with no a and of length at least $|t|$. Then*

$$d_a(\langle u|v \rangle \cdot t) = d_a(\langle u'|v' \rangle \cdot t).$$

Proof. As u, v, u', v' are all of length at least $|t|$, t acts effectively on both configurations (by Lemma 4.2 (Effectiveness far from the edges)). By Proposition 5.11, t writes an a in position i from $\langle u'|v' \rangle$ if and only if t writes an a in position i from $\langle u|v \rangle$.

As $\langle u|v \rangle$ does not contain an a , by Proposition 5.4, $(\langle u|v \rangle \cdot t)_i = a$ if and only if t writes an a in position i from $\langle u|v \rangle$. Similarly, $(\langle u'|v' \rangle \cdot t)_i = a$ if and only if t writes an a in position i from $\langle u'|v' \rangle$.

Thus $(\langle u|v \rangle \cdot t)_i = a$ if and only if $(\langle u'|v' \rangle \cdot t)_i = a$, proving the result. \blacktriangleleft

We can now prove our result. Suppose we have K an BAK keyboard recognizing L .

We first show that in an execution of K the cursor must stay close to the center of the word.

► **Lemma F.6.** *Let $\langle u|v \rangle$ a reachable configuration of K and $t \in K$ such that, by setting $\langle u'|v' \rangle = \langle u|v \rangle \cdot t$, we have $uv \neq u'v'$. Then $\|u|v\| \leq 6\|K\|_\infty$ and $\|u'|v'\| \leq 8\|K\|_\infty$.*

Proof. Suppose $\|u|v\| > 6\|K\|_\infty \geq 6|t|$. Then, either $|u| - |v| > 6|t|$, or $|v| - |u| > 6|t|$. We assume to be in the first case, the other one being similar. We thus have

$$|u| = \frac{|u|}{2} + \frac{|u|}{2} > \frac{|u|}{2} + \frac{|v| + 6|t|}{2}$$

Hence $|u| \geq \frac{|uv|}{2} + 3|t|$.

As $uv \in L$, uv is of the form either $wc\tilde{w}$ or $wcc\tilde{w}$ for some $w \in \{a,b\}^*$.

By Lemma 4.1 (Locality), there exists a common prefix u_p to u and u' such that

$$|u_p| \geq |u| - |t| \geq \frac{|uv|}{2} + 2|t| \geq \frac{|uv|}{2} + 2,$$

The last inequality holds as t is non-empty (as $uv' \neq uv$).

As a consequence u_p is of the form either wcy (and $uv = wc\tilde{w}$) or $wccy$ (and $uv = wcc\tilde{w}$) with $y \in \{a,b\}^+$. As $u'v'$ is in L , in both cases $uv = u'v'$, contradicting our hypothesis.

As a conclusion, we have $\|u|v\| \leq 6\|K\|_\infty$.

By Lemma 4.3 (Bounds on the lengths), we have $\|u|v\| \leq |t|$ and $\|v|u'\| \leq |t|$. Consequently,

$$\|u'|v'\| \leq \|u|v\| + \|u|u'\| + \|v|v'\| \leq 6\|K\|_\infty + 2|t| \leq 8\|K\|_\infty.$$

\blacktriangleleft

► **Lemma F.7.** *If $K \in \text{BAK}$ recognizes L , then K contains a key ensuring an a far from the edges.*

Proof. There exists $t_1 \cdots t_n \in T^*$ such that $\langle \varepsilon|\varepsilon \rangle \cdot t_1 \cdots t_n = \langle u|v \rangle$ with $uv = a^{6\|K\|_\infty} cca^{6\|K\|_\infty}$. Let i be the smallest index such that the number of a in $\langle u_i|v_i \rangle = \langle \varepsilon|\varepsilon \rangle \cdot t_1 \cdots t_i$ is maximized. We set

$$\langle u_{i-1}|v_{i-1} \rangle = \langle \varepsilon|\varepsilon \rangle \cdot t_1 \cdots t_{i-1}.$$

In particular $\langle u_i|v_i \rangle$ contains at least $12\|K\|_\infty$ a. By Lemma 4.3 (Bounds on the lengths), we have

$$|u_{i-1}v_{i-1}| \geq |u_iv_i| - |t_i| \geq 12\|K\|_\infty - \|K\|_\infty \geq 11\|K\|_\infty. \quad (1)$$

Further, by Lemma F.6, $\|u_{i-1}|v_{i-1}\| \leq 6\|K\|_\infty$, thus by triangle inequality,

$$|u_{i-1}v_{i-1}| \leq |u_{i-1}| + (\|u_{i-1}\| + 6\|K\|_\infty).$$



Suppose, $|u_{i-1}| < \|K\|_\infty$, we then have $|u_{i-1}v_{i-1}| \leq 8\|K\|_\infty$, contradicting (1). Thus $|u_{i-1}| \geq \|K\|_\infty$.

We prove similarly that $|v_{i-1}| \geq \|K\|_\infty$. As a consequence, u_{i-1} and v_{i-1} are of length at least $\|K\|_\infty$, and by Proposition 5.14 t_i ensures an a far from the edges, as by minimality of i , $\langle u_{i-1}|v_{i-1} \rangle$ contains less a than $\langle u_i|v_i \rangle$. \blacktriangleleft

► **Lemma F.8.** *The language L is not recognized by a BAK keyboard.*

Proof. Suppose there exists K a BAK keyboard recognizing L . Then, there exist τ and τ' of minimal length leading respectively to configurations $\langle u|v \rangle$ and $\langle u'|v' \rangle$ with $uv = b^5\|K\|_\infty cb^5\|K\|_\infty$ and $u'v' = b^5\|K\|_\infty ccb^5\|K\|_\infty$.

Let $\langle x|y \rangle$ be the penultimate configuration in the execution of τ . By minimality of τ , $xy \neq uv$ and by Lemma F.6 we then have $\|u|v\| \leq 8\|K\|_\infty$.

We show similarly that $\|u'|v'\| \leq 8\|K\|_\infty$.

In particular, as $|uv|, |u'v'| > 10\|K\|_\infty$ we have $|u|, |v|, |u'|, |v'| \geq \|K\|_\infty$.

By Lemma F.7, there exists $t \in T$ such that t ensures an a far from the edges. We then set

$$\langle u_a|v_a \rangle = \langle \varepsilon|\varepsilon \rangle \cdot \tau t \quad \text{and} \quad \langle u'_a|v'_a \rangle = \langle \varepsilon|\varepsilon \rangle \cdot \tau't.$$

By Lemma F.5, we have $d_a(u_a v_a) = d_a(u'_a v'_a)$. We set

$$d = d_a(u_a v_a) \quad \text{and} \quad \delta = \sum_{x \in A} |t|_x - |t|_\leftarrow.$$

We have $|u| \geq |t|$, $|v| \geq |t|$ and t ensures an a far from the edges, hence $u_a v_a$ contains at least an a and thus at least two as $u_a v_a \in L$. We therefore have $d \in \mathbb{N}$.

Further, as $u_a v_a$ and $u'_a v'_a$ are in L , then if d is even they must both be in L_2 and otherwise both in L_1 .

However, if δ is even then by Lemma 4.4 (Length evolution without left edge effects),

$$\begin{cases} |u_a v_a| = |uv| + \delta = 10\|K\|_\infty + 1 + \delta & \text{is odd} \\ |u'_a v'_a| = |u'v'| + \delta = 10\|K\|_\infty + 2 + \delta & \text{is even} \end{cases}$$

thus $u_a v_a \in L_1$ and $u'_a v'_a \in L_2$, contradicting the fact that they must be in the same L_j .

Similarly, if δ is odd then $u_a v_a \in L_2$ and $u'_a v'_a \in L_1$, again contradicting the fact that they must be in the same L_j .

We obtained a contradiction. As a result, L is not recognized by an BAK keyboard. \blacktriangleleft

► **Proposition 7.6 (LEK $\not\subseteq$ BAK).** *LEK is not included in BAK.*

Proof. We have shown in Lemma F.3 that L is in LEK and in Lemma F.8 that it is not in BAK, hence the result. \blacktriangleleft

G Complexity

Proof of Proposition 8.1

► **Proposition 8.1.** *The membership problem on MK and EK is in PTIME. The universality problem is in PTIME on MK and PSPACE on EK.*

Proof. The complexities of the membership problem on MK and the universality problem on EK arise directly from the complexities of the membership and universality problems on rational expressions.

Let $K \subset A^*$ be a minimal keyboard. Since $\mathcal{L}(K) = K^+$, K is universal if and only if $K^+ = A^*$. Let us show that $K^+ = A^*$ if and only if $A \cup \{\varepsilon\} \subseteq K$.

- If $A \cup \{\varepsilon\} \subseteq K$, then $A^* = (A \cup \{\varepsilon\})^+ \subset K^+$.
- If $A \cup \{\varepsilon\} \not\subseteq K$, then either $\varepsilon \notin K$ (and $\varepsilon \notin K^+$) or there exists $a \in A$ such that $a \notin K$ (and $a \notin K^+$). In both cases, $A^* \neq K^+$.

To check the universality of a minimal keyboard, we just have to check (in polynomial time) if $A \cup \{\varepsilon\} \subset K$. \blacktriangleleft

Proof of Proposition 8.4

► **Proposition 8.4.** *The universality problem for BK keyboards is in CONP.*

Proof. We prove that if a BK keyboard K is not universal then there is a word of length at most $\|K\|_\infty + 1$ it does not recognize.

Let K be a keyboard of BK, suppose there exists $w \in A^*$ not recognized by K . We take w of minimal length. If $|w| \leq \|K\|_\infty + 1$ then the property holds.

If $|w| > \|K\|_\infty + 1$ then there exist $a \in A, v \in A^+$ such that $av = w$. As we assumed w to be of minimal length, v is recognized by K . By Lemma C.6, there exist $t \in K, \tau \in K^*$ such that $(\varepsilon \cdot t) \xrightarrow{\tau} v$. Let $u = \varepsilon \cdot t$, $k \in \mathbb{N}$ be such that $t = \leftarrow^k u$.

As $|a^{k+1}| = k + 1 \leq \|K\|_\infty + 1 < |w|$, a^{k+1} is recognized by K . Let τ' be such that $\varepsilon \cdot \tau' = a^{k+1}$, then we have $\varepsilon \xrightarrow{\tau'} a^{k+1} \xrightarrow{\tau} au \xrightarrow{\tau} av = w$.

This contradicts the fact that w is not recognized by K . The property is proven. \blacktriangleleft

H Closure properties

Proof of Proposition 9.1 (Mirror)

► **Proposition 9.1** (Mirror). MK, AK and EAK are stable by mirror. EK, BK, BEK and BLK are not stable by mirror.

► **Lemma H.1.** MK, EAK and AK are stable under mirror.

Proof. For MK we simply observe that given K an MK keyboard, we have $(\tilde{K})^+ = \widetilde{K^+}$. As a consequence, the MK keyboard \tilde{K} recognizes the mirror of $\mathcal{L}(K)$.

For EAK and AK we define $\tilde{\cdot}$ the word morphism generated by

$$\overline{\bullet} = \blacktriangleleft \quad \overline{\blacktriangleleft} = \bullet \quad \overline{a} = a \blacktriangleleft \text{ if } a \in A$$

If $\langle u|v \rangle$ is a configuration, we write $\widetilde{\langle u|v \rangle} = \langle \widetilde{v}|\widetilde{u} \rangle$. We can show by a straightforward induction on n that for all sequence of elementary operations $\sigma_1 \dots \sigma_n$,

$$c_0 \xrightarrow{\sigma_1 \dots \sigma_n} c_n \iff \widetilde{c}_0 \xrightarrow{\overline{\sigma_1} \dots \overline{\sigma_n}} \widetilde{c}_n.$$

Let L be a language of EAK and $K = (T, F)$ a keyboard recognizing it. Let $\overline{K} = (\overline{T}, \overline{F})$ where the morphism is applied on all keys. For all $w \in A^*$, the execution $\langle \varepsilon|\varepsilon \rangle \xrightarrow{t_1 \dots t_n} w$ can be reversed into an execution $\langle \varepsilon|\varepsilon \rangle \xrightarrow{\overline{t_1} \dots \overline{t_n}} \widetilde{w}$ of \overline{K} and vice versa. As a result, $w \in L$ if and only if $\widetilde{w} \in \mathcal{L}(\overline{K})$, where $\mathcal{L}(\overline{K}) = \widetilde{L}$. Further, \overline{K} is an EAK keyboard, and is automatic if and only if K is automatic as well, showing the result for both AK and EAK. \blacktriangleleft

► **Lemma H.2.** BEK, BK and EK are not stable under mirror.

Proof. Let $L = b^*a$, we have $\tilde{L} = ab^*$. We have $b^*a \in \text{EK}$ (with the keyboard $(\{\mathbf{b}\}, \{\mathbf{a}\})$) and $b^*a \in \text{BK}$, with the keyboard $\{\leftarrow \mathbf{a}, \leftarrow \mathbf{ba}\}$.

We now show that $\tilde{L} \notin \text{BEK}$. Suppose there exists $K = (T, F)$ a BEK keyboard recognizing \tilde{L} . Since $w = ab^{\|K\|_\infty} \in \tilde{L}$, there exists $\tau \in T^*$, $t_f \in F$ yielding w . In particular, t_f only wrote some b and is thus equivalent to $\leftarrow^k b^n$ for some $k, n \in \mathbb{N}$.

By applying t_f from ε , we obtain b^n , which is impossible as $b^n \notin \tilde{L}$. As a result, $\tilde{L} \notin \text{BEK}$. We then have L in EK and BK, and $\tilde{L} \notin \text{BEK}$, proving the lemma. ◀

► **Lemma H.3.** BLK is not stable under mirror.

Proof. Let $L = a^*(b + b^2)$. We showed in the proof of Proposition 7.2 (EK $\not\subseteq$ BLK) that $L \notin \text{BLK}$. We then simply observe that $\tilde{L} = (b + b^2)a^*$ is recognized by the following BLK keyboard:

$$K = \{\leftarrow^2 \mathbf{a} \blacktriangleleft \mathbf{b}, \leftarrow^2 \mathbf{a} \blacktriangleleft \mathbf{bb}, \leftarrow^2 \mathbf{b}, \leftarrow^2 \mathbf{bb}\}.$$

◀

Proof of Proposition 9.2 (Intersection)

We give, for each keyboard language class \mathcal{C} , two languages of \mathcal{C} whose intersection is not in \mathcal{C} .

► **Lemma H.4.** The language $L = \{bw \mid w \in (a + b)^*, |w| \text{ odd}, aa \notin \text{Fact}(w)\}$ is not in EK.

Proof. Suppose there exists $K = (T, F)$ an EK keyboard recognizing L . Then $L = T^*F$. As all words in L are of even length, so are all keys in F .

Further, $(ba)^{\|K\|_\infty}$ is in L , thus accepted by K , and thus of the form $t_1 \cdots t_n f$ with $t_i \in T$ for all i , $f \in F$ and $n > 0$ (as its length is greater than $\|K\|_\infty$). As $|f|$ is even, t_n ends with an a (we can assume $t_n \neq \varepsilon$).

Similarly, $bb(ab)^{\|K\|_\infty}$ is in L , thus of the form $t'_1 \cdots t'_m f'$ with $t'_i \in T$ for all i , $f' \in F$ and $m > 0$. As $|f'|$ is an even suffix of $(ab)^{\|K\|_\infty}$, f' starts with an a . As a result, $t_n f'$ contains aa as a factor, and is thus not in L , yielding a contradiction. ◀

► **Lemma H.5.** MK and EK are not stable by intersection.

Proof. The language L from Lemma H.4 is the intersection of $(ab + ba + bb)^*$ and $(ba + b)^*$, which are both in MK. By Lemma H.4, their intersection is not in EK. ◀

► **Lemma H.6.** BK and BEK are not stable by intersection.

Proof. We consider again the language $L_{\diamond\blacklozenge}$ described in the proof of Proposition 7.4 (BK $\not\subseteq$ EAK). Recall that $L_{\diamond\blacklozenge}$ is defined as the language of $\{t_a, t_b\}$ with $t_a = \leftarrow a \diamond \blacklozenge$ and $t_b = \leftarrow \leftarrow b \diamond \blacklozenge$.

We also define L' the language $(a + b + \diamond)^+ \blacklozenge^2$, recognized by the BK keyboard

$$\{\leftarrow^2 a \blacklozenge^2, \leftarrow^2 b \blacklozenge^2, \leftarrow^2 \diamond \blacklozenge^2\}.$$

By Lemma F.1, the intersection of $L_{\diamond\blacklozenge}$ and L' is the language $((a\diamond)^*a + \varepsilon)(b\diamond)^+ \blacklozenge^2$. We now prove that this language is not in BEK.

Suppose there is a keyboard $K = (T, F)$ of BEK recognizing $L = L_{\diamond\blacklozenge} \cap L'$. We assume all keys of K to be in normal form (see Lemma 6.4 (Normal form)). As L contains $(a\diamond)^{2\|K\|_\infty+1}ab\diamond\blacklozenge^2$, there is a sequence of keys $\tau \in T^*$ writing $(a\diamond)^{\|K\|_\infty+1}w$ for some w .

Similarly as L contains $(b\diamond)^{(\|\tau\|+1)\|K\|_\infty+1}\blacklozenge^2$, there is a sequence of keys $\tau' \in T^*$ writing $(b\diamond)^{\|\tau\|+1}\|K\|_\infty+1}w'$ for some w' .

By applying $\tau'\tau$ we get, by Lemma 4.1 (Locality), a word starting with b and containing $\|K\|_\infty + 1$ a . Thus by then applying some $f \in F$, again by Lemma 4.1 (Locality), we get a word accepted by K starting with b and containing an a , which is impossible as there is no such word in L . \blacktriangleleft

► **Lemma H.7.** *No class containing LK is stable by intersection.*

Proof. We consider the following languages:

- $(a+b)^*c^*$, recognized by $\{a, b, c\blacktriangleleft\}$
- $a^*(b+c)^*$, recognized by $\{a, b\blacktriangleleft, c\blacktriangleleft\}$
- $\{w \in (a+b+c)^* \mid |w|_a = |w|_b\}$, recognized by $\{ab, ba, c, \blacktriangleleft\}$
- $\{w \in (a+b+c)^* \mid |w|_b = |w|_c\}$, recognized by $\{bc, cb, a, \blacktriangleleft\}$

Those languages are all in LK. Their intersection is $L = \{a^n b^n c^n \mid n \in \mathbb{N}\}$. We now show that L is not in BEAK.

Suppose there exists $K = (T, F)$ in BEAK recognizing L . Let $\tau f \in T^*F$ be the shortest execution of K accepting $w = a^{6\|K\|_\infty+1}b^{6\|K\|_\infty+1}c^{6\|K\|_\infty+1}$.

We have $\langle\varepsilon|\varepsilon\rangle \cdot \tau f = \langle u|v\rangle$ with $uv = w$. Clearly as $|uv| > \|K\|_\infty$, τ is non-empty, thus there exist $\tau' \in T^*$ and $t \in T$ such that $\tau = \tau't$.

We have either $a^{6\|K\|_\infty+1}b^{3\|K\|_\infty+1}$ as a prefix of u or $b^{3\|K\|_\infty+1}c^{6\|K\|_\infty+1}$ as a suffix of v . We assume that we are in the first case, as the other one is similar. Let $\langle u'|v'\rangle = \langle\varepsilon|\varepsilon\rangle \cdot \tau'$ and $\langle x|y\rangle = \langle\varepsilon|\varepsilon\rangle \cdot \tau'f$. By Lemma 4.1 (Locality), $a^{6\|K\|_\infty+1}b^{6\|K\|_\infty+1}$ is a prefix of u' , and again by Lemma 4.1 (Locality), $a^{6\|K\|_\infty+1}b$ is a prefix of x . As xy is accepted by K , $xy \in L$, hence

$$xy = a^{6\|K\|_\infty+1}b^{6\|K\|_\infty+1}c^{6\|K\|_\infty+1} = w.$$

This contradicts the minimality of τf . As a result, L is not in BEAK. \blacktriangleleft

► **Proposition 9.2 (Intersection).** *None of the keyboard language classes are stable by intersection.*

Proof. We proved in Lemma H.5 that MK and EK are not stable by intersection, then in Lemma H.6 that neither are BK and BEK. We finally proved it in Lemma H.7 for the rest of the classes. \blacktriangleleft

Proof of Proposition 9.3 (Union)

► **Proposition 9.3 (Union).** *None of the keyboard language classes are stable by union.*

We decompose the proof into several parts.

To start with, we consider the languages a^* and b^* , both in MK, and prove that their union is neither in BLEK nor in EAK.

► **Lemma H.8.** *The language $L = a^* + b^*$ is not in BLEK.*

Proof. Suppose there exists a keyboard $K = (T, F)$ of BLEK recognizing L . Then there exists $\tau_a \in T^*$, $f_a \in F$ such that $\langle \varepsilon | \varepsilon \rangle \cdot \tau_a f_a = \langle u_a | v_a \rangle$ with $u_a v_a = a$.

There also exists $\tau_b \in T^*$, $f_b \in F$ such that $\langle \varepsilon | \varepsilon \rangle \cdot \tau_b f_b = \langle u_b | v_b \rangle$ with $u_b v_b = b^{1+\|K\|_\infty(|\tau_a|+2)}$.

By Lemma 4.1 (Locality) applying τ_b to $\langle \varepsilon | \varepsilon \rangle$ yields a configuration with at least $1 + \|K\|_\infty(|\tau_a| + 1)$ b . We apply $\tau_b \tau_a f_a$ to $\langle \varepsilon | \varepsilon \rangle$, by Theorem 6.10 (BLEK fundamental) the resulting configuration contains an a , and as $\tau_a f_a$ can only erase at most $(|\tau_a| + 1)\|K\|_\infty$ letters, it contains a b . This is impossible as the resulting word should be in L . \blacktriangleleft

► **Lemma H.9.** *The language $L = a^* + b^*$ is not in EAK.*

Proof. Suppose there exists $K = (T, F)$ a keyboard of EAK recognizing L . As $a^{\|K\|_\infty+1}$ and $b^{\|K\|_\infty+1}$ are both in L , there exist $t_a, t_b \in T$ such that t_a writes an a and t_b a b (and those letters are never erased as we do not have \leftarrow). Let $f \in F$, $t_a t_b f$ writes a word containing both a and b , thus not in L . \blacktriangleleft

Proof that BAK and BEAK are not stable under union.

We define the language $L = L_a \cup L_b$ with $L_a = \{a^n c a^n \mid n \in \mathbb{N}\}$ and $L_b = \{b^n c b^n \mid n \in \mathbb{N}\}$ and prove that L is not in BEAK. Note that L_a and L_b are in BAK as they are recognized by $\{\leftarrow c, \leftarrow aca \blacktriangleleft\}$ and $\{\leftarrow c, \leftarrow bcb \blacktriangleleft\}$, respectively.

Suppose we have a keyboard $K = (T, F)$ of BEAK recognizing L .

We start by proving that there is an execution of K leading to a configuration with the cursor far from the edges.

► **Lemma H.10.** *Let $M \in \mathbb{N}$, there is a sequence of keys $\tau_a \in T^*$ such that $\langle \varepsilon | \varepsilon \rangle \cdot \tau_a = \langle u_a | v_a \rangle$ with $|u_a| > M$ and u_a starts with $\|K\|_\infty + 1$ a .*

There is also a sequence of keys $\tau_b \in T^$ such that $\langle \varepsilon | \varepsilon \rangle \cdot \tau_b = \langle u_b | v_b \rangle$ with $|u_b| > M$ and u_b starts with $\|K\|_\infty + 1$ b .*

Proof. As $w = a^{M+4\|K\|_\infty} c a^{M+4\|K\|_\infty}$ is in the language, there exists $\tau \in T^*$ and $f \in F$ such that $\langle \varepsilon | \varepsilon \rangle \cdot \tau f = \langle x | y \rangle$ with $w = xy$. Let $\langle u | v \rangle = \langle \varepsilon | \varepsilon \rangle \cdot \tau$. We can assume τ to be of minimal length. Clearly τ is not empty, thus let $\tau' \in T^*, t \in T$ be such that $\tau = \tau' t$. Let $\langle u' | v' \rangle = \langle \varepsilon | \varepsilon \rangle \cdot \tau'$.

Suppose $|u| \leq M$, then $|x| \leq M + \|K\|_\infty$ by Lemma 4.3 (Bounds on the lengths), hence $|y| \geq M + 7\|K\|_\infty + 1$. Then $a^{3\|K\|_\infty} c a^{M+4\|K\|_\infty}$ is a suffix of y , and by Lemma 4.1 (Locality), $a^{2\|K\|_\infty} c a^{M+4\|K\|_\infty}$ is a suffix of v' . Again by Lemma 4.1 (Locality), $c a^{M+4\|K\|_\infty}$ is a suffix of the word given by $\langle \varepsilon | \varepsilon \rangle \cdot \tau' f$. As this word is in L , it has to be w , contradicting the minimality hypothesis on τ .

As a result, $|u| \geq M$. Another application of Lemma 4.1 (Locality) gives that u starts with $\|K\|_\infty + 1$ a . We thus set $u_a = u$, $v_a = v$ and $\tau_a = \tau$.

A similar proof shows the second part of the lemma. \blacktriangleleft

The next lemma states that the keys of K erase more than they write, and thus the number of letters of the configuration can only increase when the cursor is close to the left end of the word.

► **Lemma H.11.** *Every key $t \in T$ contains at least as many \leftarrow as letters, i.e., $|t|_{\leftarrow} \geq |t|_a + |t|_b + |t|_c$.*

Proof. We consider τ_a, τ_b, u_a, u_b and v_a, v_b as in Lemma H.10, with $M = 3(\|K\|_\infty + 4)^2$. Suppose there exists $t \in T$ such that $|t|_{\leftarrow} < |t|_a + |t|_b + |t|_c$. Then by applying t $3(\|K\|_\infty + 4)$ times from $\langle u_a | v_a \rangle$ we write either $\|K\|_\infty + 2 a$, $\|K\|_\infty + 2 b$ or $\|K\|_\infty + 2 c$.

If applying t $3(\|K\|_\infty + 4)$ times effectively writes $\|K\|_\infty + 2 b$ or $\|K\|_\infty + 2 c$, then from $\langle u_a | v_a \rangle$ we get a configuration starting with $\|K\|_\infty + 1 a$ (by Lemma 4.1 (Locality)) and containing at least $\|K\|_\infty + 2 b$ or c , which after applying some final key $f \in F$ still contains an a and two b or c . This is impossible as the resulting word should be in L .

Similarly, if applying t $3(\|K\|_\infty + 4)$ times effectively writes $\|K\|_\infty + 2 a$, then from $\langle u_b | v_b \rangle$ we get a configuration starting with $\|K\|_\infty + 1 b$ (by Lemma 4.1 (Locality)) and containing at least $\|K\|_\infty + 2 a$, which after applying some final key $f \in F$ still contains a b and two a . This is impossible as the resulting word should be in L .

Thus there is no such key. \blacktriangleleft

We now show that the number of letters in the configuration cannot increase too much while staying far from the center.

► **Lemma H.12.** *Let $\tau_0 \in T^*, t_1, \dots, t_n \in T$. For all $0 \leq i \leq n$ we define $\langle u_i | v_i \rangle = \langle \varepsilon | \varepsilon \rangle \cdot \tau_0 t_1 \cdots t_i$.*

If $|u_n| + |v_n| \geq |u_0| + |v_0| + 4\|K\|_\infty + 1$ then there exists $0 \leq i \leq n$ such that $\|u_i| - |v_i\| \leq 8\|K\|_\infty + 2$.

Proof. Suppose $|u_n| + |v_n| \geq |u_0| + |v_0| + 4\|K\|_\infty + 1$ and for all $0 \leq i \leq n$, $\|u_i| - |v_i\| > 8\|K\|_\infty + 2$.

Then as $\|u_{i+1}| - |u_i\|$ and $\|v_{i+1}| - |v_i\|$ are both at most $\|K\|_\infty$, and thus $|u_i| - |v_i|$ always has the same sign. We assume it to be positive, the other case is similar.

Let $f \in F$, for all i let $\langle u_i^f | v_i^f \rangle = \langle u_i | v_i \rangle \cdot f$. We have by Lemma 4.3 (Bounds on the lengths) $|u_i^f| - |v_i^f| \geq 6\|K\|_\infty + 2$. As $u_i^f v_i^f \in L$, we thus have u_i^f of the form $a^m c a^p$ or $b^m c b^p$, with $p \geq 3\|K\|_\infty + 1$, because $(m+p) - (m-p) = |u_i^f| - |v_i^f|$. We assume the first case as the other one is similar.

By Lemma 4.1 (Locality), $a^m c a^{2\|K\|_\infty + 1}$ is a prefix of u_i , and $a^m c a^{\|K\|_\infty + 1}$ a prefix of u_{i+1} , and $a^m c a$ a prefix of u_{i+1}^f . Therefore we must have $u_{i+1}^f v_{i+1}^f = a^m c a^m$.

As a result, we have $u_n^f v_n^f = u_0^f v_0^f$, and therefore by Lemma 4.3 (Bounds on the lengths), $\|u_n v_n| - |u_0 v_0\| \leq 4\|K\|_\infty$, contradicting the hypothesis. \blacktriangleleft

We showed that the number of letters could only increase with the cursor close to the left end of the word, and that we can only increase the number of a by a bounded number while staying far from the center.

Thus in order to write a very long word $a^M c a^M$, we need to go back and forth between the left edge and the center. We isolate a moment in the execution at which the cursor is far from the center and the left edge, goes to the left edge, and goes back while increasing the number of letters.

We end up with two configurations with different numbers of letters. As we are far from the edge in both, a final key f has the same behaviour (adds and erases as many letters) in both. Thus the word obtained afterwards cannot be equal. However we are far from the center and we have a same suffix $c a^M$, thus the two words have to be equal, hence a contradiction.

► **Lemma H.13.** *No keyboard of BEAK recognizes L .*

Proof. Let $M = 30\|K\|_\infty$. Let $\tau = t_1 \cdots t_n t_f \in T^*F$ be an execution of K recognizing $a^M c a^M$. For all $0 \leq i \leq n$ we define $\langle u_i | v_i \rangle = \langle \varepsilon | \varepsilon \rangle \cdot t_1 \cdots t_i$. Let $f \in F$, we define for all $0 \leq i \leq n$ $\langle u_i^f | v_i^f \rangle = \langle u_i | v_i \rangle \cdot f$.

Let i be the minimal index such that $|u_j v_j| \geq 10\|K\|_\infty$ for all $j \geq i$ and $t_i \neq \varepsilon$. In particular we have $|u_i v_i| \leq 11\|K\|_\infty$.

By Lemma H.11, $|u_{j+1} v_{j+1}| - |u_j v_j|$ is negative or null whenever $|u_j| \geq \|K\|_\infty$ (as t_j contains at least as many \leftarrow as letters and every \leftarrow is applied effectively).

Let I be the set of indices $j > i$ such that $|u_j| > \|K\|_\infty$ and $|v_j| - |u_j| > 2\|K\|_\infty$.

The size of the configuration increases by at least $9\|K\|_\infty$ between the applications of t_i and t_f . By Lemma H.11, the size of the configuration can only increase when the left part of the configuration has length at most $\|K\|_\infty$.

As a consequence, by Lemma H.12, there exist $j_1 < j_2$ such that $|v_{j_1}| - |u_{j_1}|, |v_{j_2}| - |u_{j_2}| \leq 8\|K\|_\infty + 2$ and $|u_{j_1} v_{j_1}| < |u_{j_2} v_{j_2}|$.

We take j_1 maximal and j_2 minimal for this property. We obtain that for all $j_1 < j < j_3$, $|v_{j_3}| - |u_{j_3}| > 8\|K\|_\infty + 2 > 2\|K\|_\infty$.

Note that as $|u_j v_j| > 10\|K\|_\infty$ for all $j > i$, we have that there exists $i_1, i_2 \in I$ such that $j_1 < i_1 < i_2 < j_3$. We choose i_1 minimal and i_2 maximal for that property. We cannot have any $j_1 < i' < i_1$ such that $|u_{i'}| \leq \|K\|_\infty$ as otherwise we would necessarily have some index of I between j_1 and i' , contradicting the minimality of i_1 . Similarly, we cannot have $i_2 < i' < j_2$ such that $|u_{i'}| \leq \|K\|_\infty$.

We therefore have $|u_{i_1} v_{i_1}| \leq |u_{j_1} v_{j_1}| < |u_{j_2} v_{j_2}| \leq |u_{i_2} v_{i_2}|$ (the second inequality holds by construction of j_1 and j_2).

We obtain that:

- $\|K\|_\infty \leq |u_{i_1}|, |u_{i_2}|$
- $|u_{i_1} v_{i_1}| \neq |u_{i_2} v_{i_2}|$
- For all $i_1 < j < i_2$, $|u_j| < |v_j| - 2\|K\|_\infty$ (by definition of j_1 and j_2).

Let $f \in F$, by an argument similar to the proof of Lemma H.12, we have that $u_{i_1}^f v_{i_1}^f = u_{i_2}^f v_{i_2}^f$ as we stay away from the center and thus the part of the word of the form $c a^m$ is unchanged.

However, in both cases we applied the final key f far from the edges, thus by applying Lemma 4.4 (Length evolution without left edge effects) we get $|u_{i_1} v_{i_1}| = |u_{i_2} v_{i_2}|$, yielding a contradiction.

As a result there is no BEAK keyboard recognizing L . ◀

Proof of Proposition 9.4 (Intersection emptiness problem)

► **Proposition 9.4** (Intersection emptiness problem). *The following problem is undecidable:*

Input: K_1, K_2 two LK keyboards.

Output: Is $\mathcal{L}(K_1) \cap \mathcal{L}(K_2)$ empty?

Proof. We reduce the Post Correspondence Problem. Let $(u_i, v_i)_{i \in \llbracket 1, n \rrbracket}$ be a PCP instance. For all $i \in \llbracket 1, n \rrbracket$, let u_i^\blacklozenge and v_i^\blacklozenge be u_i and v_i where we added a \blacklozenge at the right of every letter, i.e., if $u_i = a_1 a_2 \cdots a_n$ then $u_i^\blacklozenge = a_1 \blacklozenge a_2 \blacklozenge \cdots a_n \blacklozenge$.

We set for all $i \in \llbracket 1, n \rrbracket$ $t_i = u_i^\blacklozenge v_i^\blacklozenge \blacktriangleleft^{2|v_i|}$. Let

$$K_{pal} = \{aa\blacktriangleleft \mid a \in A \cup \{\blacklozenge\} \cup \{\varepsilon\}\}$$

K_{pal} recognizes the language of even palindromes over $A \cup \{\blacklozenge\}$.

Now let

$$K = \{t_i \mid i \in \llbracket 1, n \rrbracket\}.$$

We show that $\mathcal{L}(K) \cap \mathcal{L}(K_{pal}) \neq \emptyset$ if and only if $(u_i, v_i)_{i \in \llbracket 1, n \rrbracket} \in \text{PCP}$. A straightforward induction on $k \in \mathbb{N}$ shows that for all $i_1, \dots, i_k \in \llbracket 1, n \rrbracket$,

$$\langle \varepsilon | \varepsilon \rangle \cdot (t_{i_1} \dots t_{i_k}) = \left\langle u_{i_1}^\blacklozenge \dots u_{i_k}^\blacklozenge \middle| \widetilde{v_{i_k}^\blacklozenge} \dots \widetilde{v_{i_1}^\blacklozenge} \right\rangle.$$

Note that if $k > 0$, $u_{i_1}^\blacklozenge \dots u_{i_k}^\blacklozenge \widetilde{v_{i_k}^\blacklozenge} \dots \widetilde{v_{i_1}^\blacklozenge}$ has exactly one $\blacklozenge\blacklozenge$ factor, with the last letter of $u_{i_k}^\blacklozenge$ and the first one of $v_{i_1}^\blacklozenge$. As a consequence, it is an even palindrome if and only if $u_{i_1}^\blacklozenge \dots u_{i_k}^\blacklozenge = \widetilde{v_{i_k}^\blacklozenge} \dots \widetilde{v_{i_1}^\blacklozenge} = v_{i_1}^\blacklozenge \dots v_{i_k}^\blacklozenge$.

All that is left to show is that $u_{i_1}^\blacklozenge \dots u_{i_k}^\blacklozenge = v_{i_1}^\blacklozenge \dots v_{i_k}^\blacklozenge$ if and only if $u_{i_1} \dots u_{i_k} = v_{i_1} \dots v_{i_k}$. The left to right direction is shown by projecting the words on A , the right to left one by observing that $u_{i_1}^\blacklozenge \dots u_{i_k}^\blacklozenge$ and $v_{i_1}^\blacklozenge \dots v_{i_k}^\blacklozenge$ are the images of $u_{i_1} \dots u_{i_k}$ and $v_{i_1} \dots v_{i_k}$ under the morphism associating $a\blacklozenge$ to each letter $a \in A$. As a result, $\mathcal{L}(K)$ contains an even palindrome if and only if there exists $k > 0$ and $i_1, \dots, i_k \in \llbracket 1, n \rrbracket$ such that $u_{i_1} \dots u_{i_k} = v_{i_1} \dots v_{i_k}$ ◀

Les claviers, un modèle de calcul

Yoan GÉRAN 

ENS Paris-Saclay, France

Bastien LABOUREIX 

ENS Paris-Saclay, France

Corto MASCLE 

ENS Paris-Saclay, France

Valentin D. RICHARD  

ENS Paris-Saclay, France

Résumé

Nous introduisons ici une nouvelle représentation de langages, les *claviers*. On se munit d'un ensemble d'opérations élémentaires (ajout/effacement d'une lettre, déplacement à droite/gauche,...), et on définit un clavier comme un ensemble de suites finies d'opérations élémentaires, appelées touches. Son langage va être l'ensemble des mots obtenus en appliquant une suite quelconque de touches. Contrairement à des modèles de calcul classiques comme les machines de Turing ou les grammaires, toutes les touches peuvent être appliquées à tout moment.

Nous nous intéressons ici à plusieurs problèmes fondamentaux sur ce modèle de calcul. En premier lieu nous définissons différentes classes de claviers en faisant varier l'ensemble des opérations élémentaires autorisées, et nous comparons l'expressivité des classes de langages obtenues entre elles. Nous comparons également ces classes à des classes de langages connues, notamment les langages réguliers, algébriques et contextuels.

Nous étudions également certains problèmes de décision découlant naturellement de l'étude des claviers. Les deux plus importants sont le *problème du mot*, consistant à tester si un clavier peut engendrer un mot donné, et le problème de l'universalité, consistant à tester si un clavier peut engendrer tout mot sur son alphabet.

Nous obtenons que toutes les classes étudiées sont différentes, et nous caractérisons les classes incluses dans les rationnels et les algébriques. Nous déduisons des inclusions de certaines classes dans des classes de langages connues la décidabilité de certains problèmes de décision évoqués plus haut.

Il semble ainsi que l'expressivité des claviers soit orthogonale à celle de nombreux modèles connus. En effet, les claviers sont limités par leur absence de mémoire, mais cette faiblesse peut être compensée par l'ajout d'opérations élémentaires comme l'effacement ou les déplacements, difficiles à simuler dans des modèles comme les automates sans gagner l'expressivité des machines de TURING.

2012 ACM Subject Classification Theory of computation

Keywords and phrases formal languages, models of computation, automata theory

Acknowledgements Nous remercions Pierre Béaur, Lucas Buéri, Jean-Baptiste Daval, Paul Gastin, Colin Geniet, Valentin Maestracci and Clément Théron pour leurs conseils et leurs retours très pertinents.

1 Introduction

On s'intéresse ici à la modélisation mathématique d'un clavier défectueux, où les différentes touches ne produisent pas forcément l'effet escompté. Par exemple, la touche **g** peut écrire le mot « rapide » et la touche **h** efface les trois caractères à gauche du curseur. Dans cette situation, lorsque l'utilisateur veut écrire le mot « rap », il lui suffit d'appuyer sur **g** puis sur **h**.

Mais peut-on tout écrire ? Peut-on écrire un mot donné ? Tout dépend de notre clavier ! Nous cherchons donc un algorithme de calcul de la suite de touche à taper pour obtenir un mot donné. Cela paraît relativement simple à première vue lorsque les seules opérations effectuées par les touches sont l'écriture de lettres. Nous avons ainsi ajouté le retour arrière et les flèches directionnelles, qui compliquent significativement le problème.

Nous nous sommes intéressés à la notion de langage de clavier, à savoir l'ensemble des mots qui peuvent être écrits à partir d'un ensemble fini de touches défectueuses. Les différentes classes de clavier (selon que l'on autorise ou non le retour arrière ou les flèches directionnelles) forment une hiérarchie de langages et les ajouts d'opérations augmentent strictement l'expressivité des claviers.

Par exemple, nous montrons dans ce papier que les claviers sans flèche directionnelle ne peuvent exprimer que des langages rationnels. Les claviers où la flèche droite est interdite (mais la flèche gauche est autorisée) sont quant à eux tous algébriques.

Il semble ainsi que l'expressivité des claviers soit orthogonale à celle de nombreux modèles connus. En effet, les claviers sont limités par leur absence de mémoire et leur incapacité à lire, mais cette faiblesse peut être compensée par l'ajout d'opérations élémentaires comme l'effacement ou les déplacements, difficiles à simuler dans des modèles classiques comme les automates.

Le modèle existant le plus proche à notre connaissance est celui des automates oubliieux (*forgetting automata*), ainsi que définis par Jančar, Mráz et Plátek [3]. Ceux-ci autorisent des opérations similaires à celles que nous considérons pour les claviers, mais s'en distinguent car les claviers ne peuvent pas lire et ne possèdent pas d'états.

Nous commencerons par définir la sémantique des claviers via la notion d'opérations élémentaires et de configurations. Nous introduirons également deux types de clavier : manuels et automatiques. Nous donnerons ensuite quelques propriétés fondamentales des claviers, dans le cas général ou pour des classes plus restreintes. Enfin, nous parlerons de la hiérarchie des langages de clavier et montrerons qu'elle est stricte.

2 Définitions et notations

2.1 Mots, langages et automates — Rappels

Dans cette section, nous fixons les notations utilisées dans le papier. Soit A un alphabet fini fixé.

► **Definition 1 (Mot).** *Un mot $w = a_1 \dots a_n$ est une suite finie sur A . On note w_i ou $w[i]$ la $i^{\text{e}}\text{tterre de } w$. On note $|w| \triangleq N$ la longueur de w et $|w|_a$ le nombre d'occurrences de la lettre a dans w .*

On désigne par \tilde{w} le miroir de w . Étant donnés deux indices $1 \leq i \leq j \leq n$, on note $w[i, j]$ le mot $w_i \dots w_j$. Si $i > j$ alors $w[i, j]$ désigne le mot vide.

► **Definition 2.** *Pour tout $k \in \mathbb{N}$, on note A^k l'ensemble des mots de longueur k ,*

$$A^{\leq k} = \bigcup_{0 \leq i \leq k} A^i \text{ et } A^* = \bigcup_{k \in \mathbb{N}} A^k.$$

► **Definition 3 (Distance maximale entre deux a).** *On définit $d_a(u)$ comme le nombre maximal de lettres entre deux a dans u . Formellement,*

$$d_a(u) = \max\{|w| \mid awa \in \text{Fact}(u)\}.$$

avec la convention $\max(\emptyset) = -\infty$.

On note $\text{Pref}(w)$ l'ensemble des préfixes de w , $\text{Suff}(w)$ l'ensemble de ses suffixes et $\text{Fact}(w)$ l'ensemble de ses facteurs. Un sous-mot de w est un mot de la forme $w_{i_1} \dots w_{i_k}$ avec i_1, \dots, i_k une suite strictement croissante d'éléments de $\{1, \dots, |w|\}$, et on note $\text{SM}(w)$ l'ensemble des sous-mots de w .

On représentera un automate fini sur A par un quadruplet $(Q, \Delta, \text{Init}, \text{Fin})$ avec Q un ensemble fini d'états, $\Delta : Q \times A \rightarrow 2^Q$ une fonction de transition, Init et Fin des ensembles d'états initiaux et finals. On étend Δ à $Q \times A^*$ en posant, pour tout $q \in Q$, $w \in A^*$ et $a \in A$, $\Delta(q, \varepsilon) = \{q\}$ et $\Delta(q, wa) = \Delta(\Delta(q, w), a)$. Dans la suite on pourra autoriser les ε -transitions pour simplifier les preuves.

On représentera un automate à pile sur A par un tuple $(Q, \Gamma, \perp, \Delta, \text{Init}, \text{Fin})$ avec

- Q un ensemble fini d'états ;
- Γ un alphabet de pile fini ;
- $\perp \in \Gamma$ un symbole de fond de pile ;
- $\Delta : Q \times A \times (\Gamma \cup \{-\})^2 \rightarrow 2^Q$ une fonction de transition ;
- Init et Fin des ensembles d'états initiaux et finals.

L'acceptation se fait par état final et pile vide et les transitions de Δ sont sous la forme

$$s_1 \xrightarrow[\text{op}_1, \text{op}_2]{a} s_2$$

avec

- $\text{op}_1 = \uparrow \gamma$ si on dépile un symbole $\gamma \in \Gamma$, et $\text{op}_1 = -$ si on ne dépile rien.
- $\text{op}_2 = \downarrow \gamma$ si on empile un symbole $\gamma \in \Gamma$, et $\text{op}_2 = -$ si on n'empile rien.

2.2 Définitions des claviers

Notre objectif est de modéliser l'écriture d'un mot à partir d'une liste d'actions écrivant des symboles. Les caractères de A sont les lettres que nous pourrons écrire. Nous considérons également les symboles spéciaux suivants :

- le retour arrière \leftarrow ;
- La flèche gauche \blacktriangleleft ;
- La flèche droite \blacktriangleright .

Nous notons alors S l'ensemble de tous les symboles possibles ;

$$S \triangleq A \cup \{\leftarrow, \blacktriangleleft, \blacktriangleright\}.$$

► **Definition 4** (Configuration). Nous appelons configuration un élément (u, v) de $A^* \times A^*$. Nous notons $\mathcal{C}(A)$ l'ensemble des configurations sur A , et \mathcal{C} en l'absence d'ambiguïté.

► **Remark 5.** Intuitivement, être dans la configuration (u, v) correspond à avoir uv écrit sur la zone de texte et avoir le curseur placé entre u et v . Nous noterons les configurations $\langle u|v \rangle$ (où $|$ représente le curseur).

Il peut être intéressant de regarder les lettres d'une configuration du point de vue du curseur, ce qui nous mène à cette définition.

► **Definition 6.** Soit $\langle u|v \rangle$ une configuration. On définit $\langle u|v \rangle_i$ par $\langle u|v \rangle_i = \tilde{u}_i$ si $i < 0$ et v_i si $i > 0$.

2.2.1 Opérations élémentaires

► **Definition 7** (Opération élémentaire). Nous appelons opération élémentaire de S un élément de S .

► **Definition 8** (Action). L'action $\langle u|v \rangle \cdot s$ d'une opération élémentaire s sur une configuration $\langle u|v \rangle$ est définie de la manière suivante.

$$\begin{aligned} \langle u|v \rangle \cdot a &= \langle ua|v \rangle \text{ si } a \in A. \\ \langle \varepsilon|v \rangle \cdot \leftarrow &= \langle \varepsilon|v \rangle \quad \text{et} \quad \langle u'a|v \rangle \cdot \leftarrow = \langle u'|v \rangle \\ \langle \varepsilon|v \rangle \cdot \blacktriangleleft &= \langle \varepsilon|v \rangle \quad \text{et} \quad \langle u'a|v \rangle \cdot \blacktriangleleft = \langle u'|av \rangle \\ \langle u|\varepsilon \rangle \cdot \blacktriangleright &= \langle u|\varepsilon \rangle \quad \text{et} \quad \langle u|av' \rangle \cdot \blacktriangleright = \langle ua|v' \rangle \end{aligned}$$

Soit $s \in S$. Nous noterons $\langle u|v \rangle \xrightarrow{s} \langle u'|v' \rangle$ pour $\langle u|v \rangle \cdot s = \langle u'|v' \rangle$.

► **Remark 9.** Une opération élémentaire correspond à une action de base. Ainsi, une opération élémentaire de A écrit une lettre de A , \blacktriangleleft et \blacktriangleright permettent de se déplacer, et \leftarrow permet de supprimer une lettre.

► **Remark 10.** Les touches \leftarrow et \blacktriangleleft ne font rien dans une configuration de la forme $\langle \varepsilon|v \rangle$ (quand le curseur est sur le bord gauche du mot). De même, la touche \blacktriangleright ne fait rien dans une configuration de la forme $\langle u|\varepsilon \rangle$ (quand le curseur est sur le bord droit du mot).

► **Example 11.** La suite d'opérations élémentaires $\leftarrow, a, \blacktriangleright, \blacktriangleright, b$, permet de passer de la configuration $\langle c|d \rangle$ à la configuration $\langle adb|\varepsilon \rangle$.

$$\begin{aligned} \langle c|d \rangle &\xrightarrow{\leftarrow} \langle \varepsilon|d \rangle \\ &\xrightarrow{a} \langle a|d \rangle \\ &\xrightarrow{\blacktriangleright} \langle ad|\varepsilon \rangle \\ &\xrightarrow{\blacktriangleright} \langle ad|\varepsilon \rangle \\ &\xrightarrow{b} \langle adb|\varepsilon \rangle. \end{aligned}$$

Cette même suite d'opérations élémentaires permet de passer de $\langle c|de \rangle$ à $\langle adeb|\varepsilon \rangle$, avec cette fois-ci deux lettres entre a et b .

► Remark 12. Dans la suite, nous confondrons allègrement « action » et « opération élémentaire ».

► **Definition 13** (Sémantique efficiente). *Une sémantique alternative des opérations élémentaire, que nous appellerons sémantique efficiente, consiste à interdire l'application d'un retour arrière ou d'une flèche gauche sur le bord gauche d'un mot, ou d'une flèche droite sur le bord droit.*

Formellement, on définit cette fois les opérations élémentaires comme des relations de réécriture sur les configurations. Pour tous $u, v \in A^, a \in A$ on a :*

$$\begin{aligned} \langle u|v \rangle &\xrightarrow{a} e \langle ua|v \rangle \\ \langle u'a|v \rangle &\xleftarrow{e} \langle u'|v \rangle \\ \langle u'a|v \rangle &\xrightarrow{\blacktriangleleft} e \langle u'|av \rangle \\ \langle u|av' \rangle &\xrightarrow{\blacktriangleright} e \langle ua|v' \rangle \end{aligned}$$

On définit alors \odot par $\langle u|v \rangle \odot s = \langle u'|v' \rangle$ si et seulement si $\langle u|v \rangle \xrightarrow{s} e \langle u'|v' \rangle$.

2.2.2 Touches

► **Definition 14** (Touche). *Une touche est un élément de S^* ; c'est un mot sur les opérations élémentaires (et donc nous pouvons également voir les touches comme des suites d'actions élémentaires).*

Nous notons $\mathcal{T}(S)$ l'ensemble des touches sur S . Lorsque S est donné par le contexte, nous noterons simplement \mathcal{T} l'ensemble des touches.

► **Definition 15** (Action d'une touche). *L'action d'une touche de $\mathcal{T}(S)$ sur une configuration est définie inductivement par*

$$\begin{cases} \langle u|v \rangle \cdot \varepsilon = \langle u|v \rangle \\ \langle u|v \rangle \cdot st = (\langle u|v \rangle \cdot s) \cdot t \end{cases}$$

Nous étendons également l'écriture $\langle u|v \rangle \xrightarrow{t} \langle u'|v' \rangle$ pour $\langle u|v \rangle \cdot t = \langle u'|v' \rangle$ aux touches.

► **Example 16.** L'action de la touche $\leftarrow mi$ permet de passer de la configuration $\langle a|ne \rangle$ à la configuration $\langle mi|ne \rangle$.

► Remark 17. Appliquer une touche revient à appliquer l'action de chaque touche élémentaire la composant.

► Remark 18. Nous définissons de même l'action d'une touche pour la sémantique efficiente par $\langle u|v \rangle \odot \varepsilon = \langle u|v \rangle$ et $\langle u|v \rangle \odot st = \langle u_2|v_2 \rangle$ si et seulement s'il existe $\langle u_1|v_1 \rangle$ telle que

$$\langle u|v \rangle \odot s = \langle u_1|v_1 \rangle \wedge \langle u_1|v_1 \rangle \odot t = \langle u_2|v_2 \rangle.$$

Nous utiliserons également la notation $\langle u|v \rangle \xrightarrow{t} e \langle u_2|v_2 \rangle$.

► Remark 19. Dans la suite, nous considérerons parfois des suites de touches $\tau = t_1 \dots t_n \in \mathcal{T}(S)^*$. L'action de τ , en sémantique classique ou en sémantique efficiente, doit alors être vue comme l'action de la touche correspond à la concaténation des t_i . Cela correspond à appliquer chaque touche l'une après l'autre.

► **Definition 20** (Taille d'une touche et nombre d'occurrences). Soit t une touche. La taille de t , notée $|t|$ est sa longueur en tant que mot.

De plus, pour $s \in S$, on note $|t|_s$ le nombre d'occurrences du symbole s dans t .

De même, la taille d'une configuration $\langle u|v \rangle$ est définie par $|\langle u|v \rangle| = |u| + |v|$.

► **Definition 21** (Équivalence contextuelle de touches). Soit $t_1, t_2 \in S^*$ deux touches quelconques. On dit que t_1 et t_2 sont équivalentes (contextuellement), et on note $t_1 \sim t_2$, si, pour toute configuration $\langle u|v \rangle$, on a

$$\langle u|v \rangle \cdot t_1 = \langle u|v \rangle \cdot t_2.$$

► **Example 22.** Ainsi $a \leftarrow b \sim b$. Mais on ne peut pas dire que $\blacktriangleleft \blacktriangleright \sim \varepsilon$, car ces touches ne donnent pas la même configuration à partir de $\langle \varepsilon|a \rangle$.

2.2.3 Claviers automatiques

► **Definition 23** (Clavier automatique). Soit S un ensemble d'opérations élémentaires. Un clavier automatique sur S est un sous-ensemble fini de $\mathcal{T}(S)$.

► **Definition 24** (Exécution d'un clavier automatique). Soit K un clavier automatique et $c_0 = \langle u_0|v_0 \rangle$ une configuration dite initiale. Une exécution de K sur c_0 est une suite finie $\rho = ((t_1, c_1), \dots, (t_{n+1}, c_{n+1})) \in (K \times \mathcal{C})^{n+1}$ avec $n \in \mathbb{N}$ telle que

$$\forall i \in \llbracket 1 ; n+1 \rrbracket, c_{i-1} \xrightarrow{t_i} c_i.$$

Si cela n'est pas précisé, une exécution porte sur la configuration initiale vide $\langle \varepsilon|\varepsilon \rangle$.

► **Definition 25** (Reconnaissance par un clavier automatique). Soit K un clavier automatique et $w \in A^*$. On dit que w est reconnu par K s'il existe une exécution de K de dernière configuration $\langle u|v \rangle$ telle que $uv = w$.

► **Example 26.** Soit $K_1 = \{\text{aa}\}$ et soit $n \in \mathbb{N}^*$. K_1 reconnaît le mot a^{2n} avec l'exécution

$$\langle \varepsilon|\varepsilon \rangle \xrightarrow{\text{aa}} \langle a^2|\varepsilon \rangle \xrightarrow{\text{aa}} \langle a^4|\varepsilon \rangle \dots \xrightarrow{\text{aa}} \langle a^{2n}|\varepsilon \rangle.$$

► **Remark 27.** Attention, on demande qu'une exécution soit non vide ; il faut donc appuyer sur au moins une touche du clavier. En particulier, ε n'est pas toujours reconnu par un clavier automatique.

► **Definition 28** (Langage d'un clavier automatique). Soit K un clavier automatique. On appelle langage de K , noté $\mathcal{L}(K)$, l'ensemble des mots w qui sont reconnus par K .

► **Example 29.** Ainsi, $\mathcal{L}(K_1) = (aa)^+$ (avec K_1 vu en Exemple 26).

2.2.4 Claviers manuels

À première vue, les claviers automatiques paraissent un peu limités. Il semble par exemple impossible d'obtenir un clavier de langage $(aa)^*a$. En effet, nous aimeraisons écrire deux a (une touche **aa**) et une touche **a** qui serait utilisée à la fin... Toutefois, les claviers n'ont pas de notion de fin de saisie.

► **Definition 30** (Clavier manuel). Un clavier manuel sur S est un couple d'ensembles finis de touches $(T, F) \subset \mathcal{T}(S)^* \times \mathcal{T}(S)^*$. F est appelé ensemble des touches finales du clavier et T ensemble des touches transientes du clavier.

- **Definition 31** (Exécution acceptante d'un clavier manuel). Soit $K = (T, F)$ un clavier manuel et $c_0 = \langle u_0 | v_0 \rangle$ une configuration dite initiale. Une exécution acceptante de K sur c_0 est une suite finie $\rho = ((t_1, c_1), \dots, (t_{n+1}, c_{n+1})) \in (K \times C)^{n+1}$ pour $n \in \mathbb{N}$ telle que
- pour tout $i \in \llbracket 1 ; n+1 \rrbracket$, $c_{i-1} \xrightarrow{t_i} c_i$;
 - pour tout $i \in \llbracket 1 ; n \rrbracket$, $t_i \in T$;
 - $t_{n+1} \in F$.

Si cela n'est pas précisé, une exécution porte sur la configuration initiale vide $\langle \varepsilon | \varepsilon \rangle$.

On parlera d'exécution dans le cas général lorsque $t_{n+1} \in T \cup F$.

- **Remark 32.** Avec les claviers manuels, nous avons rajouté la notion de fin de saisie à travers les touches acceptantes qui sont les touches qui mènent à une fin de saisie après avoir effectué leur action.

- **Definition 33.** Nous définissons la reconnaissance et les langages pour les claviers manuels de la même manière que plus tôt, pour les claviers automatiques.

- **Example 34.** Nous reconnaissions facilement le langage $(aa)^*a$ avec le clavier manuel

$$K_2 = (\{aa\}, \{a\}).$$

- **Theorem 35** (Simulation). Soit K_a un clavier automatique. Alors il existe un clavier manuel qui reconnaît le même langage que K_a .

Démonstration. Le clavier $K_m = (K_a, K_a)$ reconnaît le même langage que K_a . ◀

Ce théorème nous permet de définir les claviers généraux en se basant uniquement sur les claviers manuels.

- **Remark 36.** Une touche acceptante peut être vue comme une touche se terminant par le symbole « Entrée » noté █. Ceci nous permet de noter les claviers en utilisant un seul ensemble. Par exemple, {aa, a█} correspond au clavier K_2 vu en Exemple 34.

L'entrée peut alors être vue comme un symbole qui n'apparaît qu'à la fin des touches et qui permet de finir la saisie. On appelle alors les claviers automatiques des claviers « sans entrée », dans le sens où il n'y a pas besoin du symbole █ pour être accepté.

- **Definition 37** (Clavier). Nous appelons clavier un clavier manuel. Nous notons Clav l'ensemble des claviers.

- **Definition 38** (Taille d'un clavier). Soit $K = (T, F)$ un clavier. Nous définissons la taille de K notée $|K|$ par

$$|K| = \sum_{t \in T} (|t| + 1) + \sum_{t \in F} (|t| + 1)$$

et nous définissons sa norme infinie par

$$\|K\|_\infty = \max_{t \in T \cup F} |t|.$$

2.2.5 Classes de clavier

Nous avons défini plusieurs symboles spéciaux qui nous permettent d'obtenir des claviers avec (potentiellement) plus d'expressivité. Il paraît raisonnable de s'intéresser aux langages que l'on peut reconnaître avec des claviers où certains de ces symboles ne sont pas disponibles.

► **Definition 39** (Clavier minimal). *On appelle clavier minimal un clavier ne contenant aucun symbole spécial. Il s'agit donc d'un clavier automatique sans ▶, ◀ et ←. Nous notons MK l'ensemble des claviers minimaux.*

► **Remark 40.** Nous construisons nos autres classes en partant des claviers minimaux auxquels on rajoute certaines possibilités de symboles spéciaux. Les noms des classes sont obtenus en rajoutant R (pour ←), E (pour ■, qu'on peut considérer, rappelons-le, comme un symbole), G (pour ◀) et F (pour ◀ et ▶) à K. Ainsi, en fonction des symboles spéciaux autorisés, on a ces différentes classes.

$$\begin{array}{lll} \text{MK : } \{ \} & \text{GK : } \{ \blacktriangleleft \} & \text{FK : } \{ \blacktriangleleft, \triangleright \} \\ \text{EK : } \{ \blacksquare \} & \text{GEK : } \{ \blacktriangleleft, \blacksquare \} & \text{FEK : } \{ \blacktriangleleft, \triangleright, \blacksquare \} \\ \text{RK : } \{ \leftarrow \} & \text{GRK : } \{ \blacktriangleleft, \leftarrow \} & \text{FRK : } \{ \blacktriangleleft, \triangleright, \leftarrow \} \\ \text{REK : } \{ \leftarrow, \blacksquare \} & \text{GREK : } \{ \blacktriangleleft, \leftarrow, \blacksquare \} & \text{FREK : } \{ \blacktriangleleft, \triangleright, \leftarrow, \blacksquare \} \end{array}$$

► **Remark 41.** L'ajout de ▶ sans ◀ n'apporte pas d'expressivité car, sans ◀, le curseur reste toujours à droite du mot écrit.

► **Remark 42.** Nous dirons souvent qu'un langage de clavier est dans une certaine classe pour indiquer qu'il est reconnu par un clavier de cette classe. Ainsi, nous dirons que L est dans FK s'il existe $K \in \text{FK}$ tel que $L = \mathcal{L}(K)$.

Nous définissons enfin deux problèmes de décision fondamentaux sur les claviers.

► **Definition 43.** Soit \mathcal{K} une classe de claviers, nous nous intéressons aux deux problèmes de décision suivants.

$$\text{Problème du mot : } \begin{cases} \text{DONNÉE : } & K \in \mathcal{K} \text{ et } w \in A^* \\ \text{QUESTION : } & w \in \mathcal{L}(K) ? \end{cases}$$

$$\text{Problème d'universalité : } \begin{cases} \text{DONNÉE : } & K \in \mathcal{K} \\ \text{QUESTION : } & \mathcal{L}(K) = A^* ? \end{cases}$$

3 Propriétés des claviers

Avant de rentrer dans le vif du sujet et de nous attaquer à l'étude des langages de claviers, nous établissons des propriétés sur les différents types de claviers. Elles faciliteront alors nos études ultérieures.

Beaucoup de ces résultats sont la formalisation d'idées naturelles et sont donc très intuitifs, avec une preuve par induction.

3.1 Généralités

Commençons par exprimer le fait qu'une touche d'un clavier ne peut effectuer que des transformations locales, et ne peut affecter que les lettres à une distance du curseur inférieure à la longueur de cette touche.

► **Lemma 44** (Localité). *Soient $\langle u|v \rangle$ une configuration et $t = \sigma_1 \dots \sigma_n$ une touche. En notant $\langle u_n|v_n \rangle = \langle u|v \rangle \cdot t$, on a que $u[1, |u| - n]$ et $u_n[1, |u_n| - n]$ sont des préfixes de u_n et de u et que $v[n + 1, |v|]$ et $v_n[n + 1, |v_n|]$ sont des suffixes de v_n et de v .*

Voir preuve en A.1.1

Ainsi, t ne permet pas de modifier les lettres d'une configuration à une distance plus grande que $|t|$ du curseur.

Lorsqu'une touche est appliquée avec un curseur suffisamment loin des extrémités du mot, alors son action ne souffrira pas d'« effets de bord » tels que l'application d'un retour à l'extrémité gauche.

► **Lemma 45** (Efficience loin des bords). *Soient $t = \sigma_1 \dots \sigma_n$ une touche et $\langle u|v \rangle$ une configuration. Si $n \leq \min(|u|, |v|)$, alors en notant $\langle u_n|v_n \rangle = \langle u|v \rangle \cdot t$, on a que $\langle u|v \rangle \xrightarrow{t} \langle u_n|v_n \rangle$ c'est-à-dire que l'exécution efficiente ne bloque pas.*

Voir preuve en A.1.2

De plus, une touche ne peut pas ajouter ou retirer un nombre de lettres supérieur à sa longueur.

► **Lemma 46** (Encadrement des tailles). *Soient $t = \sigma_1 \dots \sigma_n$ une touche et $\langle u|v \rangle$ une configuration. On pose $\langle u_n|v_n \rangle = \langle u|v \rangle \cdot t$. Alors*

$$\left| |u_n v_n| - |uv| \right| \leq n, \left| |u_n| - |u| \right| \leq n \text{ et } \left| |v_n| - |v| \right| \leq n.$$

Démonstration. Chaque opération élémentaire modifie la taille de u et de v d'au plus un, et une induction sur n donne le résultat. ◀

► **Remark 47.** Nous pouvons être un peu plus précis en nous intéressant au nombre de retours de t . Soient $t = \sigma_1 \dots \sigma_n$ une touche et $\langle u|v \rangle$ une configuration. On pose $\langle u_n|v_n \rangle = \langle u|v \rangle \cdot t$. Alors

$$|uv| - |t|_{\leftarrow} + \sum_{x \in A} |t|_x \leq |u_n v_n| \leq |uv| + \sum_{x \in A} |t|_x.$$

On peut même être plus précis et combiner les lemmes précédents pour obtenir que, si le curseur est loin des extrémités du mot, la différence de longueur due à l'application d'une touche est son nombre de lettres moins son nombre de retours.

► **Lemma 48** (Égalité des tailles loin des bords). Soient $t = \sigma_1 \dots \sigma_n$ une touche et $\langle u|v \rangle$ une configuration telle que $|u| \geq n$ et $|v| \geq n$. En posant $\langle u_n|v_n \rangle = \langle u|v \rangle \cdot t$, alors

$$|u_n v_n| = |uv| - |t|_{\leftarrow} + \sum_{x \in A} |t|_x.$$

Voir preuve en A.1.3

Ces résultats ont pour conséquence la proposition suivante.

► **Proposition 49.** Soit K un clavier automatique de langage L . Notons $(\ell_n)_{n \in \mathbb{N}}$ les longueurs des mots reconnus par L triés par ordre croissant. Alors $(\ell_{n+1} - \ell_n)_{n \in \mathbb{N}}$ est bornée par $\|K\|_\infty$.

Voir preuve en A.1.4

En fait, cette proposition peut s'étendre à tout clavier.

► **Proposition 50.** Soit $K = (T, F)$ un clavier de langage L . Notons $(\ell_n)_{n \in \mathbb{N}}$ les longueurs des mots reconnus par L triés par ordre croissant. Alors $(\ell_{n+1} - \ell_n)_{n \in \mathbb{N}}$ est bornée par $3\|K\|_\infty$.

Voir preuve en A.1.5

► **Remark 51.** Ceci nous permet de montrer qu'on ne peut pas reconnaître $\{a^{n^2} \mid n \in \mathbb{N}\}$ ou encore $\{a^p \mid p \text{ premier}\}$ avec un clavier.

► **Lemma 52** (Monotonie). Soient $u, v, u', v' \in A^*$ et $t \in S^*$ une touche. Notons $\langle x|y \rangle = \langle u|v \rangle \cdot t$ et $\langle x'|y' \rangle = \langle u'|v' \rangle \cdot t$. Si $|u| \leq |u'|$ et $|v| \leq |v'|$, alors $|x| \leq |x'|$ et $|y| \leq |y'|$.

Voir preuve en A.1.6

► **Corollary 53.** Soient $t \in T$ et $u, v, u', v' \in A^*$ tels que $|u| \leq |u'|$ et $|v| \leq |v'|$. Si t efface une lettre de $\langle u|v \rangle$, alors t efface une lettre de $\langle u'|v' \rangle$.

Démonstration. Cela découle du fait que \leftarrow efface une lettre de $\langle u|v \rangle$ si et seulement si $|u| > 0$. ◀

► **Lemma 54.** Soit $t = \sigma_1 \dots \sigma_n$ une touche telle que $\langle u|v \rangle \xrightarrow{t}_e \langle u_n|v_n \rangle$. Alors pour tous mots x, y ,

$$\langle xu|vy \rangle \xrightarrow{t}_e \langle xu_n|v_ny \rangle.$$

Voir preuve en A.1.7

► **Lemma 55.** Soient $t = \sigma_1 \dots \sigma_n$ une touche et $\langle u|v \rangle$ et $\langle x|y \rangle$ des configurations tels que $|u| = |x|$ et $|v| = |y|$. Alors t agit de manière efficiente sur $\langle u|v \rangle$ si et seulement si elle agit de manière efficiente sur $\langle x|y \rangle$.

Démonstration. Pour tout $i \in \llbracket 1 ; n \rrbracket$, on pose

$$\begin{cases} \langle u_i | v_i \rangle = \langle u | v \rangle \cdot \sigma_1 \dots \sigma_i \\ \langle x_i | y_i \rangle = \langle x | y \rangle \cdot \sigma_1 \dots \sigma_i \end{cases}$$

Une induction sur i permet alors de montrer que pour tout $i \in \llbracket 1 ; n \rrbracket$, on a $|u_i| = |x_i|$ et $|v_i| = |y_i|$, ce qui permet d'établir le résultat (si une action non efficiente a lieu, alors u_i ou v_i est vide, donc x_i ou y_i est vide et la même action non efficiente a lieu sur $\langle x_i | y_i \rangle$). ◀

Ce dernier lemme suit une idée selon laquelle une touche fait la même chose depuis deux configurations de composantes de même taille. Dans la section qui suit, nous allons développer cette idée assez intuitive et nous intéresser au comportement des touches.

3.2 Les touches

Le but de cette section est de fournir des outils pour décrire le comportement d'une touche ; comment dire que le $i^{\text{e}}\text{caractère}$ de $c \cdot t$ a été écrit par t ou que le $i^{\text{e}}\text{caractère}$ de c a été déplacé par t . Nous allons distinguer les lettres de t et de c pour savoir, après application de t , où t a écrit ses lettres et comment les lettres de c ont été affectées.

► **Definition 56** (Fonction de marquage). *Posons \mathbb{Z}_c et \mathbb{Z}_t deux copies de \mathbb{Z} , dont les éléments sont respectivement notés \check{k} et \widehat{k} . On appelle fonction de marquage de touches la fonction $f_t : S^* \rightarrow (S \cup \mathbb{Z}_t)^*$ définie par $f_t(\sigma_1 \dots \sigma_n) = \sigma'_1 \dots \sigma'_n$ où*

$$\sigma'_i = \begin{cases} \check{i} & \text{si } \sigma_i \in A \\ \sigma_i & \text{sinon} \end{cases}$$

et fonction de marquage de configurations la fonction $f_c : \mathcal{C}(A) \rightarrow \mathcal{C}(\mathbb{Z}_c)$ définie par

$$f_c(a_1 \dots a_k, b_1 \dots b_j) = \left\langle \widehat{-k} \dots \widehat{-1} \Big| \widehat{1} \dots \widehat{j} \right\rangle.$$

En appliquant la touche $f_t(t)$ à la configuration $f_c(c)$, on peut alors facilement savoir quels symboles de t ont été écrits et quels symboles de c ont été conservés.

► **Definition 57.** Soient $\langle u | v \rangle$ une configuration, t une touche et $k \in \mathbb{Z}$. Posons $\langle u' | v' \rangle = \langle u | v \rangle \cdot t$ et $\langle x | y \rangle = f_c(u, v) \cdot f_t(t)$. Alors, on dit que

- t écrit son $k^{\text{e}}\text{symbole}$ en position i depuis $\langle u | v \rangle$ si $\langle x | y \rangle_i = \check{k}$;
- t déplace le $k^{\text{e}}\text{symbole}$ de $\langle u | v \rangle$ en position i si $\langle x | y \rangle_i = \widehat{k}$.

► **Remark 58.** Soient $t = \sigma_1 \dots \sigma_n$ une touche, $\langle u | v \rangle$ une configuration et $1 < k \leq n$ un entier. Alors t écrit son $k^{\text{e}}\text{symbole}$ en position i depuis $\langle u | v \rangle$ si et seulement si $\sigma_2 \dots \sigma_n$ écrit son symbole $k - 1$ en position i depuis $\langle u | v \rangle \cdot \sigma_1$.

En particulier, une récurrence montre l'équivalence avec $\sigma_k \dots \sigma_n$ écrit son 1^{er}symbole depuis $\langle u | v \rangle \cdot \sigma_1 \dots \sigma_{k-1}$.

De plus, t écrit son $k^{\text{e}}\text{symbole}$ en position i depuis $\langle u | v \rangle$ si et seulement si pour tout $k \leq m \leq n$, on a que $\sigma_1 \dots \sigma_m$ écrit son $k^{\text{e}}\text{symbole}$ en position i depuis $\langle u | v \rangle$.

Bien sûr, si t écrit son $k^{\text{e}}\text{symbole}$ en position i depuis $\langle u | v \rangle$, alors $\langle u' | v' \rangle_i = t_k$, ce qu'on montre, entre autres choses, dans la proposition qui suit.

► **Proposition 59.** Soit $t = \sigma_1 \dots \sigma_n$ une touche, $\langle u | v \rangle$ une configuration. On note

$$\begin{aligned} \langle u_n | v_n \rangle &= \langle u | v \rangle \cdot t & \langle x'_n | y'_n \rangle &= f_c(u, v) \cdot t \\ \langle u'_n | v'_n \rangle &= \langle u | v \rangle \cdot f_t(t) & \langle x_n | y_n \rangle &= f_c(u, v) \cdot f_t(t) \end{aligned}$$

Alors,

$$|u_n| = |x_n| = |u'_n| = |x'_n| \quad \text{et} \quad |v_n| = |y_n| = |v'_n| = |y'_n|$$

et de plus, pour tout $a \in A$,

$$\begin{aligned} \langle u_n | v_n \rangle_j &= a \text{ ssi } \langle x_n | y_n \rangle_j = \widehat{k} \text{ et } \langle u | v \rangle_k = a \quad \text{ou } \langle x_n | y_n \rangle_j = \check{k} \text{ et } t_k = a \\ &\quad \text{ssi } \langle u'_n | v'_n \rangle_j = a \quad \text{ou } \langle u'_n | v'_n \rangle_j = \check{k} \text{ et } t_k = a \\ &\quad \text{ssi } \langle x'_n | y'_n \rangle_j = \widehat{k} \text{ et } \langle u | v \rangle_k = a \quad \text{ou } \langle x'_n | y'_n \rangle_j = a \\ &\quad (\text{ssi il y avait un } a \quad \text{ou la touche } a \text{ écrit un } a). \end{aligned}$$

Dans chaque cas, on distingue le cas où le a était déjà écrit et celui où c'est la touche qui l'a écrit.

Voir preuve en A.2.1

► **Example 60.** Considérons $u = ab$, $v = abba$ et $t = \blacktriangleleft\blacktriangleright\overline{3}\blacktriangleright\blacktriangleright\blacktriangleleft\overline{8}\overline{9}$. On a

$$\begin{aligned} f_t(t) &= \blacktriangleleft\blacktriangleright\overline{3}\blacktriangleright\blacktriangleright\blacktriangleleft\overline{8}\overline{9} \\ f_c(u, v) &= \langle \overline{-2}\overline{-1} | \overline{1}\overline{2}\overline{3}\overline{4} \rangle. \end{aligned}$$

Donc

$$\begin{aligned} \langle u | v \rangle \cdot t &= \langle ababba | a \rangle & f_c(u, v) \cdot t &= \langle a\widehat{-1}\widehat{1}\widehat{2}ba | \widehat{4} \rangle \\ \langle u | v \rangle \cdot f_t(t) &= \langle \overline{3}bab\overline{8}\overline{9} | a \rangle & f_c(u, v) \cdot f_t(t) &= \langle \overline{3}\widehat{-1}\widehat{1}\widehat{2}\overline{8}\overline{9} | \widehat{4} \rangle \end{aligned}$$

Finalement, après avoir appliqué t , nous obtenons une configuration où les symboles 3, 8 et 9 de t sont écrits (un a , un b et un second a), et où les symboles -1 , 1 , 2 et 4 de la configuration $\langle u | v \rangle$ ont été conservés (mais déplacés).

► **Remark 61.** Notre but ici est de fournir un cadre général pour démontrer des résultats. Les fonctions de marquage semblent alors pertinentes car elles permettant de formaliser des notions très intuitives et de prendre plusieurs points de vue reliées par la Proposition 59.

La Proposition 59 explique par exemple qu'il est équivalent de regarder le résultat de $f_t(t)$ sur c ou sur $f_c(c)$ lorsqu'on s'intéresse à ce qu'a écrit la touche.

► **Corollary 62.** Soient t une touche et $\langle u | v \rangle$ une configuration. Alors, t écrit son k^{e} symbole en position i depuis $\langle u | v \rangle$ si et seulement si $(\langle u | v \rangle \cdot f_t(t))_i = \check{k}$ et t déplace le k^{e} symbole de $\langle u | v \rangle$ en position i si et seulement si $(f_c(u, v) \cdot t)_i = \check{k}$.

Néanmoins, si parler de « l'écriture du k^{e} symbole en position i » permet de bien formaliser les choses, c'est souvent l'écriture d'une lettre particulière qui nous intéressera.

► **Definition 63.** Soit t une touche et $\langle u | v \rangle$ une configuration. On dit que t écrit un a en position i depuis $\langle u | v \rangle$ s'il existe k tel que $t_k = a$ et t écrit son k^{e} symbole en position i depuis $\langle u | v \rangle$.

On dit que t écrit un a depuis $\langle u | v \rangle$ si t écrit un a à une certaine position depuis $\langle u | v \rangle$.

La généralisation faite lors de la formalisation nous permet d'obtenir facilement certains théorèmes comme résultat de la Proposition 59.

► **Proposition 64.** Si t écrit son $k^{\text{e}}\text{symbole}$ en position i depuis $\langle u|v \rangle$, alors $(\langle u|v \rangle \cdot t)_i = t_k$. En particulier, si t écrit un a en position i depuis $\langle u|v \rangle$, alors $(\langle u|v \rangle \cdot t)_i = a$ et si t écrit un a depuis $\langle u|v \rangle$, alors $\langle u|v \rangle \cdot t$ contient un a .

► **Proposition 65.** Soient t une touche et $\langle u|v \rangle$ et $\langle u'|v' \rangle$ deux configurations telles que $|u| = |v|$ et $|u'| = |v'|$. Alors t écrit son $k^{\text{e}}\text{symbole}$ en i -ème position depuis $\langle u|v \rangle$ si et seulement si t écrit son $k^{\text{e}}\text{symbole}$ en i -ème position depuis $\langle u'|v' \rangle$. En particulier, t écrit un a en i -ème position depuis $\langle u|v \rangle$ si et seulement si t écrit un a en i -ème position depuis $\langle u'|v' \rangle$ et t écrit un a depuis $\langle u|v \rangle$ si et seulement si t écrit un a en depuis $\langle u'|v' \rangle$.

Notons également que t déplace le $k^{\text{e}}\text{symbole}$ de $\langle u|v \rangle$ en position i si et seulement si t déplace le $k^{\text{e}}\text{symbole}$ de $\langle u'|v' \rangle$ en position i .

Démonstration. On a $f_c(u, v) = f_c(u', v')$, d'où le résultat. ◀

Ceci formalise que les touches sont aveugles au contenu des configurations. Une manière commode de montrer qu'une touche écrit un a depuis c est alors de regarder le résultat de t sur une configuration c' similaire à c (de même tailles), mais sans a .

► **Proposition 66.** Soient t une touche et $\langle u|v \rangle$ une configuration sans a . On pose $\langle u'|v' \rangle = \langle u|v \rangle \cdot t$. Alors t écrit un a en position i depuis $\langle u|v \rangle$ si et seulement si $\langle u'|v' \rangle_i = a$. En particulier, t écrit un a depuis $\langle u|v \rangle$ si et seulement si $\langle u'|v' \rangle$ contient un a .

Démonstration. Posons $\langle x|y \rangle = f_c(u, v) \cdot f_t(t)$. Par la Proposition 59, $\langle u'|v' \rangle_i = a$ si et seulement si $\langle u|v \rangle_i = a$ ou $\langle x|y \rangle_i = \hat{k}$ et $t_k = a$.

Puisque $\langle u|v \rangle_i$ ne contient pas de a , alors $\langle x|y \rangle_i = \hat{k}$ et $t_k = a$, c'est-à-dire que t écrit un a depuis $\langle u|v \rangle$. ◀

De plus, si après avoir appliqué une touche, le nombre de a a augmenté, alors cette touche écrit un a .

► **Proposition 67.** Soit t une touche et $\langle u|v \rangle$ une configuration. Si $|\langle u|v \rangle|_a < |\langle u|v \rangle \cdot t|_a$ alors t écrit un a depuis $\langle u|v \rangle$.

Démonstration. On note $\langle u'|v' \rangle = \langle u|v \rangle \cdot t$ et $\langle x|y \rangle = f_c(u, v) \cdot f_t(t)$. Par la Proposition 59, $\langle u'|v' \rangle_i = a$ si et seulement si $\langle x|y \rangle_i = \hat{k}$ et $\langle u|v \rangle_k = a$ ou $\langle x|y \rangle_i = k$ et $t_k = a$.

Or $|\langle u'|v' \rangle|_a > |\langle u|v \rangle|_a$, donc il existe i tel que $\langle x|y \rangle_i = k$ et $t_k = a$, c'est-à-dire que t écrit un a depuis $\langle u|v \rangle$. ◀

Nous remarquons néanmoins qu'une touche n'écrit pas forcément les mêmes symboles depuis deux configurations différentes, et ce à cause des effets de bords. Mais si l'exécution est efficiente, la touche fait toujours la même chose.

► **Proposition 68.** Soient t une touche et $\langle u|v \rangle$ et $\langle x|y \rangle$ deux configurations sur lesquelles t agit de manière efficiente. Alors t écrit son $k^{\text{e}}\text{symbole}$ en position i depuis $\langle u|v \rangle$ si et seulement si t écrit son $k^{\text{e}}\text{symbole}$ en position i depuis $\langle x|y \rangle$. En particulier, t écrit un a en position i depuis $\langle u|v \rangle$ si et seulement si t écrit un a en position i depuis $\langle x|y \rangle$ et t écrit un a depuis $\langle u|v \rangle$ si et seulement si t écrit un a depuis $\langle x|y \rangle$.

Voir preuve en A.2.2

Si l'on est suffisamment loin des bords, une touche fait donc toujours la même chose, ce qui motive la définition suivante.

► **Definition 69.** Soit t une touche. On dit que t assure un a loin des bords (en position i) s'il existe $\langle u|v \rangle$ sur laquelle t agit de manière efficiente et tel que t écrit un a depuis (en position i) $\langle u|v \rangle$.

On dit que t assure un a si t écrit un a depuis n'importe quelle configuration.

On obtient alors immédiatement ces différentes propositions.

► **Proposition 70.** Soient t une touche et $u, v \in A^*$ tels que $|u| \geq t$ et $|v| \geq t$. Alors, t assure un a loin des bords (en position i) si et seulement si t écrit un a (en position i) depuis $\langle u|v \rangle$.

► **Proposition 71.** Soit t une touche et $u, v \in A^*$ tels que $|u| \geq t$ et $|v| \geq t$. Si $|\langle u|v \rangle|_a < |\langle u|v \rangle \cdot t|_a$, alors t assure un a loin des bords.

► **Proposition 72.** Soit t une touche qui assure un a loin des bords et $\langle u|v \rangle$ tel que $|u| \geq |t|$ et $|v| \geq |t|$. Alors $\langle u|v \rangle \cdot t$ contient un a .

3.3 Les claviers sans flèches

Dans cette sous-section, nous considérons des claviers REK, à savoir des claviers où $S = A \cup \{\leftarrow, \blacksquare\}$. En utilisant un tel clavier, la partie droite d'une configuration est toujours vide (ce que montre le lemme qui suit). Ainsi, les configurations obtenues seront de la forme $\langle u|\varepsilon \rangle$ et il nous arrivera d'utiliser la notation u pour une telle configuration.

► **Lemma 73** (Caractérisation des configurations REK). Soient K un clavier de REK, $u \in A^*$ et $t_1 \dots t_n \in K^*$. Alors $\langle u|\varepsilon \rangle \cdot t_1 \dots t_n$ est de la forme $\langle v|\varepsilon \rangle$ avec $v \in A^*$.

Voir preuve en A.3.1

► **Lemma 74** (Forme normale d'une touche REK). Soit $t \in S^*$ une suite d'opérations élémentaires de REK. Alors il existe un unique $k \in \mathbb{N}$ et un unique $w \in A^*$ tels que $t \sim \leftarrow^k w$. De plus, k et w peuvent être trouvés en temps polynomial en la taille de t .

Voir preuve en A.3.2

► **Corollary 75** (Forme normale de REK). Soit K un clavier de REK. Alors, il existe un clavier K_0 dont les touches sont de la forme $\leftarrow^k w$ avec $w \in A^*$ et tel que $\mathcal{L}(K_0) = \mathcal{L}(K)$. De plus K_0 est constructible en temps polynomial.

► **Remark 76.** Pour la suite, nous supposerons que les claviers REK considérés sont de cette forme. Notons de plus que la construction du clavier équivalent peut se faire en temps polynomial, ce qui aura son importance lors de résultats de complexité.

3.4 Les claviers sans flèche droite

On considère ici des claviers de GREK, à savoir des claviers n'utilisant pas ►. On se place donc avec $S = A \cup \{\leftarrow, \blacktriangleleft, \blacksquare\}$.

L'une des grandes idées de GREK est que l'on ne peut aller à droite et donc revenir sur un mot à droite du pointeur, ce que formalise le théorème suivant.

► **Theorem 77** (fondamental de GREK). Soient $t = \sigma_1 \dots \sigma_n$ une suite d'opérations élémentaires et $\langle u|v \rangle$ une configuration. Nous posons $\langle x_n|y_n \rangle = \langle \varepsilon|\varepsilon \rangle \cdot t$. Alors $\langle u|v \rangle \cdot t$ est de la forme $\langle u_n x_n | v_n v \rangle$ avec y_n un sous-mot de v_n et u_n un préfixe de u .

Voir preuve en A.4.1

Ce théorème montre notamment qu si t écrit une lettre depuis la configuration vide, alors elle l'écrit depuis n'importe quelle configuration. Nous montrons alors que la réciproque de ce résultat est également vraie et qu'il suffit d'écrire une lettre depuis une configuration pour l'écrire depuis n'importe quelle autre configuration.

► **Lemma 78** (Insensibilité à la position). *Soient t une touche de GREK et $\langle u|v \rangle$ une configuration. Si t écrit un a depuis $\langle u|v \rangle$, alors t écrit un a depuis toute configuration $\langle x|y \rangle$.*

Voir preuve en A.4.2

3.5 Les claviers sans retour

Dans cette section, nous allons étudier les langages sans retour FEK. Nous nous plaçons donc avec $S = A \cup \{\blacktriangleleft, \blacktriangleright, \blacksquare\}$.

L'absence du retour arrière permet d'obtenir des propriétés très intéressantes.

► **Theorem 79** (du sous-mot). *Soient K un clavier de FEK, τ une suite de touches de K et $\langle u|v \rangle$ une configuration. En posant $\langle u_\tau|v_\tau \rangle = \langle u|v \rangle \cdot \tau$, on a que uv est un sous-mot de $u_\tau v_\tau$. En particulier, $|uv| \leq |u_\tau v_\tau|$.*

Démonstration. L'action d'une suite de touches étant l'action de la concaténation des touches de cette suite, il suffit de montrer le résultat pour les touches. Soit donc t une touche, on montre le résultat par induction sur t . Si t est vide, le résultat est vrai. Sinon, $t = t'\sigma$ et l'hypothèse d'induction nous donne que uv est un sous-mot de $u_{t'} v_{t'}$ où $\langle u_{t'}|v_{t'} \rangle = \langle u|v \rangle \cdot t'$. On distingue plusieurs cas.

- Si $\sigma = a \in A$, alors $u_t = u_{t'}a$ et $v_t = v_{t'}$.
- Si $\sigma \in \{\blacktriangleleft, \blacktriangleright\}$, alors $u_t v_t = u_{t'} v_{t'}$.

Dans les deux cas, uv est bien un sous-mot de $u_t v_t$ ce qui permet de conclure. ◀

Nous pouvons même être plus précis en nous intéressant à chaque lettre. Puisqu'il n'y a pas de retour, si une touche contient une lettre, alors l'action de cette touche permet effectivement d'écrire la lettre.

► **Lemma 80** (Non effacement). *Soient t une touche, $\langle u|v \rangle$ une configuration et $a \in A$. En posant $\langle u_t|v_t \rangle = \langle u|v \rangle \cdot t$, on a*

$$|u_t v_t|_a = |uv|_a + |t|_a.$$

Démonstration. On montre le résultat par induction sur t . Si t est vide, le résultat est vrai. Sinon, $t = t'\sigma$, et l'hypothèse d'induction nous donne que $|u_{t'} v_{t'}|_a = |uv|_a + |t'|_a$. On distingue plusieurs cas.

- Si $\sigma = a \in A$, $u_t = u_{t'}a$ et $v_t = v_{t'}$.
- Si $\sigma \in \{\blacktriangleleft, \blacktriangleright\}$, $u_t v_t = u_{t'} v_{t'}$.

Dans les deux cas, on a

$$|u_t v_t|_a = |u_{t'} v_{t'}|_a + |\sigma|_a = |uv|_a + |t'|_a + |\sigma|_a = |uv|_a + |t|_a$$

ce qui permet de conclure notre induction. ◀

Ce résultat nous permet alors de caractériser un peu les langages de claviers sans retour en nous intéressant aux occurrences des lettres.

► **Lemma 81** (Itération de lettre). *Soient $L \in \text{FK}$, $w \in L$ et a une lettre apparaissant dans w . Alors il existe une suite $(w_n)_{n \in \mathbb{N}}$ de mots de L telle que $\forall n \in \mathbb{N}, |w_n|_a \geq n$.*

Démonstration. Des hypothèses on déduit que le clavier contient une touche qui écrit un a . Il suffit alors d'itérer cette touche pour écrire autant de a que souhaité, car on est assuré de ne rien effacer ! ◀

Voir preuve en A.5.1

Cette proposition n'est pas vraie telle quelle dans **FEK** (la touche écrivant un a pourrait être finale). Cependant, on peut l'adapter de la manière suivante.

► **Lemma 82** (Itération de lettre **FEK**). *Soit $K = (T, F)$ un clavier de **FEK**. S'il existe $w \in L$ tel que $|w|_a > \|K\|_\infty$, alors pour tout $n \in \mathbb{N}$, il existe $w_n \in L$ tel que $|w_n|_a \geq n$.*

Démonstration. S'il y a un mot avec plus de $\|K\|_\infty a$, alors tous les a de ce mot n'ont pas pu être écrits par la touche acceptante d'une exécution menant à accepter ce mot. Il y a donc une touche transiente qui contient un a et qu'on peut itérer avant d'appuyer sur une touche acceptante. ◀

Voir preuve en A.5.2

► **Corollary 83.** *Soit L un langage de **FEK**. Il existe $N \in \mathbb{N}$ tel que s'il existe $w \in L$ vérifiant $|w|_a \geq N$ alors pour tout $k \geq N$, il existe $w_k \in L$ tel que $|w_k|_a \geq k$.*

Démonstration. Soit K un clavier de **FEK** reconnaissant L . Le lemme précédent montre que $N = \|K\|_\infty$ convient. ◀

► **Lemma 84** (Distanciation minimale). *Soit L un langage de **FEK** et $a \in A$. S'il existe $M \in \mathbb{N}$ tel que pour tout $w \in L$, $|w|_a \leq M$, alors il existe $D \in \mathbb{N}$ tel que pour tout $w \in L$, $d_a(w) \leq D$.*

Démonstration. On considère K qui reconnaît L et on prend $D = 2\|K\|_\infty$. Soit t une touche de K qui contient un a . Si t n'est pas acceptante, alors le mot obtenu en appuyant $M + 1$ fois sur t contient au moins $M + 1$ occurrences de a (par le Lemme 80 (Non effacement)), ce qui est absurde.

Donc toute touche contenant un a est acceptante. Si w écrit par K contient des a , ils ont donc tous été écrits par une seule touche t (la dernière), et le Lemme 44 (Localité) nous permet de conclure ;

$$d_a(w) \leq 2|t| \leq 2\|K\|_\infty.$$



4 Classification des sous-classes de FREK

Ici, nous caractérisons différentes classes de clavier. Ainsi, nous montrerons que REK est rationnel, GREK algébrique, et FEK contextuel.

4.1 Les claviers sans flèches

4.1.1 MK

Commençons par étudier les claviers minimaux.

- **Remark 85.** Soit $K \in \text{MK}$. Les touches de K sont des mots de A^* et on a $\mathcal{L}(K) = K^+$.
- **Example 86.** Le langage du clavier $\{\text{ab}, \text{bc}\}$ est $(ab + bc)^+$.

4.1.2 EK

Ici, on travaille avec $S = A \cup \{\blacksquare\}$.

- **Remark 87.** Soit $K = (T, F)$ un clavier de EK. Alors on a $\mathcal{L}(K) = T^*F$. On peut donc construire l'expression rationnelle correspondante en temps polynomial en $|K|$.

4.1.3 REK, la classe rationnelle

Le but de cette section est de montrer que les langages de REK sont rationnels. On montre d'abord le résultat pour les claviers de RK.

Soit K un clavier de RK. L'idée est que lorsqu'on exécute une suite de touches d'un clavier de RK, à tout moment on peut diviser le mot obtenu w en deux parties :

- un préfixe v de lettres qui ne seront jamais effacées ;
- un suffixe x de lettres qui seront effacées à une étape ultérieure de l'exécution.

Prenons un exemple : pour écrire le mot abb avec le clavier constitué des touches $\leftarrow^2abc, \leftarrow^3b, \leftarrow^2cbc$, il nous suffit d'écrire le préfixe ab grâce à t_1 et écrire le b restant grâce à t_2 . Le souci est que si on exécute t_1 puis t_2 , t_2 effacera trop de lettres et on obtiendra ab au lieu de abb . Il nous faut donc une suite de touches qui n'efface pas le ab , mais remplace les deux c par trois lettres quelconques, pour pouvoir appliquer t_2 . Ceci est possible en exécutant t_3 , qui remplace cc par cbc . La suite de touches $t_1t_3t_2$ permet donc d'écrire abb .

Étant donné un clavier K de RK, nous construisons un automate en nous basant sur cette idée. Ses états sont les nombres de 0 à $\|K\|_\infty$ et être dans l'état i signifie qu'il nous faut effacer i lettres avant de lire la suite du mot. Nous avons alors deux sortes de transitions.

- Une transition de i à j étiquetée par le mot w signifie qu'il existe une touche qui efface i lettres et écrit wx avec x de taille j (w est une partie du mot qu'on est en train de reconnaître et il nous faudra effacer j caractères avant de lire la suite du mot).
- Une transition de i à j étiquetée par ε signifie qu'il existe une suite de touches nous permettant de passer de i lettres à effacer à j lettres à effacer.

Nous présentons en Figure 1 (Automate du clavier $\{\leftarrow abc, \leftarrow^4bb\}$) l'automate obtenu à partir du clavier $\{\leftarrow abc, \leftarrow^4bb\}$ en utilisant la construction présentée dans la preuve de ce lemme (nous l'avons un peu simplifié en ne gardant que les états utiles). Son langage est $abc + bb + abb + [(ab + b)(ab)^*abb]$.

Les transitions en rouge (flèches pleines) correspondent à celles qu'il est possible de faire avec la touche $\leftarrow abc$ et les bleues (tirets) à celles qu'on fait avec la touche \leftarrow^4bb . Et

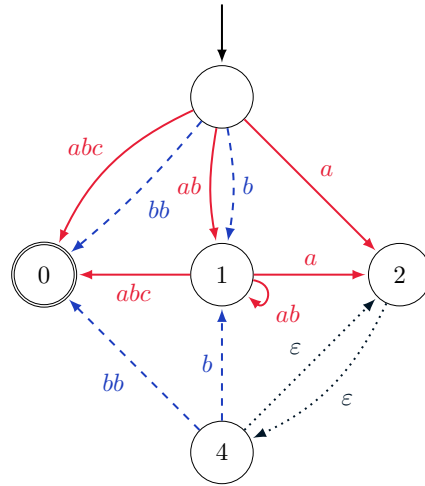


Figure 1 Automate du clavier $\{\leftarrow\text{abc}, \leftarrow^4\text{bb}\}$

finalement, les transitions noires (pointillés), elles, correspondent à utiliser une suite de touches pour passer de i lettres à effacer à j lettres à effacer.

Observons par exemple comment nous pouvons reconnaître le mot $babababb$ avec l'automate et le clavier. On le décompose en $b \cdot a \cdot b \cdot ab \cdot a \cdot bb$.

- On écrit un b avec la touche $\leftarrow^4\text{bb}$, ce qui nous mène à l'état 1 (il faudra effacer le deuxième b avant d'écrire la suite du mot).
- La touche $\leftarrow\text{abc}$ nous permet d'effacer le b et d'écrire a , ce qui nous mène à l'état 2 (il faudra effacer le bc restant avant d'écrire la suite du mot).
- Une suite de touche nous permet de passer de deux lettres à effacer (le bc) à quatre lettres à effacer, ce qui nous permet de passer à l'état 4.
- La $\leftarrow^4\text{bb}$ nous permet d'effacer les quatre lettres et d'écrire b , ce qui nous mène à l'état 1 (il nous faudra effacer le b restant avant d'écrire la suite du mot).
- La touche $\leftarrow\text{abc}$ nous permet d'effacer le b et d'écrire ab , ce qui nous mène à l'état 1 (il faudra effacer le c restant avant d'écrire la suite du mot).
- La touche $\leftarrow\text{abc}$ nous permet d'effacer le c et d'écrire a , ce qui nous mène à l'état 2 (il faudra effacer le bc restant avant d'écrire la suite du mot).
- Une suite de touche nous permet de passer de deux lettres à effacer à quatre lettres à effacer, ce qui nous permet de passer à l'état 4.
- La touche $\leftarrow^4\text{bb}$ nous permet d'écrire le bb restant, ce qui nous mène à l'état 0 où on peut accepter le mot.

Nous allons maintenant formaliser un peu tout cela. Pour commencer, nous énonçons quelques définitions utiles pour la suite.

► **Definition 88** (Action sur les entiers). Soient K un clavier de RK et $t = \leftarrow^k w \in K$. On étend l'opération \cdot aux entiers naturels en posant pour tout $n \in \mathbb{N}$,

$$n \cdot t = \max(0, n - k) + |w|.$$

On étend cette définition à K^* en posant $n \cdot \varepsilon = n$ et $n \cdot (\tau t) = (n \cdot \tau) \cdot t$.

► **Remark 89.** L'intérêt de cette définition réside dans le fait que pour tous $u \in A^*$ et $\tau \in K^*$, on a $|u \cdot \tau| = |u| \cdot \tau$.

► Remark 90. Les notations $\xrightarrow{\tau}$, $\xrightarrow{\tau}_e$ et \odot sont introduites de manière analogue sur les entiers naturels.

Nous établissons maintenant l'existence de la décomposition à l'aide de plusieurs lemmes. Pour commencer, considérons deux mots u_0 et v . S'il existe τ permettant de passer de u_0 à vu de manière efficiente pour un certain u (représentant un surplus de lettres), alors l'action de τ peut être décomposée.

► Lemma 91. Soient K un clavier de RK et $u_0, v \in A^*$. Soit $\ell \in \mathbb{N}$. Il existe $\tau \in K^+$ et $u \in A^*$ tels que $|u| = \ell$ et $u_0 \xrightarrow{\tau} vu$ si et seulement s'il existe un entier $k > 0$, $v_0, \dots, v_k \in A^*$, $x_0, \dots, x_k \in A^*$, $0 \leq s_1, \dots, s_k \leq \|K\|_\infty$ et $\tau_0, \tau_1, \dots, \tau_k \in K^*$ tels que :

1. $u_0 = v_0 x_0$ et $v = v_0 \cdots v_k$.
2. Pour tout $1 \leq i \leq k$, $\leftarrow^{s_i} v_i x_i \in K$.
3. En posant $s_{k+1} = \ell$, pour tout $0 \leq i \leq k$, $|x_i| \xrightarrow{\tau_i} s_{i+1}$.

Démonstration. Les $\leftarrow^{s_i} v_i x_i$ correspondent aux touches qui écrivent une partie de v , et les τ_i correspondent aux touches qui vont modifier x_i en x'_i de taille s_{i+1} (qui pourront alors être effacés par $\leftarrow^{s_{i+1}} v_{i+1} x_{i+1}$).

\Leftarrow On pose $\tau = \tau_0 t_1 \tau_1 \cdots t_k \tau_k$. On peut facilement vérifier que $u_0 \xrightarrow{\tau} vu$ avec pour un u tel que $|u| = \ell$.

\Rightarrow Soit $\ell \in \mathbb{N}$, supposons qu'il existe $u \in A^*$ et $\tau \in K^*$ tels que $|u| = \ell$ et $u_0 \xrightarrow{\tau} vu$. τ est de la forme $t_1 \dots t_n$, avec $t_i = \leftarrow^{r_i} w_i$.

Nous voulons alors trouver les touches « clés », celles qui écriront les morceaux de v . Pour tout $i \in \llbracket 1 ; n \rrbracket$, on pose

$$\begin{aligned} u_i &= u_0 \cdot (t_1 \dots t_i) \\ y_i &= u_0 \cdot (t_1 \dots t_{i-1}) \leftarrow^{r_i} \end{aligned}$$

Ainsi, u_i est le mot obtenu après avoir appuyé sur les i premières touches de τ , y_i est ce même mot sauf que l'on n'a pas écrit w_i (on a juste appliqué les retours de la dernière touche). En particulier, y_i est un préfixe de u_{i-1} et $u_i = y_i w_i$.

On pose également

$$j = \min\{i \mid \forall i' > i, v \text{ est un préfixe de } y_{i'}\}$$

avec $j = 0$ si v est un préfixe de tous les y_i . On a alors que j est l'indice de la touche après laquelle le préfixe v du mot final vu est écrit et n'est plus affecté. Nous procédons par induction sur v .

Si $j = 0$ (ce qui correspond également au cas de base de l'induction), alors v est un préfixe de tous les y_i et donc de tous les u_i . En posant $v_0 = v$ et x_0 tel que $u_0 = v_0 x_0$, on a que $x_0 \xrightarrow{\tau} u$. On pose alors $k = 0$ et $\tau_0 = \tau$ et on obtient le résultat.

Sinon, si $j > 0$, on a $u_j = vz$ (si $j < n$ alors v est un préfixe de y_{j+1} et donc de u_j , et si $j = n$ alors $u_j = vu$) avec $z \xrightarrow{t_{j+1} \dots t_n} u$. Donc, t_j est en fait la dernière touche clé de la décomposition que nous recherchons et $t_{j+1} \dots t_n$ est la dernière séquence de touches, celle qui transforme $u_j = vz$ en vu sans toucher à v .

Il existe u' de taille r_j telle que $u_{j-1} = y_j u'$. Par minimalité de j , v n'est pas un préfixe de y_j , mais puisqu'ils sont tous deux préfixes de u_j , alors y_j est un préfixe strict de v .

Nous pouvons alors appliquer l'hypothèse d'induction avec $v' = y_j$. On a $u_0 \xrightarrow{t_1 \dots t_{j-1}} v' u'$ avec $|u'| = r_j$, donc il existe $k' > 0$, $v_0 \in A^*$, $v_1, \dots, v_{k'} \in A^*$, $x_0, \dots, x_{k'} \in A^*$, $0 \leq s_1, \dots, s_{k'} \leq \|K\|_\infty$ et $\tau_0, \tau_1, \dots, \tau_{k'} \in K^*$ tels que :

1. $u_0 = v_0 x_0$ et $v' = v_0 \dots v_{k'}$.
2. Pour tout $1 \leq i \leq k'$, $\leftarrow^{s_i} v_i x_i \in K$.
3. En posant $s_{k'+1} = |u'| = r_j$, pour tout $0 \leq i \leq k$, $|x_i| \xrightarrow{e} s_{i+1}$.

On obtient le début de la décomposition recherchée. On pose alors

$$\begin{aligned} k &= k' + 1 \\ \tau_k &= t_{j+1} \dots t_n \\ v_k \text{ tel que } v &= v' v_k \\ s_k &= |u'| = r_j \\ s_{k+1} &= \ell \\ x_k &= z \end{aligned}$$

Et on vérifie bien les trois conditions du lemme.



Maintenant, nous affinons un peu ce lemme. Nous voulons pouvoir écrire n'importe quel mot v à partir de ε . L'idée est que la première touche qu'on applique n'agit pas forcément de manière efficiente, mais les suivantes oui. En effet, si on écrit v à partir de $t_1 \dots t_n$ et que t_j (pour $j > 1$) n'agit pas de manière efficiente sur $\varepsilon \cdot t_1 \dots t_{j-1}$, alors ce n'est pas la peine d'appliquer $t_1 \dots t_{j-1}$.

► **Lemme 92** (Décomposition monotone d'une exécution de RK). *Soit K un clavier de RK et soit $v \in A^*$. Il existe $\tau \in K^+$ tel que $\varepsilon \xrightarrow{\tau} v$ si et seulement s'il existe un entier $k > 0$, $v_1, \dots, v_k \in A^*$, $x_1, \dots, x_k \in A^*$, $0 \leq s_1, \dots, s_k \leq \|K\|_\infty$ et $\tau_1, \dots, \tau_k \in K^*$ tels que :*

1. $v = v_1 \dots v_k$.
2. Pour tout $1 \leq i \leq k$, $\leftarrow^{s_i} v_i x_i \in K$.
3. En posant $s_{k+1} = 0$, pour tout $1 \leq i \leq k$, $|x_i| \xrightarrow{e} s_{i+1}$.

En particulier, on note que $(\varepsilon \cdot t_1) \xrightarrow{e} v$, où $\tau' = t_2 \tau_2 \dots t_n \tau_n$ et $t_1 = \leftarrow^{s_1} v_1 x_1$.

Démonstration. \Leftarrow On pose $\tau = \leftarrow^{s_1} v_1 x_1 \tau_1 \dots \leftarrow^{s_k} v_k x_k \tau_k$ et on a le résultat.

\Rightarrow τ est de la forme $t_1 \dots t_n$ avec $t_i = \leftarrow^{r_i} w_i$. On pose $u_0 = \varepsilon$ et pour tout $i \in \llbracket 1 ; n \rrbracket$,

$$\begin{aligned} u_i &= \varepsilon \cdot (t_1 \dots t_i) \\ y_i &= \varepsilon \cdot (t_1 \dots t_{i-1}) \leftarrow^{r_i} \end{aligned}$$

Soit maintenant j l'indice maximal tel que $y_j = \varepsilon$. Alors $\varepsilon \cdot (t_j \dots t_n) = v$. De plus, pour tout $i > j$, $y_i \neq \varepsilon$, ce qui veut dire que l'action des t_i pour $i > j$ est efficiente. Donc $(\varepsilon \cdot t_j) \xrightarrow{e} v$.

En appliquant le Lemme 91 avec $\ell = 0$, on obtient le résultat.



Et nous avons montré l'existence de la décomposition voulue. On garde une petite partie du résultat dans le lemme qui suit.

► **Lemme 93.** *Soit $v \in A^*$, soit $K \subseteq \leftarrow^* A^*$ un clavier. Il existe $\tau \in K^+$ tel que $\varepsilon \xrightarrow{\tau} v$ si et seulement s'il existe $t \in K$ et $\tau' \in K^*$ tels que $(\varepsilon \cdot t) \xrightarrow{e} v$.*

Pour construire l'automate que nous recherchons, il nous faut calculer les différents types de transition. Les transitions correspondants à un bout de décomposition sont faciles à calculer : pour toute touche $t = \leftarrow^i w$ et pour toute décomposition $w = vx$, on a une transition de i à $|w|$ étiquetée par w .

Les ε -transitions sont un peu plus compliquées à calculer. Il nous faut déterminer, pour chaque $0 \leq n_1, n_2 \leq \|K\|_\infty$, s'il existe τ qui permet de passer de n_1 à n_2 (donc de transformer les x_i en x'_i).

C'est maintenant cette transformation qui nous intéresse. Nous allons montrer que nous pouvons calculer en temps polynomial s'il existe une suite de touches qui transforme, de manière efficiente un mot de taille n_1 en un mot de taille n_2 . Notons qu'étant donné que les x_i et x'_i de la décomposition sont écrits et effacés par une seule touche, leurs longueurs ne dépassent pas $\|K\|_\infty$, ainsi il nous suffit bien de nous restreindre aux entiers inférieurs à $\|K\|_\infty$.

Dans les lemmes qui suivent, nous commençons par donner des conditions qui permettent de passer de x à x' sous certaines conditions. Le but est de distinguer plusieurs cas.

Nous allons confondre x et x' avec leur taille respective (ce qui nous intéresse, c'est la taille de ces mots et pas leurs lettres).

► **Lemma 94.** Soit K un clavier de RK. On note $E = \{|w| - r \mid \leftarrow^r w \in K\}$ et $p = \text{PGCD}(E)$. Soient x et x' deux entiers tels que $0 \leq x, x' \leq \|K\|_\infty$. S'il existe $\leftarrow^{r_1} w_1, \leftarrow^{r_2} w_2 \in K$ tels que

- $|w_1| - r_1 < 0 < |w_2| - r_2$;
- $r_2 \leq x$ et $|w_1| \leq x'$;
- p divise $x' - x$,

alors il existe une suite $\tau = t_1 \dots t_n \in K^*$ telle que $x \xrightarrow{\tau} x'$.

Démonstration. E correspond aux nombres de lettres écrits par chaque touche, négatif si la touche efface plus qu'elle n'écrit). On commence par séparer E suivant ce critère. On pose

$$E_+ = \{i \mid i \in E \text{ et } i > 0\} \text{ et } E_- = \{i \mid i \in E \text{ et } i < 0\}$$

et p^+ et p^- leurs PGCDs respectifs,

$$p^+ = \text{PGCD}(E_+) \text{ et } p^- = \text{PGCD}(E_-).$$

On a $\text{PGCD}(p^+, p^-) = p$, donc, par le théorème de Bézout, il existe $\alpha, \beta \in \mathbb{N}$ tel que $\alpha p^+ - \beta p^- = p$.

On considère alors M un multiple de p^+ et de p^- supérieur à $\|K\|_\infty$ et

$$D = x' + (M^2 + M)(r_1 - |w_1|) - x - M(|w_2| - r_2).$$

D est positif car $(M^2 + M)(r_1 - |w_1|) \geq M^2 + M \geq M\|K\| + \|K\| \geq M(|w_2| - r_2) + x$. De plus, D est un multiple de p , donc il existe $c \in \mathbb{N}$ tel que $D = cp$.

On note alors $A = cap^+ + M^2$ et $B = c\beta p^- + M^2$. Ce sont respectivement des multiples de p^+ et de p^- et on a de plus $A - B = cp = D$.

Ainsi, $A \geq M^2 \geq \|K\|_\infty^2 \geq \max(E_+)^2$ et de même, $B \geq \max(E_-)^2$, donc par le théorème de Schur, [1], il existe des coefficients $(a_i)_{i \in E_+}$ et $(b_i)_{i \in E_-}$ tels que

$$\sum_{i \in E_+} ia_i = A \text{ et } \sum_{i \in E_-} ib_i = B.$$

Nous avons maintenant de quoi construire la suite de touches qui nous permettra de passer de x à x' de manière efficiente.

- On part de x . On applique M fois la touche $\leftarrow^{r_2} w_2$. L'exécution est bien efficiente ($r_2 \leq |x|$ et la touche écrit plus de lettres qu'elle n'en efface) et elle mène à $x + M(|w_2| - r_2)$.
- Pour tout $i \in E$, on choisit une touche $t_i = \leftarrow^{r_i} w_i$ telle que $i = |w_i| - r_i$. Pour tout $i \in E_+$, on applique a_i fois la touche t_i (dans un ordre arbitraire). L'exécution est efficiente car on commence avec plus de M lettres et que les touches appliquées écrivent plus de lettres qu'elles n'en effacent. Et on obtient la configuration $x + M(|w_2| - r_2) + A$.
- Pour tout $i \in E_-$, on applique b_i fois la touche t_i (dans un ordre arbitraire). Cela mène à la configuration

$$x + M(|w_2| - r_2) + A - B = x + M(|w_2| - r_2) + D = x' + (M^2 + M)(r_1 - |w_1|).$$

La configuration finale est supérieure à M et les touches appliquées écrivent moins de lettres qu'elles n'en effacent, donc l'exécution est efficiente.

- On termine en appliquant $M + M^2$ fois la touche $\leftarrow^{r_1} w_1$ ce qui nous donne bien la configuration x' . La configuration finale est supérieure à r_1 et la touche efface plus de lettres qu'elle n'en écrit, donc l'exécution est là encore efficiente.

Et on obtient bien une suite d'opérations $\tau \in K^*$ telle que $x \xrightarrow{\tau} e x'$. ◀

Après une condition nécessaire, nous donnons des conditions nécessaires et suffisantes dans d'autres cas particuliers. Pour commencer, si toutes les touches négatives écrivent strictement plus que x' , alors on ne peut utiliser que des touches positives, et en particulier $x \leq x'$.

► **Lemma 95.** Soit K un clavier de RK. Soient x et x' deux entiers tels que $0 \leq x, x' \leq \|K\|_\infty$. On suppose que pour tout $\leftarrow^r w \in K$ tel que $|w| < r$, $|w| > x'$. Alors les propositions suivantes sont équivalentes.

- Il existe $\tau \in K^*$ tel que $x \xrightarrow{\tau} e x'$.
- Il existe $\tau = t_1 \dots t_n \in K^*$ tel que $x \xrightarrow{\tau} e x'$ et pour tout i , $x \leq x \cdot (t_1 \dots t_i) \leq x'$.

Démonstration. \Leftarrow Oui.

\Rightarrow Supposons qu'il existe $\tau = t_1 \dots t_n$ tel que $x \xrightarrow{\tau} e x'$. Raisonnons par l'absurde et supposons qu'il existe $i \in [1 ; n]$ tel que t_i soit de la forme $\leftarrow^r w$ avec $|w| < r$ (et donc, par hypothèse, $|w| > x'$). On considère le i maximal vérifiant cette propriété.

Comme t_{i+1}, \dots, t_n écrivent plus de lettres qu'elles n'en effacent, alors $x \cdot (t_1 \dots t_i) \leq x' < |w|$. Mais $x \cdot (t_1 \dots t_i)$ est le mot obtenu après avoir appliqué en dernière touche t_i , donc $x \cdot (t_1 \dots t_i) \geq |w|$, ce qui est absurde !

Donc, toutes les touches de τ ajoutent au moins autant de lettres qu'elles n'en effacent. La suite $n \cdot (t_1 \dots t_i)$ est donc croissante ce qui nous donne l'encadrement voulu,

$$\forall i \in [1 ; n], x \leq x \cdot (t_1 \dots t_i) \leq x'. \quad \blacktriangleleft$$

On fait maintenant le cas symétrique, c'est-à-dire le cas où on ne peut appliquer aucune touche positive. Le résultat et la preuve sont donc sensiblement semblables.

► **Lemma 96.** Soit K un clavier de RK. Soient x et x' deux entiers tels que $0 \leq x, x' \leq \|K\|_\infty$. On suppose que pour tout $\leftarrow^r w \in K$ tel que $|w| > r$, $r > x$. Alors les propositions suivantes sont équivalentes.

- Il existe $\tau \in K^*$ tel que $x \xrightarrow{\tau} e x'$.
- Il existe $\tau = t_1 \dots t_n \in K^*$ tel que $x \xrightarrow{\tau} e x'$ et pour tout i , $x' \leq x \cdot (t_1 \dots t_i) \leq x$.

Démonstration. \Leftarrow Oui.

\implies Supposons qu'il existe $\tau = t_1 \dots t_n$ tel que $n \xrightarrow{\tau} e m$. Raisonnons par l'absurde et supposons qu'il existe $i \in \llbracket 1; n \rrbracket$ tel que t_i soit de la forme $\leftarrow^r w$ avec $|w| > r$ (et donc, par hypothèse, $r > x$). On considère le i minimal vérifiant cette propriété.

Comme t_1, \dots, t_{i-1} effacent plus de lettres qu'elles n'en écrivent, alors $x \cdot (t_1 \dots t_i) \leq x < r$. Mais t_i efface r lettres, ce qui contredit l'efficience de l'exécution !

Donc, toutes les touches de τ effacent au moins autant de lettres qu'elles n'en effacent. La suite $x \cdot (t_1 \dots t_i)$ est donc décroissante ce qui nous donne l'encadrement voulu,

$$\forall i \in \llbracket 1; n \rrbracket, x' \leq x \cdot (t_1 \dots t_i) \leq x.$$



Avec ces différents cas, nous pouvons déterminer en temps polynomial s'il est possible de passer de x à x' de manière efficiente.

► **Lemma 97.** *Le problème suivant est décidable en temps polynomial.*

$$\begin{cases} \text{DONNÉE : } K \text{ un clavier de RK et } 0 \leq x, x' \leq \|K\|_\infty \\ \text{QUESTION : Existe-t-il } \tau = t_1 \dots t_n \in K^* \text{ tel que } x \xrightarrow{\tau} e x' ? \end{cases}$$

Démonstration. Soient K un clavier de RK et $0 \leq x, x' \leq \|K\|_\infty$. On procède par cas.

- Si pour tout $\leftarrow^r w \in K$ tel que $|w| - r < 0$, $|w| > x'$, alors on construit un graphe dont les sommets sont les entiers de 0 à $\|K\|_\infty$ et tel qu'il y ait une transition de s à s' si et seulement si il existe $t \in K$ telle que $s \cdot t = s'$. D'après le Lemme 95, il existe τ tel que $x \xrightarrow{\tau} e x'$ si et seulement si il y a un chemin de x à x' dans ce graphe.
- Si pour tout $\leftarrow^r w \in K$ tel que $0 < |w| - r$, $r > x$, alors on construit le même graphe que pour le cas précédent. D'après le Lemme 96, il existe τ tel que $x \xrightarrow{\tau} e x'$ si et seulement si il y a un chemin de x à x' dans ce graphe.
- S'il existe $\leftarrow^{r_1} w_1, \leftarrow^{r_2} w_2 \in K$ tels que $|w_1| - r_1 < 0 < |w_2| - r_2$, $r_2 \leq x$, $|w_1| \leq x'$ et p divise $x' - x$, alors, par le Lemme 94, il existe τ tel que $x \xrightarrow{\tau} e x'$.
- Sinon, p ne divise pas $x - x'$: on montre par une récurrence immédiate sur τ que pour tout $\tau \in K^*$, $x \cdot \tau \neq x'$.



Nous avons maintenant tous les résultats nécessaires pour construire un automate reconnaissant un langage de RK en suivant l'intuition donnée plus haut.

Nous nous autorisons dans la définition suivante à étiqueter les transitions avec des mots de A^* (de longueur au plus $\|K\|_\infty$) et pas seulement avec des lettres. Ceci permet une présentation plus claire et il est facile de tirer de cette construction un automate étiqueté par des lettres.

► **Definition 98.** *Soit K un clavier de RK, on définit $\mathcal{A}(K)$ l'automate fini non-déterministe dont les états sont les éléments de $\{\text{Init}\} \cup \llbracket 0; \|K\|_\infty \rrbracket$.*

L'unique état initial est Init, l'unique état final est 0.

L'ensemble des transitions est $\Delta = \Delta_{\text{Init}} \cup \Delta_{\text{touche}} \cup \Delta_\tau$ avec

$$\begin{aligned} \Delta_{\text{Init}} &= \left\{ \text{Init} \xrightarrow{v} n \mid \exists m, w, \leftarrow^m vw \in K \wedge |w| = n \right\} \\ \Delta_{\text{touche}} &= \left\{ n_1 \xrightarrow{v} n_2 \mid \exists w, \leftarrow^{n_1} vw \in K \wedge |w| = n_2 \right\} \\ \Delta_\tau &= \left\{ n_1 \xrightarrow{\varepsilon} n_2 \mid \exists \tau \in K^*, n_1 \xrightarrow{\tau} e n_2 \right\} \end{aligned}$$



► **Lemma 99.** Soit K un clavier de RK, $\mathcal{A}(K)$ et K reconnaissent le même langage.

Démonstration. Soit $v \in A^*$. Supposons que $v \in \mathcal{L}(K)$, par le Lemme 92 (Décomposition monotone d'une exécution de RK), il existe $k > 0$, $v_1, \dots, v_k \in A^*$, $x_1, \dots, x_k \in A^*$, $0 \leq s_1, \dots, s_k \leq \|K\|_\infty$ et $\tau_1, \dots, \tau_k \in K^*$ tels que :

1. $v = v_1 \cdots v_k$.
2. Pour tout $1 \leq i \leq k$, $\leftarrow^{s_i} v_i x_i \in K$.
3. En posant $s_{k+1} = 0$, pour tout $1 \leq i \leq k$, $|x_i| \xrightarrow{\tau_i} s_{i+1}$.

On peut alors aisément constater que l'exécution Init $\xrightarrow{v_1} |x_1| \xrightarrow{\varepsilon} s_2 \xrightarrow{v_2} |x_2| \cdots \xrightarrow{v_k} |x_k| \xrightarrow{\varepsilon} 0$ accepte v .

À présent supposons que $v \in \mathcal{L}(\mathcal{A}(K))$, il existe une exécution acceptant v .

En remarquant que :

- pour tout état $n \in \llbracket 0 ; \|K\|_\infty \rrbracket$ il existe une transition $n \xrightarrow{\varepsilon} n$;
- pour toutes transitions $n_1 \xrightarrow{\varepsilon} n_2, n_2 \xrightarrow{\varepsilon} n_3$, il existe une transition $n_1 \xrightarrow{\varepsilon} n_3$.

on voit que l'on peut supposer cette exécution de la forme

$$\text{Init} \xrightarrow{v_1} n_1 \xrightarrow{\varepsilon} n'_1 \xrightarrow{v_2} n_2 \xrightarrow{\varepsilon} \cdots \xrightarrow{v_k} n_k \xrightarrow{\varepsilon} n'_{k+1} = 0.$$

La définition de l'automate nous permet alors de poser

- pour tout $1 \leq i \leq k$, $\tau_i \in K^*$ tel que $n_i \xrightarrow{\tau_i} n'_i$;
- pour tout $1 \leq i \leq k$, $x_i \in A^*$ et n'_i tels que $\leftarrow^{n'_i} v_i x_i \in K$ et $|x_i| = n_i$;
- $s_i = n'_i$ pour tout $1 \leq i \leq k+1$.

Et on obtient que $v \in \mathcal{L}(K)$ en appliquant le Lemme 92 (Décomposition monotone d'une exécution de RK). ◀

► **Lemma 100.** Soit K un clavier de REK, on peut construire $\mathcal{A}(K)$ en temps polynomial en la taille de K .

Démonstration. D'après le Lemme 97, pour tous $0 \leq n_1, n_2 \leq \|K\|_\infty$, on peut déterminer en temps polynomial en $\|K\|_\infty$ s'il existe $\tau \in K^*$ tel que $n_1 \xrightarrow{\tau} n_2$.

En conséquence, l'automate $\mathcal{A}(K)$ peut être construit en temps polynomial. ◀

► **Theorem 101.** Soit $K \in \text{RK}$. Alors $\mathcal{L}(K)$ est rationnel et on peut construire en temps polynomial un automate $\mathcal{A}(K)$ non déterministe reconnaissant $\mathcal{L}(K)$.

Démonstration. Soit K un clavier de RK. En appliquant le Corollaire 75 (Forme normale de REK) et le Théorème 102 (REK est inclus dans Rat), nous pouvons construire un clavier K' en forme normale, équivalent à K et de taille polynomiale en celle de K , puis un automate $\mathcal{A}(K')$ de taille polynomiale en celle de K' (et donc en celle de K), le tout en temps polynomial.

De plus, par Lemme 99, $\mathcal{L}(\mathcal{A}(K')) = \mathcal{L}(K')$, ce qui donne le résultat. ◀

Nous allons à présent étendre ces résultats à REK. L'idée est assez naturelle, une exécution d'un clavier (T, F) de REK, c'est une exécution du clavier T de RK suivie de l'application d'une touche de F .

► **Theorem 102 (REK est inclus dans Rat).** Soit $K = (T, F) \in \text{REK}$. Alors $\mathcal{L}(K)$ est rationnel et on peut construire en temps polynomial un automate $\mathcal{A}(K)$ non déterministe reconnaissant $\mathcal{L}(K)$.

Démonstration. Soit $K \triangleq (T, F)$ un clavier de REK. On pose $L \triangleq \mathcal{L}(K)$ et $L_T = \mathcal{L}(T)$ où T est vu comme un clavier de RK.

Par Lemme 99 et Lemme 100, L_T est rationnel et on peut construire en temps polynomial un automate le reconnaissant. De plus, on remarque que

$$L = \bigcup_{f \in F} L_f$$

où $L_f \triangleq \{w \cdot f \mid w \in L_T\}$.

Soit f une touche finale de la forme $\leftarrow^k u \blacksquare$. Alors $L_f = (L_T/A^k)u + u$ où

$$L_T/A^k = \{w \mid \exists v \in A^k, wv \in L_T\}$$

est le quotient de L_T par A^k et est donc rationnel.

L'union, la concaténation et le quotient par A^k sont calculables en temps polynomial, ce qui nous donne le résultat. ◀

► **Remark 103.** Une construction explicite de l'automate est également possible, par exemple en se basant sur l'automate obtenu pour le clavier T de RK.

- L'état 0 n'est plus final et on rajoute un état Fin qui lui est final.
- Pour tous état i et $t_f = \leftarrow^i w \in F$, on rajoute une transition de i à Fin étiquetée par w . Ça correspond à lire vx (où $|x| = i$) avec T , puis appliquer t_f .
- Pour tout $t_f = \leftarrow^r w \in F$, on rajoute une transition de Init à Fin étiquetée par w .

4.2 Les claviers sans flèche droite

Dans cette section, nous allons montrer que les langages de GREK sont algébrique. L'idée est d'utiliser le fait que rien de ce qui est écrit à droite du curseur ne peut être affecté par une touche sans flèche droite.

On construit un automate à pile devinant une suite de touches et maintenant l'invariant « Après avoir exécuté une suite de touches $t_1 \dots t_n$, en posant u le contenu de la pile et v le mot lu par l'automate, on a $\langle \varepsilon | \varepsilon \rangle \cdot t_1 \dots t_n = \langle u | \bar{v} \rangle$ ».

Les opérations élémentaires de clavier sont faciles à traduire en transitions de manière à respecter cet invariant. Écrire une lettre revient à l'empiler, effectuer un retour arrière revient à supprimer la tête de pile, et exécuter une flèche gauche revient à dépiler la tête de pile et lire la lettre correspondante.

Après avoir deviné la suite de touches, l'automate dépile tous les éléments de sa pile en les lisant. On a alors lu le miroir du mot obtenu en exécutant cette suite de touches. Il suffit alors de construire un automate à pile reconnaissant le miroir du précédent.

► **Definition 104.** Soit $K = (T, F)$ un clavier de GREK. On définit l'automate à pile $\mathcal{M}(K)$ comme suit.

- Son ensemble d'états est $\text{Pref}(T \cup F) \cup \{\text{Fin}\}$.
- Son alphabet d'entrée est A , son alphabet de pile est $A \cup \{\perp\}$, \perp étant le symbole de fond de pile.
- ε est le seul état initial.
- Fin est le seul état final. L'automate accepte uniquement dans l'état Fin avec une pile vide.

— L'ensemble des transitions est $\Delta = \Delta_A \cup \Delta_{\blacktriangleleft} \cup \Delta_{\leftarrow} \cup \Delta_{boucle} \cup \Delta_{Fin}$ avec

$$\begin{aligned}\Delta_A &= \left\{ t \xrightarrow[\uparrow a, -]{\varepsilon} ta \mid ta \in \text{Pref}(T \cup F), a \in A \right\} \\ \Delta_{\blacktriangleleft} &= \left\{ t \xrightarrow[-, \downarrow a]{a} t\blacktriangleleft \mid t\blacktriangleleft \in \text{Pref}(T \cup F), a \in A \right\} \cup \\ &\quad \left\{ t \xrightarrow[\uparrow \perp, \downarrow \perp]{\varepsilon} t\blacktriangleleft \mid t\blacktriangleleft \in \text{Pref}(T \cup F) \right\} \\ \Delta_{\leftarrow} &= \left\{ t \xrightarrow[-, \downarrow a]{\varepsilon} t\leftarrow \mid t\leftarrow \in \text{Pref}(T \cup F), a \in A \right\} \cup \\ &\quad \left\{ t \xrightarrow[\uparrow \perp, \downarrow \perp]{\varepsilon} t\leftarrow \mid t\leftarrow \in \text{Pref}(T \cup F) \right\} \\ \Delta_{boucle} &= \left\{ t \xrightarrow[-, -]{\varepsilon} \varepsilon \mid t \in T \right\} \\ \Delta_{Fin} &= \left\{ t \xrightarrow[-, -]{\varepsilon} Fin \mid t \in F \right\} \cup \\ &\quad \left\{ Fin \xrightarrow[-, \downarrow a]{a} Fin \mid a \in A \right\} \cup \\ &\quad \left\{ Fin \xrightarrow[-, \downarrow \perp]{\varepsilon} Fin \right\}\end{aligned}$$

On utilise la notation s^u pour la configuration de l'automate $\mathcal{M}(K)$ dans l'état s avec u comme contenu de pile (de bas en haut).

► **Lemma 105.** Pour tout clavier $K = (T, F)$ de GREK, $\mathcal{L}(K) = \mathcal{L}(\widetilde{\mathcal{M}(K)})$.

Démonstration. Soient $u, v \in A^*$, soit $t = \sigma_1 \cdots \sigma_k \in T$.

Montrons que pour tout $1 \leq i \leq k$, il existe une exécution de $\mathcal{M}(K)$ lisant \tilde{v}' de $\varepsilon^{\perp u}$ dans la pile à $\sigma_1 \cdots \sigma_i^{\perp u'}$ si et seulement si $\langle u|v \rangle \cdot \sigma_1 \cdots \sigma_i = \langle u'|v'v \rangle$

On procède par induction sur i . Si $i = 0$, alors la propriété est trivialement vraie. Si $i > 0$, commençons par observer que la seule transition vers $\sigma_1 \cdots \sigma_i$ est depuis $\sigma_1 \cdots \sigma_{i-1}$. Alors par hypothèse d'induction en appliquant les transitions jusqu'à $\sigma_1 \cdots \sigma_{i-1}$ on lit un mot \tilde{v}'' et on obtient un contenu de pile u'' tels que $\langle u|v \rangle \cdot \sigma_1 \cdots \sigma_{k-1} = \langle u''|v''v \rangle$.

On distingue quatre cas :

- Si $\sigma_i = a \in A$, alors $\langle u|v \rangle \cdot \sigma_1 \cdots \sigma_i = \langle u''a|v''v \rangle$. De plus en appliquant la transition de $\sigma_1 \cdots \sigma_{i-1}$ à $\sigma_1 \cdots \sigma_i$ on obtient un contenu de pile $u''a$ et on ne lit pas de lettre.
- Si $\sigma_i = \blacktriangleleft$ ou \leftarrow et $u'' = \varepsilon$, alors $\langle u|v \rangle \cdot \sigma_1 \cdots \sigma_i = \langle u''|v''v \rangle$. De plus en appliquant la transition de $\sigma_1 \cdots \sigma_{i-1}$ à $\sigma_1 \cdots \sigma_i$ on obtient un contenu de pile u'' et on ne lit pas de lettre.
- Si $\sigma_i = \blacktriangleleft$ et $u'' = wa$, $w \in A^*, a \in A$ alors $\langle u|v \rangle \cdot \sigma_1 \cdots \sigma_i = \langle w|av''v \rangle$. De plus en appliquant la transition de $\sigma_1 \cdots \sigma_{i-1}$ à $\sigma_1 \cdots \sigma_i$ on obtient un contenu de pile w et on lit la lettre a .
- Si $\sigma_i = \leftarrow$ et $u'' = wa$, $w \in A^*, a \in A$, alors $\langle u|v \rangle \cdot \sigma_1 \cdots \sigma_k = \langle w|v''v \rangle$. De plus en appliquant la transition de $\sigma_1 \cdots \sigma_{i-1}$ à $\sigma_1 \cdots \sigma_i$ on obtient un contenu de pile w et on ne lit pas de lettre.

On obtient le résultat.

De plus toutes les transitions d'un $t \in T$ vers ε sont des ε -transitions sans effet sur la pile.

On en conclut que pour tous $u, v, u', v' \in A^*$, il existe une exécution de $\varepsilon^{\perp u}$ à $\varepsilon^{\perp u'}$ lisant \tilde{v}' si et seulement si il existe $t \in T$ telle que $\langle u|v \rangle \cdot t = \langle u'|v'v \rangle$.

De même il existe une exécution de $\varepsilon^{\perp u}$ à $\text{Fin}^{\perp u'}$ lisant \tilde{v}' si et seulement si il existe $t \in F$ telle que $\langle u|v \rangle \cdot t = \langle u'|v'v \rangle$.

Une induction immédiate généralise ceci à tout $\tau \in T^*$.

De plus l'automate accepte sur pile vide, et en Fin l'automate dépile et lit toute la pile puis accepte, donc un mot w est accepté si et seulement si il existe u, v tels que $w = \tilde{v}\tilde{u}$ et une exécution de l'automate lisant \tilde{v} de ε^\perp à $\text{Fin}^{u\perp}$.

Donc un mot w est accepté si et seulement s'il existe $u, v \in A^*$ et $t_1, \dots, t_n \in T, t' \in F$ tels que $w = \tilde{v}\tilde{u}$ et $\langle u|v \rangle = \langle \varepsilon|\varepsilon \rangle \cdot t_1 \cdots t_n t'$, donc si et seulement si $\tilde{w} \in \mathcal{L}(K)$.

On a bien $\mathcal{L}(\mathcal{M}(K)) = \mathcal{L}(K)$. ◀

► **Theorem 106.** *Soit L un langage de GREK. Alors L est algébrique et on peut construire en temps polynomial un automate à pile non déterministe reconnaissant L .*

► **Remark 107.** Si l'on se restreint à des claviers de REK, on se rend compte que l'automate à pile construit ne contient que des ε -transitions. Le mot lu est donc entièrement stocké sur la pile. On en déduit que le langage d'un clavier de REK correspond, à peu de choses près, au langage de pile de l'automate à pile qui le reconnaît.

Le langage de pile d'un automate à pile étant rationnel, cette observation peut mener à une autre preuve que les claviers de REK sont rationnels.

4.3 Les claviers sans retour

► **Theorem 108.** *Tout langage de FEK est contextuel.*

Démonstration. Étant donné un clavier $K = (T, F)$ de FEK, il est facile de construire $\mathcal{A}(K)$, un automate linéairement borné qui reconnaît $\mathcal{L}(\text{FEK})$. Étant donné une entrée w , l'automate procède ainsi.

- Il divise le ruban en deux parties : une pour mémoriser l'entrée (donc de taille linéaire) et une pour simuler une exécution de K (le Théorème 79 (du sous-mot) permet de la garder de taille linéaire).
- Il devine une séquence de touches de T suivie par une touche de F et applique leur effet à la volée. Après l'application de chaque touche, l'automate rejette si le mot sur la deuxième partie du ruban a une taille supérieure à $|w|$.
- Après avoir deviné et appliqué la touche de F , il compare le mot obtenu à w et accepte si et seulement si ils sont égaux.

Et on a bien $\mathcal{L}(\mathcal{A}(K)) = \mathcal{L}(K)$.

Notons que $\mathcal{A}(K)$ est de taille polynomiale en celle de K . ◀

Nous fournissons également une preuve où nous construisons une grammaire croissante pour K .

Démonstration. Rappelons que les langages contextuels sont équivalents aux langages de grammaires croissantes (avec mot vide autorisé) [2], c'est-à-dire des grammaires où pour toute production $\alpha \rightarrow \beta$ on a $\alpha \leq \beta$. La preuve consiste à construire une grammaire croissante \mathcal{G} qui reconnaît $\Diamond L \Diamond$, pour L un langage de FEK et $\Diamond \notin A$.

Soit $K = (T, F)$ un clavier de FEK. On définit sur l'alphabet $A \cup \{\Diamond\}$ où $\Diamond \notin A$,

$$\mathcal{G} = (\{| \}, A, \{S \rightarrow \Diamond | \Diamond\} \cup P \cup P_\varepsilon \cup P_F, S)$$

une grammaire croissante. Les \Diamond représentent le début et la fin du mot. Dans cette construction, ils ne sont pas enlevés à la toute fin.

On prend $P_\varepsilon = \{S \rightarrow \diamond\diamond\}$ s'il existe une touche acceptante $t_F \in F$ qui ne contient pas de symbole de A , et $P_\varepsilon = \emptyset$ sinon. Il reste à déterminer P et P_F .

L'idée est de définir, pour chaque touche t , une règle qui déplace le curseur $|$ et ajoute des symboles de A , en définissant l'action de chaque lettre de t . Pour construire l'action du mot entier, on unifie les actions de ses lettres.

On se munit de variables de mot $\alpha, \beta, \dots \in \mathcal{V}$ (infini dénombrable). Soit U l'union des ensembles de couples suivants :

$$\begin{aligned} U_a &= \{(\alpha|\beta, \alpha a |\beta)\} \text{ pour tout } a \in A \\ U_{\blacktriangleleft} &= \{(\diamond|\beta, \diamond|\beta)\} \cup \{\alpha a |\beta, \alpha | a \beta\} \text{ pour } a \in A \\ U_{\triangleright} &= \{(\alpha|\diamond, \alpha|\diamond)\} \cup \{\alpha | a \beta, \alpha a |\beta\} \text{ pour } a \in A. \end{aligned}$$

Pour deux couples $q_1 = (u_1, v_1)$ et $q_2 = (u_2, v_2) \in U$ (alpha-renommés différemment), on définit l'unification de $q_1 \sqcup q_2$ par échec si l'unification de v_1 et u_2 est échec, et sinon par $(u_1\sigma, v_2\sigma)$, où σ est la substitution telle que $v_1\sigma = u_1\sigma$.

On pose $U_\varepsilon = \emptyset$ pour toute touche $t = \sigma_1 \dots \sigma_n$, $U_t = (\dots (U_{\sigma_1} \star U_{\sigma_2}) \star \dots) \star U_{\sigma_n}$, où la composition¹ \star est définie par

$$U_\sigma \star U_{\sigma'} = \{q \sqcup q' \neq \text{échec} \mid q \in U_\sigma, q' \in U_{\sigma'}\}.$$

À un ensemble X de couples, on peut maintenant associer l'ensemble des productions $P(X) = \{u\sigma_\varepsilon \rightarrow v\sigma_\varepsilon \mid (u, v) \in X\}$, où σ_ε est la substitution qui à toute variable de mot associe ε . On définit alors $P = \bigcup_{t \in T} P(U_t)$.

Les couples des U_s pour $s \in A \cup \{\blacktriangleleft, \triangleright\}$ sont croissants. De plus, il est facile de voir que l'unification conserve cette croissance, puisque les substitutions la conservent (car chaque variable est présente dans la composante de gauche si et seulement si elle est présente dans la composante de droite du couple). Ainsi, les productions de P sont bien toutes croissantes.

Pour P_F , créé à partir des touches acceptantes, il faut s'assurer de ne pas avoir de production où effacer le curseur $|$ vient faire décroître la production. L'idée est donc de concaténer la production avec des productions strictement croissantes, d'où $P_F = \bigcup_{t_F \in F} P(U'_{t_F})$ où

$$U'_{t_F} = \bigcup_{\substack{t \in T \\ \exists a \in A, a \in t}} U_t \star (U_{t_F} \star \{(\alpha|\beta, \alpha\beta)\}).$$

Notons que la taille de P est bornée par $1 + (|T| + |F|)|A|^{2\|K\|_\infty}$.

On voit bien que $\mathcal{L}(G) = \diamond L \diamond$.

◀

4.4 Quelques résultats de décidabilité

Les résultats que nous avons démontré jusqu'ici nous permettent d'obtenir quelques résultats sur les problèmes de mot et d'universalité de certaines classes de clavier. Nous les exposons ici, ainsi que d'autres résultats de décidabilité.

1. En fait, \star est associative.

4.4.1 Le problème du mot

Pour commencer les différentes caractérisations obtenues nous donnent des bornes de complexité pour le problème du mot dans la plupart des classes de clavier.

► **Theorem 109.** *Le problème du mot est décidable en temps polynomial sur les claviers REK.*

Démonstration. Par le Théorème 102 (REK est inclus dans Rat). ◀

► **Theorem 110.** *Le problème du mot est décidable en temps polynomial sur les claviers GREK.*

Démonstration. Par le Théorème 106. ◀

Le Théorème 108 nous permet de montrer que le problème du mot est dans PSPACE. Pour améliorer cette borne, nous allons montrer que si un mot de taille n est reconnu par un clavier de FEK, alors il existe une exécution de taille polynomiale qui mène à ce mot.

► **Lemma 111.** *Soit $K = (T, F)$ un clavier de FEK et $w \in \mathcal{L}(K)$. Alors, il existe une exécution $\tau = t_1 \cdots t_n \in T^*F$ telle que $n \leq |w|^2 + 1$ et $\langle \varepsilon | \varepsilon \rangle \cdot \tau = \langle u | v \rangle$.*

Démonstration. Soit $u, v \in A^*$ et $\tau = t_1 \cdots t_n \in T^*F$ telle que $w = uv$ et $\langle \varepsilon | \varepsilon \rangle \cdot \tau = \langle u | v \rangle$. Nous allons montrer que si $n > |w|^2 + 1$, alors il existe une exécution plus courte qui mène à $\langle u | v \rangle$. Supposons donc $n > |w|^2 + 1$. Pour tout $0 \leq i \leq n$, on pose

$$\langle u_i | v_i \rangle = \langle \varepsilon | \varepsilon \rangle \cdot t_1 \cdots t_i \quad \text{et} \quad \ell_i = |u_i v_i|.$$

Par le Théorème 79 (du sous-mot), la séquence (ℓ_0, \dots, ℓ_n) est croissante. Puisque $n > |w|^2 + 1$ et $\ell_n = |w|$, alors il existe $0 \leq i \leq n - |w|$ telle que $\ell_i = \ell_{i+1} = \dots = \ell_{i+|w|}$ et, toujours par le Théorème 79 (du sous-mot), $u_i v_i = u_{i+1} v_{i+1} = \dots = u_{i+|w|} v_{i+|w|}$. On a donc $|w|$ configurations de suite avec le même mot. On distingue alors deux cas.

- Si $u_i v_i = w$ alors l'exécution $t_1 \cdots t_i$ écrit w .
- Sinon, il y a $|w| > \ell_i$ configurations de même taille ℓ_i et avec le même mot, donc deux de ces configurations sont identiques : il existe $i \leq j < k \leq i + |w|$ telle que $\langle u_j | v_j \rangle = \langle u_k | v_k \rangle$. L'exécution $t_1 \cdots t_j t_{k+1} \cdots t_n$ écrit alors w .

Et on a le résultat. ◀

► **Theorem 112.** *Le problème du mot sur les claviers de FEK est dans NP.*

Démonstration. Par le Lemme 111, il nous suffit de deviner une suite de touches de taille polynomiale, de l'exécuter, et de vérifier qu'elle mène bien au mot. ◀

4.4.2 Universalité

De même, nous tirons la plupart de nos résultats sur le problème d'universalité de nos différentes caractérisations.

► **Theorem 113.** *L'universalité est décidable en temps polynomial sur les claviers de REK.*

Démonstration. Par le Théorème 102 (REK est inclus dans Rat). ◀

Et une étude plus fine de certaines sous-classes de REK nous donne des résultats plus précis.

► **Theorem 114.** *L'universalité est décidable en temps polynomial sur les claviers de MK.*

Démonstration. Soit $K \subseteq A^*$ un clavier. Le langage de K est K^+ , donc K est universel si et seulement si $K^+ = A^*$. Montrons à présent que $K^+ = A^*$ si et seulement si $A \cup \{\varepsilon\} \subseteq K$.

- Supposons que $A \cup \{\varepsilon\} \subseteq K$. Alors, clairement $A^* = (A \cup \varepsilon)^+ \subseteq K^+$.
- Réciproquement, supposons que $A \cup \{\varepsilon\} \not\subseteq K$. Alors soit $\varepsilon \notin K$, auquel cas $\varepsilon \notin K^+$, soit il existe $a \in A$ tel que $a \notin K$, auquel cas $a \notin K^+$. Dans les deux cas $A^* \neq K^+$.

On peut donc tester l'universalité en regardant si $A \cup \{\varepsilon\} \subseteq K$, ce qui est possible en temps polynomial. ◀

Nous avons également un résultat plus précis pour RK grâce au lemme qui suit.

► **Lemma 115.** *Soit K un clavier de RK de norme strictement positif. Alors, pour tout $\tau \in K^*$, il existe $\tau' \in K^*$ de forme normale $\leftarrow^{k'} w'$ avec $k' < \|K\|_\infty$ tel que $\varepsilon \cdot \tau = \varepsilon \cdot \tau'$.*

Démonstration. On montre le résultat par induction sur τ . Le résultat est vraie pour une suite de touches vide (on garde la même suite). Soit $\tau \in K^*$. On suppose qu'il existe $\tau' \in K^*$ de forme normale $\leftarrow^{k'} w'$ avec $k' < \|K\|_\infty$ tel que $\varepsilon \cdot \tau = \varepsilon \cdot \tau'$. Soit $t \in K$. On regarde la suite $t\tau$.

- Il existe k et w tel que t est équivalente à $\leftarrow^k w$. Soit $n = |w| - k$.
- Si $n > 0$, alors $t\tau$ est équivalente à $\leftarrow^k w[1, n]w'$ et $t\tau$ convient (en particulier, $n > 0$ implique $|w| > 0$ et donc $k < \|K\|$).
- Sinon, $\varepsilon \cdot t\tau = w \cdot \tau = w \cdot \tau' = w' = \varepsilon \cdot \tau$ et τ' convient.

Ce qui montre le résultat. ◀

Remarquons également que le lemme est une conséquence triviale de la décomposition des exécutions de RK et plus particulièrement du Lemme 93. ◀

► **Theorem 116.** *L'universalité sur les claviers de RK est dans coNP.*

Démonstration. Soit K un clavier de RK de norme strictement positive. Nous allons montrer que pour reconnaître un mot w de taille $|w| > \|K\|_\infty$, il suffit de reconnaître tous les mots de taille strictement inférieure à $|w|$.

Soit donc w tel que $|w| > \|K\|_\infty \geq 1$. On suppose que pour tout w' de taille $|w'| < |w|$, on a $w' \in \mathcal{L}(K)$. Il existe $a \in A$ et $w_2 \in A^*$ tel que $w = aw_2$.

Par hypothèse, $w_2 \in L$, donc il existe $\tau_2 \in K^+$ tel que $\varepsilon \cdot \tau_2 = w_2$. Le Lemme 115 nous permet de supposer que τ_2 est équivalente à $\leftarrow^k w_2$ avec $k < \|K\|_\infty$.

De plus, par hypothèse, a^{k+1} est reconnu par K (car $k + 1 < \|K\|_\infty + 1 \leq |w|$). Ainsi, il existe $\tau_1 \in K^+$ tel que $\varepsilon \cdot \tau_1 = a^{k+1}$. On a alors $\varepsilon \cdot \tau_1 \tau_2 = aw_2$.

Ce résultat nous permet de montrer par induction que si K reconnaît tous les mots de taille inférieure ou égale à $\|K\|_\infty$, alors K est universel.

Pour montrer qu'un clavier K n'est pas universel, on peut alors accepter si $\|K\|_\infty$ est nul, et sinon deviner un mot w de taille $|w| \leq \|K\|_\infty$ et vérifier (en temps polynomial) que $w \notin \mathcal{L}(K)$. ◀

4.4.3 Vacuité de l'intersection de GK

Finalement, nous présentons un résultat intéressant sur les claviers de GK. Nous nous plaçons sur l'alphabet $A = A' \cup \{\diamond\}$ et nous posons $f: A'^* \rightarrow A^*$ la fonction qui ajoute un \diamond à la droite de chaque lettre, c'est-à-dire que si $u = a_1 \dots a_n$, alors $f(u) = a_1 \diamond a_2 \diamond \dots a_n \diamond$.

De plus, nous posons $K_{\text{pal}} = \{aa \blacktriangleleft \mid a \in A\} \cup \{\varepsilon\}$, donc $\mathcal{L}(K_{\text{pal}}) = \{ww \mid w \in A^*\}$ est le langage des palindromes pairs.

► **Theorem 117.** *Le problème suivant est indécidable.*

$$\text{Palindrome : } \begin{cases} \text{DONNÉE :} & \text{Un clavier } K \text{ de GK} \\ \text{QUESTION :} & \mathcal{L}(K) \cap \mathcal{L}(K_{\text{pal}}) = \emptyset ? \end{cases}$$

Démonstration. Nous allons réduire le problème de correspondance de Post. Considérons $(u_i, v_i)_{i \in \llbracket 1, n \rrbracket}$ une instance de PCP. Pour tout $i \in \llbracket 1, n \rrbracket$, on pose $t_i = f(u_i)\widehat{f(v_i)}\blacktriangleleft^{2|v_i|}$ et on considère le clavier

$$K = \{t_i \mid i \in \llbracket 1, n \rrbracket\}.$$

Montrons que $\mathcal{L}(K) \cap \mathcal{L}(K_{\text{pal}}) \neq \emptyset$ si et seulement si $(u_i, v_i)_{i \in \llbracket 1, n \rrbracket} \in \text{PCP}$. Une récurrence sur $k \in \mathbb{N}$ permet de montrer que pour toute suite d'indices $i_1, \dots, i_k \in \llbracket 1, n \rrbracket$,

$$\langle \varepsilon | \varepsilon \rangle \cdot (t_{i_1} \dots t_{i_k}) = \left\langle f(u_{i_1}) \dots f(u_{i_k}) \middle| \widehat{f(v_{i_k})} \dots \widehat{f(v_{i_1})} \right\rangle.$$

De plus, on note que si $k > 0$, alors $f(u_{i_1}) \dots f(u_{i_k})\widehat{f(v_{i_k})} \dots \widehat{f(v_{i_1})}$ a exactement un facteur $\diamond\diamond$ avec la dernière lettre de $f(u_{i_k})$ et la première lettre de $f(v_{i_k})$. Ainsi, ce mot est un palindrome si et seulement si $\widehat{f(v_{i_k})} \dots \widehat{f(v_{i_1})}$ est le miroir de $f(u_{i_1}) \dots f(u_{i_k})$ donc si et seulement si

$$f(u_{i_1}) \dots f(u_{i_k}) = f(v_{i_1}) \dots f(v_{i_k}).$$

Il nous suffit maintenant de montrer que $f(u_{i_1}) \dots f(u_{i_k}) = f(v_{i_1}) \dots f(v_{i_k})$ si et seulement si $u_{i_1} \dots u_{i_k} = v_{i_1} \dots v_{i_k}$. Et c'est bien le cas.

Donc K contient un palindrome de taille paire si et seulement s'il existe $k > 0$ et $i_1 \dots i_k \in \llbracket 1, n \rrbracket$ tel que $u_{i_1} \dots u_{i_k} = v_{i_1} \dots v_{i_k}$. ◀

► **Corollary 118.** *Le problème suivant est indécidable.*

$$\text{Vacuité de l'intersection : } \begin{cases} \text{DONNÉE :} & K_1 \text{ et } K_2 \text{ dans GK} \\ \text{QUESTION :} & \mathcal{L}(K_1) \cap \mathcal{L}(K_2) = \emptyset ? \end{cases}$$

► **Remark 119.** Cela signifie notamment que GK capture une part raisonnablement bonne de l'expressivité des algébriques, puisque ce problème est décidable pour deux langages rationnels.



5 La structure de FREK

Dans ce chapitre, nous allons établir plus précisément la structure de FREK en comparant les différentes classes entre elles.

Pour commencer, nous montrons que chaque flèche ajoute vraiment un peu plus d'expressivité.

5.1 GK n'est pas inclus dans REK

Pour montrer que GK n'est pas dans REK il suffit d'exhiber un langage de GK algébrique. Par exemple, les palindromes *de longueur paire* sont facilement faisables dans GK. Ici, nous allons nous intéresser au langage L des mots de Dyck (les mots bien parenthésés).

► **Proposition 120.** *Le langage L n'est pas dans REK.*

Démonstration. L n'est pas rationnel, et le Théorème 102 (REK est inclus dans Rat) permet de conclure. ◀

► **Proposition 121.** *Soit $K = \{()◀, ▶\}$. Alors $\mathcal{L}(K) = L$.*

Démonstration. Les mots engendrés sont clairement dans L , donc $\mathcal{L}(K) \subset L$.

On montre la réciproque par récurrence sur la longueur de $u \in L$. Montrons ainsi qu'il existe une suite de touche τ telle que telle que pour tout x, y , $\langle x|y \rangle \cdot \tau = \langle x|uy \rangle$.

- Pour $u = \varepsilon$, on prend $\tau = \varepsilon$.
- Soit u bien parenthésé de taille $2(n + 1)$. Il existe v et w de tailles respectives $2k$ et $2(n - k)$ tel que $u = (v)w$. Par hypothèse de récurrence, il existe τ_v et τ_w tel que $\langle x|y \rangle \cdot \tau_w = \langle x|wy \rangle$ et $\langle x(|)wy \rangle \cdot \tau_v = \langle x(|v)wy \rangle$. En posant $\tau = \tau_w()◀\tau_v◀$, on obtient bien $\langle x|y \rangle \cdot \tau = \langle x|uy \rangle$.

On a alors le résultat pour tout u non vide en appliquant le résultat obtenu pour $x = y = \varepsilon$. Pour le mot vide, on a $\varepsilon \cdot \blacktriangleleft = \varepsilon$ (on ne peut pas prendre $\tau = \varepsilon$, car une exécution contient au moins une touche). ◀

► **Corollary 122.** *RK, EK et REK ne contiennent aucune classe contenant le symbole \blacktriangleleft .*

5.2 FK n'est pas inclus dans GREK

Soit $L = \{ab^{n+1}a^n \mid n \in \mathbb{N}\}$.

► **Proposition 123.** *Soit $K = \{a◀^2▶b\}$. Alors, $\mathcal{L}(K) = L$.*

Démonstration. En appliquant $a◀^2▶b$ sur $\langle \varepsilon|\varepsilon \rangle$ on obtient $\langle ab|\varepsilon \rangle$, et en l'appliquant sur une configuration de la forme $\langle ub|v \rangle$ on obtient $\langle ubb|av \rangle$. Le mot obtenu en l'appliquant n fois sur $\langle \varepsilon|\varepsilon \rangle$ est donc $ab^{n+1}a^n$, ce clavier produit donc bien le langage $\{ab^{n+1}a^n \mid n \in \mathbb{N}\}$. ◀

Nous allons maintenant montrer que ce clavier n'est pas dans GREK.

► **Lemma 124.** *Soit $K = (T, F)$ reconnaissant L . Alors, pour tout $\tau \in T^*$, $\langle \varepsilon|\varepsilon \rangle \cdot \tau$ est de la forme $\langle u|a^k \rangle$.*

Démonstration. Puisque $abba \in L$, il existe $\tau \in T^*$ et $t_f \in F$ telle que $\langle \varepsilon|\varepsilon \rangle \cdot \tau t_f = \langle x|y \rangle$ avec $xy = abba$.

Soit $\langle u|v \rangle$ avec v contenant un b . Alors, par le Théorème 77 (fondamental de GREK), $\langle u|v \rangle \cdot \tau t_f$ est de la forme $\langle u'x|v'v \rangle$ avec y un sous-mot de v' . Par suite, $abba$ est un sous mot de $u'xv'v$, ce qui est impossible car $u'xv'v \in L$. ◀

► **Proposition 125.** *Le langage L n'est pas dans GREK.*

Démonstration. Supposons que $K = (T, F)$ de GREK reconnaissse L . Soient $\tau \in T^*$ et $t_f \in F$. On pose

$$\langle x|y \rangle = \langle \varepsilon|\varepsilon \rangle \cdot t_f \quad \text{et} \quad \langle u|v \rangle = \langle \varepsilon|\varepsilon \rangle \cdot \tau.$$

Il existe $n \in N$ tel que $xy = ab^{n+1}a^n$. Par le Théorème 77 (fondamental de GREK), $\langle \varepsilon|\varepsilon \rangle \cdot \tau t_f$ est de la forme $\langle u'x|v'v \rangle$ avec y un sous-mot de v' .

Puisque $ab^{n+1}a^n$ est un sous mot de xv' et que $u'xv'v \in L$, alors u' est vide (sinon $u'xv'v$ commence par au moins deux a).

Par le Lemme 46 (Encadrement des tailles), $|v'v| - |v| \leq |t| \leq \|K\|_\infty$, c'est-à-dire $|v'| \leq \|K\|_\infty$. De plus, toujours par le Lemme 46 (Encadrement des tailles), $|x| \leq \|K\|_\infty$.

Mais, par le Lemme 124, v ne contient que des a . Alors, tous les b de $u'xv'v$ sont dans x et v' ce qui borne le nombre de b qu'il est possible d'obtenir et mène donc à une contradiction. ◀

► **Corollary 126.** EK, RK, GK, GEK, GRK, REK et GREK ne contiennent aucune classe contenant le symbole ►.

5.3 RK n'est pas inclus dans FEK

On se place sur un alphabet $A = \{a, b, \diamond, \lozenge\}$.

On considère le langage L engendré par le clavier de RK $\{\leftarrow a \lozenge \diamond, \leftarrow \leftarrow b \lozenge \diamond \diamond\}$. Nous allons montrer que ce langage n'est pas dans FEK.

Dans toute la suite nous noterons $t_a = \leftarrow a \lozenge \diamond$ et $t_b = \leftarrow \leftarrow b \lozenge \diamond \diamond$.

► **Lemma 127.** Soit $x: \llbracket 1; n \rrbracket \mapsto \{a, b\}$. On a

$$\langle \varepsilon|\varepsilon \rangle \cdot t_{x_1} \cdots t_{x_n} = x_1 w_{x_1 x_2} x_2 w_{x_2 x_3} x_3 \cdots w_{x_{n-1} x_n} x_n v_{x_n}$$

avec $w_{aa} = w_{bb} = \lozenge$, $w_{ab} = \varepsilon$, $w_{ba} = \lozenge \diamond$, $v_a = \lozenge \diamond$ et $v_b = \lozenge \diamond \diamond$.

En particulier, pour tous $u_1, u_2, u_3 \in A^*$ si $u_1 bu_2 au_3 \in L$, alors u_2 contient un \diamond .

Démonstration. Nous procédons par récurrence sur n . Pour $n = 1$ la propriété est claire.

Soit $n > 1$, soit $x: [1; n] \mapsto \{a, b\}$. On pose $x' = x_1 \cdots x_{n-1}$ et on suppose

$$\langle \varepsilon|\varepsilon \rangle \cdot t_{x_1} \cdots t_{x_{n-1}} = x_1 w_{x_1 x_2} \cdots x_{n-1} v_{x_{n-1}}.$$

On distingue alors quatre cas.

— Si $x_{n-1} = x_n = a$, alors $v_{x_{n-1}} = \lozenge \diamond$ et donc

$$\langle \varepsilon|\varepsilon \rangle \cdot t_{x_1} \cdots t_{x_n} = x_1 w_{x_1 x_2} \cdots x_{n-1} \lozenge a \lozenge \diamond.$$

— Si $x_{n-1} = x_n = b$, alors $v_{x_{n-1}} = \lozenge \diamond \diamond$ et donc

$$\langle \varepsilon|\varepsilon \rangle \cdot t_{x_1} \cdots t_{x_n} = x_1 w_{x_1 x_2} \cdots x_{n-1} \lozenge b \lozenge \diamond \diamond.$$

— Si $x_{n-1} = a$ et $x_n = b$, alors $v_{x_{n-1}} = \lozenge \diamond$ et donc

$$\langle \varepsilon|\varepsilon \rangle \cdot t_{x_1} \cdots t_{x_n} = x_1 w_{x_1 x_2} \cdots x_{n-1} b \lozenge \diamond \diamond.$$

— $x_{n-1} = b$ et $x_n = a$, alors $v_{x_{n-1}} = \lozenge \diamond \diamond$ et donc

$$\langle \varepsilon|\varepsilon \rangle \cdot t_{x_1} \cdots t_{x_n} = x_1 w_{x_1 x_2} \cdots x_{n-1} \lozenge \diamond a \lozenge \diamond.$$



Dans tous les cas la propriété est vérifiée. ◀

► **Proposition 128.** *Le langage L n'est pas dans FEK.*

Démonstration. Supposons qu'il existe un clavier $K = (T, F)$ de FEK reconnaissant L . Ici, nous allons noter les touches de K avec un « k » pour ne pas les confondre avec les touches du clavier de RK.

Puisque $\diamond\blacklozenge \in K$, il existe $\tau_f \in T^*F$ qui produit ce mot.

De plus, $w = (a\diamond)^{3\|K\|_\infty} a\diamond\blacklozenge \in L$ (obtenu en appliquant $3\|K\|_\infty$ fois la touche t_a). Donc il existe une exécution de K produisant ce mot. Par le Lemme 80 (Non effacement), comme $|k|_a \leq \|K\|_\infty$ pour tout $k \in T \cup F$, cette exécution contient au moins quatre touches contenant a , donc au moins trois dans T (car il y a une seule touche finale par exécution).

Comme w contient un seul \blacklozenge , une de ces touches, k_a , contient un a , mais pas de \blacklozenge ni de b .

De même, on montre en partant de $(b\diamond)^{3\|K\|_\infty} b\diamond\blacklozenge\blacklozenge$ qu'il existe $k_b \in T$ qui contient un b , mais pas de \blacklozenge ni de a .

Soit $\tau = k_a k_b$. On note

$$\langle u|v \rangle = \langle \varepsilon|\varepsilon \rangle \cdot \tau \quad \text{et} \quad \langle u'|v' \rangle = \langle u|v \rangle \cdot \tau_f$$

On a que $u'v'$ contient un seul \blacklozenge . De ce fait, et puisque $u'v' \in L$, $u'v'$ est de la forme $wa\diamond\blacklozenge$ avec w qui ne contient pas de \blacklozenge .

Puisque wa contient au moins un b , wa est de la forme u_1bu_2a , donc par le Lemme 127, u_2 contient un \blacklozenge , ce qui est impossible. En conclusion, $L \notin \text{FEK}$. ◀

► **Corollary 129.** *EK, GEK et FEK ne contiennent aucune classe contenant le symbole \leftarrow .*

$$\text{RK} \not\subset \text{EK} \quad \text{RK} \not\subset \text{GK} \quad \text{RK} \not\subset \text{FK}$$

$$\text{RK} \not\subset \text{GEK} \quad \text{RK} \not\subset \text{FEK}$$

$$\text{GRK} \not\subset \text{GEK} \quad \text{FRK} \not\subset \text{FEK}$$

$$\text{GREK} \not\subset \text{GEK} \quad \text{FREK} \not\subset \text{FEK}.$$

5.4 EK n'est pas inclus dans FK

L'étude de l'apport de l'entrée est un peu plus compliquée. En effet, nous n'avons pas de preuve que EK n'est pas inclus dans FRK.

Nous allons montrer que les langages finis non vides ne sont pas dans FK.

► **Proposition 130.** *Si L est fini et dans FK alors $L \subset \{\varepsilon\}$.*

Démonstration. Nous raisonnons par contraposée. S'il existe w non vide dans L , alors w contient une lettre a . Le Lemme 81 (Itération de lettre) nous donne l'existence de $(w_n)_{n \in \mathbb{N}}$ telle que $\forall n \in \mathbb{N}, |w_n|_a \geq n$.

Donc L est infini. ◀

► **Corollary 131.** *FK et GK ne contiennent aucune classe contenant le symbole \blacksquare .*

► **Remark 132.** Les langages finis sont également dans RK. En posant, pour L un langage fini, $M = \max_{w \in L} |w|$ et

$$K = \{\leftarrow^M w \mid w \in L\},$$

alors K reconnaît le langage L .

On obtient une nouvelle preuve (plus simple) que FK et GK ne contiennent aucune classe contenant le symbole \leftarrow , résultat déjà établi en Section 5.3.

5.5 EK n'est pas inclus dans GRK

On considère le langage $L \triangleq (a^2)^*(b + b^2)$.

► **Proposition 133.** Soit $K = \{aa, b\blacksquare, bb\blacksquare\}$. Alors $\mathcal{L}(K) = L$.

Nous montrons maintenant que L n'est pas dans GRK. On commence par montrer que si K de GRK reconnaît L , alors le curseur reste toujours tout à gauche du mot, et donc K est un clavier de RK.

► **Lemma 134.** Si K de GRK reconnaît L , alors K est équivalent à un clavier de RK.

Démonstration. Puisque $b^2 \in L$, il existe une suite de touches τ_{b^2} de K telle que $\langle \varepsilon | \varepsilon \rangle \cdot \tau_{b^2} = \langle x | y \rangle$ avec $xy = b^2$. est reconnu par τ .

Soit $\tau \in K^*$. On pose $\langle u | v \rangle = \langle \varepsilon | \varepsilon \rangle \cdot \tau$. Par le Théorème 77 (fondamental de GREK), $\langle \varepsilon | \varepsilon \rangle \cdot \tau \tau_{b^2}$ est de la forme $\langle u'x | v'v \rangle$ avec y un sous-mot de v' . Ainsi xv' contient deux b , et puisque $u'xv'v \in L$, on obtient que $v = \varepsilon$.

Supposons alors une touche t contenant la flèche gauche. On a t de la forme $t_1 \blacktriangleleft t_2$. Il existe τ telle que $\langle \varepsilon | \varepsilon \rangle \cdot \tau = \langle a^{2M}b | \varepsilon \rangle$ avec $M = \|K\|_\infty$. On a $\langle a^{2M} | \varepsilon \rangle \cdot t_1 = \langle u | v \rangle$ avec u non vide donc de la forme $u'a$. Alors $\langle a^{2M} | \varepsilon \rangle \cdot t = \langle u' | av \rangle \cdot t_2$ et le a restera toujours à droite du curseur donc la seconde composante de la configuration n'est pas vide.

On en déduit qu'aucune touche de K ne contient \blacktriangleleft , et K est donc un clavier de RK. ◀

Il nous suffit alors de montrer que L n'est pas dans RK.

► **Proposition 135.** Le langage L n'est pas dans RK.

Démonstration. Supposons qu'il existe un clavier K de RK qui reconnaît L . Le Corollaire 75 (Forme normale de REK) nous permet de supposer qu'il est sous forme normale.

Puisque $b^2 \in L$, alors il existe une suite de touches τ telle que $\varepsilon \cdot \tau = b^2$. La suite τ est alors, par mise sous forme normale, équivalent à $\leftarrow^k b^2$ avec $k \in \mathbb{N}$. Nous raisonnons alors suivant la valeur de k .

- Si $k = 0$, alors $\tau \sim b^2$; on a alors $\varepsilon \cdot \tau \cdot \tau = b^2 \cdot \tau = b^4 \in L$.
- Si $k = 1$, alors $\tau \sim \leftarrow b^2$; on a alors $\varepsilon \cdot \tau \cdot \tau = b^2 \cdot \tau = b^3 \in L$.
- Si $k > 1$ et **k pair**; on a $a^{2k}b \in L$, et donc $a^{2k}b \cdot \tau = a^{k+1}b^2 \in L$.
- Si $k > 1$ et **k impair**; on a $a^{2k}b^2 \in L$, et donc $a^{2k}b^2 \cdot \tau = a^{k+2}b^2 \in L$.

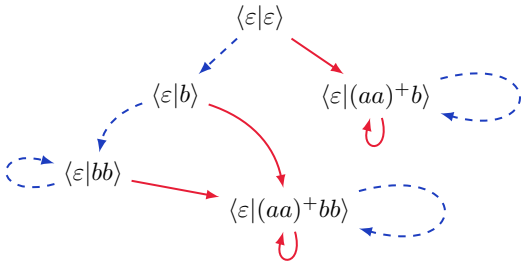
Dans tous les cas, on aboutit à une contradiction, ce qui permet de conclure la preuve. ◀

► **Corollary 136.** GK, RK et GRK ne contiennent aucune classe contenant le symbole \blacksquare .

Nous remarquons de plus que ce langage est dans FRK. Il ne permet donc pas de montrer que EK n'est pas inclus dans FRK (résultat que nous ne connaissons pas encore).

► **Proposition 137.** Soit $K = \{\textcolor{blue}{t}_1, \textcolor{red}{t}_2\}$, avec $\textcolor{blue}{t}_1 = b\blacktriangleright\blacktriangleright\blacktriangleleft\leftarrow$ et $\textcolor{red}{t}_2 = b\blacktriangleright\blacktriangleright\blacktriangleleft\leftarrow aa\blacktriangleleft\blacktriangleleft$. Alors, $\mathcal{L}(K) = L$.

Démonstration. Pour montrer l'inclusion de $\mathcal{L}(K)$ dans $(a^2)^*(b + b^2)$, on considère les ensembles de configurations représentés sur le schéma suivant. Les transitions rouges (flèches pleines) désignent l'application de t_1 , les bleues (pointillés) celle de t_2 . La notation $\langle \varepsilon | L \rangle$ désigne l'ensemble de configuration $\{\langle \varepsilon | w \rangle \mid w \in L\}$. On vérifie facilement que depuis une configuration de chacun de ces langages, en appliquant la touche t_i on obtient une configuration du langage atteint par la transition t_i sur le schéma. Les mots correspondant aux configurations de tous ces langages étant dans $(a^2)^*(b + b^2)$, on obtient l'inclusion.



Pour l'inclusion inverse, il nous suffit d'observer que pour tout $k \in \mathbb{N}$,

$$\begin{aligned} \langle \varepsilon | \varepsilon \rangle &\xrightarrow{t_2^k} \langle \varepsilon | b^{2k+2} a \rangle \\ \langle \varepsilon | \varepsilon \rangle &\xrightarrow{t_1 t_2^k} \langle \varepsilon | b^{2k} aa \rangle \\ \langle \varepsilon | \varepsilon \rangle &\xrightarrow{t_1} \langle \varepsilon | aa \rangle \xrightarrow{t_1} \langle \varepsilon | aa \rangle. \end{aligned}$$

◀

5.6 GEK n'est pas inclus dans FRK

Et finalement, à défaut de montrer que EK n'est pas inclus dans FRK, nous allons montrer que GEK n'est pas inclus dans FRK. En particulier, cela montrera que tous les claviers ne sont pas automatiques et que l'entrée ajoute bien de l'expressivité !

Nous nous plaçons sur l'alphabet $A = \{a, b, c\}$ et nous considérons $L = L_1 \cup L_2$ avec $L_1 = \{w\tilde{w} \mid w \in \{a, b\}^*\}$ et $L_2 = \{wcc\tilde{w} \mid w \in \{a, b\}^*\}$.

► **Proposition 138.** Soit $K = \{\text{aa}\blacktriangleleft, \text{bb}\blacktriangleleft, \text{c}\blacksquare, \text{cc}\blacksquare\}$. Alors $\mathcal{L}(K) = L$.

Démonstration. Notons $t_a = \text{aa}\blacktriangleleft$ et $t_b = \text{bb}\blacktriangleleft$. Une induction montre que $\mathcal{L}(\{t_a, t_b\})$ est le langage des palindromes et que les configurations sont de la forme $\langle w|\tilde{w} \rangle$. Et les touches finales de K permettent d'affirmer que $\mathcal{L}(K) = L$. ◀

Nous allons montrer que $L \notin \text{FRK}$. L'intuition est la suivante. Supposons avoir un clavier K de FRK pour L . Puisque nous voulons reconnaître à peu de choses près des palindromes, il nous faut rester près du centre du mot (pour pouvoir rajouter des a ou des b de chaque côté du c ou du cc).

Avec des mots très grands, cela reviendra à être très loin du bord et à appliquer les touches loin des bords. En particulier, on obtient qu'il y a une touche t qui assure un a loin des bords. Et cette touche assure même deux a loin des bords (en l'appliquant, il faut pouvoir rester dans le langage).

On peut alors regarder le comportement de cette touche sur $b^n cb^n$ et $b^n ccb^n$ avec n très grand, de manière à appliquer la touche loin des bords. La touche fera alors exactement la même chose dans les deux cas. En particulier, on remarque ces deux points.

- Les a seront à la même distance d dans les deux mots obtenus. Donc les deux mots obtenus sont tous les deux de la même forme (donc soit ils ont tous les deux un seul c , soit ils en ont tous les deux deux).
- La touche ajoute dans les deux cas un nombre de lettres δ , et donc si $b^n cb^n$ devient un mot de taille paire, alors $b^n ccb^n$ devient un mot de taille impaire et vice-versa. Cela implique que les deux mots obtenus n'ont pas le même nombre de c .

On commence par montrer que la distance des a est la même si on applique une même touche à deux grandes configurations qui ne contiennent pas de a .

► **Lemma 139.** *Soient $t \in T$ une touche et $u, v, u', v' \in A^*$ des mots ne contenant pas de a et de longueurs supérieures ou égales à $|t|$. Alors*

$$d_a(\langle u|v \rangle \cdot t) = d_a(\langle u'|v' \rangle \cdot t).$$

Démonstration. Par le Proposition 68, t écrit un a en position i depuis $\langle u'|v' \rangle$ si et seulement si t écrit un a en position i depuis $\langle u|v \rangle$.

Et puisque $\langle u|v \rangle$ ne contient pas de a , alors, par le Proposition 59, $(\langle u|v \rangle \cdot t)_i = a$ si et seulement si t écrit un a en position i depuis $\langle u|v \rangle$. De même, $(\langle u'|v' \rangle \cdot t)_i = a$ si et seulement si t écrit un a en position i depuis $\langle u'|v' \rangle$.

Donc $(\langle u|v \rangle \cdot t)_i = a$ si et seulement si $(\langle u'|v' \rangle \cdot t)_i = a$, ce qui montre le résultat. ◀

Nous pouvons maintenant revenir à la preuve de notre résultat. On suppose avoir K qui reconnaît L .

On commence par prouver que le curseur reste proche du centre du mot.

► **Lemma 140.** *Soit $\langle u|v \rangle$ atteint par une exécution de K et $t \in K$ tel que, en notant $\langle u'|v' \rangle = \langle u|v \rangle \cdot t$, on a $uv \neq u'v'$. Alors $\|u|v\| \leq 6\|K\|_\infty$ et $\|u'|v'\| \leq 8\|K\|_\infty$.*

Démonstration. Supposons $\|u|v\| > 6\|K\|_\infty \geq 6|t|$. Alors, soit $|u| - |v| > 6|t|$, soit $|v| - |u| > 6|t|$. On suppose être dans la première situation, l'autre cas est similaire. On a donc

$$|u| = \frac{|u|}{2} + \frac{|u|}{2} > \frac{|u|}{2} + \frac{|v| + 6|t|}{2}$$

D'où $|u| \geq \frac{|uv|}{2} + 3|t|$.

Comme $uv \in L$, uv est de la forme $wc\tilde{w}$ ou $wcc\tilde{w}$ pour un certain $w \in \{a, b\}^*$.

On obtient du Lemme 44 (Localité) qu'il existe un préfixe commun u_p à u et u' tel que

$$|u_p| \geq |u| - |t| \geq \frac{|uv|}{2} + 2|t| \geq \frac{|uv|}{2} + 2,$$

la dernière inégalité étant vraie puisque t est non vide (car $uv' \neq uv$).

Donc u_p est de la forme wcy (et $uv = wc\tilde{w}$) ou $wccy$ (et $uv = wcc\tilde{w}$) avec $y \in \{a, b\}^+$. Comme $u'v'$ est dans L , dans les deux cas $uv = u'v'$, ce qui contredit nos hypothèses.

En conclusion, on a bien $\|u|v\| \leq 6\|K\|_\infty$.

Le Lemme 46 (Encadrement des tailles) nous donne $\|u|v\| \leq |t|$ et $\|u'|v'\| \leq |t|$. De ce fait,

$$\|u'|v'\| \leq \|u|v\| + \|u|u'\| + \|v|v'\| \leq 6\|K\|_\infty + 2|t| \leq 8\|K\|_\infty.$$

◀

► **Lemma 141.** *Si $K \in \text{FRK}$ reconnaît L , alors K contient une touche qui assure un a loin des bords.*

Démonstration. Soit $w = a^{6\|K\|_\infty} cca^{6\|K\|_\infty}$. Il existe $t_1 \cdots t_n \in T^*$ tel que $\langle \varepsilon|\varepsilon \rangle \cdot t_1 \cdots t_n = \langle u|v \rangle$ avec $uv = w$. Soit i minimal tel que le nombre de a dans $\langle u_i|v_i \rangle = \langle \varepsilon|\varepsilon \rangle \cdot t_1 \cdots t_i$ soit maximal. On pose

$$\langle u_{i-1}|v_{i-1} \rangle = \langle \varepsilon|\varepsilon \rangle \cdot t_1 \cdots t_{i-1}.$$



En particulier $\langle u_i | v_i \rangle$ contient au moins $12\|K\|_\infty a$. Le Lemme 46 (Encadrement des tailles) donne alors

$$|u_{i-1}v_{i-1}| \geq |u_iv_i| - |t_i| \geq 12\|K\|_\infty - \|K\|_\infty \geq 11\|K\|_\infty. \quad (1)$$

De plus, par le Lemme 140, $\|u_{i-1} - v_{i-1}\| \leq 6\|K\|_\infty$, donc, par inégalité triangulaire,

$$|u_{i-1}v_{i-1}| \leq |u_{i-1}| + (|u_{i-1}| + 6\|K\|_\infty).$$

En supposant $|u_{i-1}| < \|K\|_\infty$, on aurait $|u_{i-1}v_{i-1}| \leq 8\|K\|_\infty$, ce qui contredit (1). Donc $|u_{i-1}| \geq \|K\|_\infty$.

De même, on montre que $|v_{i-1}| \geq \|K\|_\infty$. Ainsi u_{i-1} et v_{i-1} sont de longueurs supérieures ou égales à $\|K\|_\infty$, et le Proposition 71 nous donne que t_i assure un a loin des bords, car, par minimalité de i , $\langle u_{i-1} | v_{i-1} \rangle$ contient strictement moins de a que $\langle u_i | v_i \rangle$. ◀

► **Lemma 142.** *Le langage L n'est pas reconnu par un clavier de FRK.*

Démonstration. Supposons qu'il existe un clavier K de FRK reconnaissant L . Alors, il existe des suites de touches minimales τ et τ' qui mènent respectivement aux configurations $\langle u | v \rangle$ et $\langle u' | v' \rangle$ avec $uv = b^5\|K\|_\infty cb^5\|K\|_\infty$ et $u'v' = b^5\|K\|_\infty ccb^5\|K\|_\infty$.

Notons $\langle x | y \rangle$ l'avant-dernière configuration correspondant à l'exécution de τ . Par minimalité de τ , $xy \neq uv$ et le Lemme 140 donnent alors $\|u|v\| \leq 8\|K\|_\infty$.

De même, on montre que $\|u'|v'\| \leq 8\|K\|_\infty$.

En particulier, comme $|uv|, |u'v'| > 10\|K\|_\infty$ on a $|u|, |v|, |u'|, |v'| \geq \|K\|_\infty$.

Par le Lemme 141, il existe $t \in T$ telle que t assure un a loin des bords. On pose alors

$$\langle u_a | v_a \rangle = \langle \varepsilon | \varepsilon \rangle \cdot \tau t \quad \text{et} \quad \langle u'_a | v'_a \rangle = \langle \varepsilon | \varepsilon \rangle \cdot \tau' t.$$

Par le Lemme 139, on a $d_a(u_a v_a) = d_a(u'_a v'_a)$. On pose

$$d = d_a(u_a v_a) \quad \text{et} \quad \delta = \sum_{x \in A} |t|_x - |t|_{\leftarrow}.$$

On a $|u| \geq |t|$, $|v| \geq |t|$ et t assure un a loin des bords, donc $u_a v_a$ contient au moins un a et donc en contient au moins deux car $u_a v_a \in L$. On en déduit que $d \in \mathbb{N}$.

De plus, puisque $u_a v_a$ et $u'_a v'_a$ sont dans L , alors si d est pair ils sont tous les deux dans L_2 et sinon tous les deux dans L_1 .

Mais si δ est pair alors par le Lemme 48 (Égalité des tailles loin des bords),

$$\begin{cases} |u_a v_a| = |uv| + \delta = 10\|K\|_\infty + 1 + \delta & \text{est impair} \\ |u'_a v'_a| = |u'v'| + \delta = 10\|K\|_\infty + 2 + \delta & \text{est impair} \end{cases}$$

donc $u_a v_a \in L_1$ et $u'_a v'_a \in L_2$, ce qui contredit le fait qu'ils sont dans le même L_j .

De même si δ est impair alors $u_a v_a \in L_2$ et $u'_a v'_a \in L_1$, ce qui contredit le fait qu'ils sont dans le même L_j .

On obtient une contradiction, donc L n'est pas reconnu par un clavier de FRK. ◀

► **Corollary 143.** RK, FK et FRK ne contiennent aucune classe contenant les symboles ◀ et ■.

5.7 Comparaison à la hiérarchie de Chomsky

Nous comparons également les différentes classes de langages à celles de la hiérarchie de CHOMSKY.

5.7.1 Rat n'est pas inclus dans FEK

Le résultat tombe trivialement des résultats établis précédemment.

► **Theorem 144.** Rat n'est pas inclus dans FEK.

Démonstration. REK n'est pas inclus FEK et REK est inclus dans Rat. ◀

► **Corollary 145.** Rat n'est inclus dans aucune sous-classe de FEK.

5.7.2 Rat n'est pas inclus dans GREK

On pose $L = a^* + b^*$.

► **Lemma 146.** Le langage L n'est pas dans GREK.

Démonstration. Supposons qu'il existe $K = (T, F)$ de GREK qui reconnaisse L . Il existe $\tau_a \in T^*$ et $f_a \in F$ tel que $\langle \varepsilon | \varepsilon \rangle \cdot \tau_a f_a = \langle u_a | v_a \rangle$ avec $u_a v_a = a$.

Il existe $\tau_b \in T^*$ et $f_b \in F$ tel que $\langle \varepsilon | \varepsilon \rangle \cdot \tau_b f_b = \langle u_b | v_b \rangle$ avec $u_b v_b = b^{1+\|K\|_\infty(|\tau_a|+2)}$.

Par le Lemme 44 (Localité), en appliquant τ_b à $\langle \varepsilon | \varepsilon \rangle$, on obtient un mot w contenant un nombre de b supérieur ou égal à $1 + \|K\|_\infty(|\tau_a| + 1)$.

Regardons alors, le mot w obtenu avec $\langle \varepsilon | \varepsilon \rangle \cdot \tau_b \tau_a f_a$. Par le Théorème 77 (fondamental de GREK), ce mot contient au moins un a . Mais, en appliquant $\tau_a f_a$ on peut supprimer au plus $\|K\|_\infty(|\tau_a| + 1)$ lettres de w , donc le mot obtenu contient au moins un b . On obtient donc un mot avec des a et des b , impossible, d'où le résultat. ◀

► **Corollary 147.** Rat n'est inclus dans aucune sous-classe de GREK.

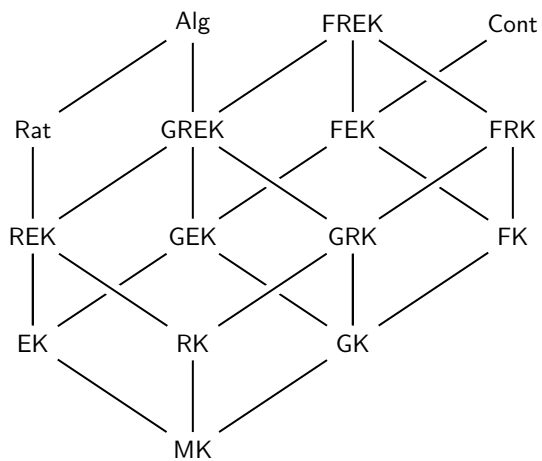
► **Remark 148.** On montre facilement que L n'est pas non plus dans FEK.

Démonstration. Supposons qu'il existe $K = (T, F)$ de FEK qui reconnaisse L . Puisque $a^{\|K\|_\infty+1}$ et $b^{\|K\|_\infty+1}$ sont dans L , alors il existe t_a et t_b dans T qui écrivent respectivement un a et un b . Puisqu'on ne peut pas effacer dans FEK, alors pour toute touche finale f , $\langle \varepsilon | \varepsilon \rangle \cdot t_a t_b f$ contient un a et un b , d'où le résultat. ◀

► **Remark 149.** Ce langage ne semble pas non plus être dans FREK et est un bon candidat pour montrer que Rat n'est pas dans FREK.

La hiérarchie des claviers

Finalement, on obtient la Figure 2 (Hiérarchie des langages) qui résume les inclusions des classes étudiées et établit une hiérarchie des claviers. Néanmoins, deux questions sont pour l'instant sans réponse : a-t-on REK ⊂ FRK ? EK ⊂ FRK ?



■ **Figure 2** Hiérarchie des langages

6 Les propriétés de stabilité

Et finalement, nous étudions quelques propriétés de stabilité des différentes classes de clavier.

6.1 Stabilité par morphisme

La stabilité des langages de clavier par morphisme bien choisi est un résultat relativement évident. Par exemple, si l'on a un morphisme lettre à lettre, il est évident qu'il suffit de remplacer chaque lettre de chaque touche du clavier par son image par le morphisme.

► **Definition 150.** Soit $g: A^* \rightarrow B^*$ un morphisme lettre à lettre. On définit le prolongement de g , noté également \bar{g} , de $(A \cup S)^*$ dans $(B \cup S)^*$ en posant $\bar{g}(\leftarrow) = \leftarrow$, $\bar{g}(\blacktriangleleft) = \blacktriangleleft$ et $\bar{g}(\blacktriangleright) = \blacktriangleright$.

► **Theorem 151.** Soient L reconnu par un clavier $K = (T, F)$ et $g: A^* \rightarrow B^*$ un morphisme lettre à lettre. Alors, $\bar{g}(L) = \{\bar{g}(w) \mid w \in L\}$ est reconnu par le clavier

$$\bar{g}(K) = (\{\bar{g}(t) \mid t \in T\}, \{\bar{g}(t) \mid t \in F\}).$$

En particulier, chaque classe de clavier est stable par morphisme puisque les symboles spéciaux de K et de $\bar{g}(K)$ sont les mêmes.

Démonstration. Soit $\tau \in (T \cup F)^*$. On montre par induction sur que $\langle \varepsilon | \varepsilon \rangle \cdot \tau = \langle u | v \rangle$ si et seulement si $\langle \varepsilon | \varepsilon \rangle \cdot g(\tau) = \langle g(u) | g(v) \rangle$. Pour cela, il suffit de le montrer pour les opérations élémentaires. ◀

6.2 Stabilité par miroir

La stabilité par miroir est celle qui, après celle par morphisme lettre à lettre, semble la plus probable. Néanmoins, si on peut facilement inverser les flèches, ce n'est pas le cas du retour, car il ne fait rien sur une configuration de la forme $\langle \varepsilon | u \rangle$.

Avec les deux flèches et sans le retour, tout se passe effectivement très bien.

► **Theorem 152.** MK, FK et FEK et sont stables par miroir.

Démonstration. Pour MK on constate simplement qu' étant donné K un clavier de MK, on a $\widetilde{K}^* = \widetilde{K}^*$. En conséquence, le clavier \widetilde{K} de MK reconnaît le miroir de $\mathcal{L}(K)$.

Pour FEK et FK on pose $\bar{\cdot}$ le morphisme de mots généré par

$$\bar{\blacktriangleright} = \blacktriangleleft \quad \bar{\blacktriangleleft} = \blacktriangleright \quad \bar{a} = a \blacktriangleleft \text{ si } a \in A$$

Si $\langle u | v \rangle$ est une configuration, on note $\widetilde{\langle u | v \rangle} = \langle \widetilde{v} | \widetilde{u} \rangle$. On peut montrer par une récurrence élémentaire sur n que pour toute suite d'opérations élémentaires $\sigma_1 \dots \sigma_n$,

$$c_0 \xrightarrow{\sigma_1 \dots \sigma_n} c_n \iff \widetilde{c}_0 \xrightarrow{\bar{\sigma}_1 \dots \bar{\sigma}_n} \widetilde{c}_n.$$

Soit L un langage de FEK et $K = (T, F)$ un clavier le reconnaissant. Soit $\overline{K} = (\overline{T}, \overline{F})$ où le morphisme est appliqué respectivement sur chacune des touches. Pour tout mot w , l'exécution $\langle \varepsilon | \varepsilon \rangle \xrightarrow{t_1 \dots t_n} w$ peut se renverser en une exécution $\langle \varepsilon | \varepsilon \rangle \xrightarrow{\bar{t}_1 \dots \bar{t}_n} \widetilde{w}$ de \overline{K} et vice-versa. Donc $w \in L$ si et seulement si $\widetilde{w} \in \mathcal{L}(\overline{K})$, d'où $\mathcal{L}(\overline{K}) = L$. De plus, \overline{K} est un clavier de FEK, et est automatique si et seulement si K l'est aussi, ce qui montre le résultat pour FK. ◀

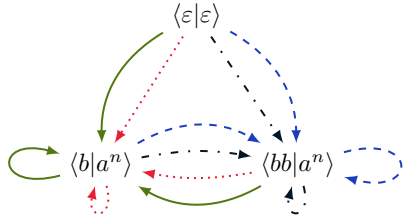


Figure 3 Le clavier $\{\leftarrow^2 a \blacktriangleleft b, \leftarrow^2 a \blacktriangleleft bb, \leftarrow^2 b, \leftarrow^2 bb\}$.

► **Theorem 153.** REK, RK et EK ne sont pas stables par miroir.

Démonstration. Considérons $L = b^*a$ et $\tilde{L} = ab^*$. On a $b^*a \in \text{EK}$ (avec le clavier $\{b, a\blacksquare\}$) et $b^*a \in \text{RK}$, reconnus par le clavier $\{\leftarrow a, \leftarrow ba\}$ (en effet, $b^n a \cdot \leftarrow a = b^n a$, $b^n a \cdot \leftarrow ba = b^{n+1} a$, $\varepsilon \cdot \leftarrow a = a$ et $\varepsilon \cdot \leftarrow ba = ba$).

Montrons maintenant que $\tilde{L} \notin \text{REK}$. Supposons que $K = (T, F)$ un clavier de REK reconnaît \tilde{L} . Puisque $w = ab^{\|K\|_\infty} \in \tilde{L}$, il existe $(\tau, t_f) \in T^* \times F$ qui mène à w . En particulier, t_f n'a écrit que des b et est donc équivalente $\leftarrow^k a^n$ pour k et n deux entiers.

En appliquant t_f seule, on obtient que $a^n \in \tilde{L}$. Absurde, donc $\tilde{L} \notin \text{REK}$.

On a alors L dans EK, dans RK et dans REK, et $\tilde{L} \notin \text{REK}$, ce qui prouve le résultat. ◀

► **Theorem 154.** GRK n'est pas stable par miroir.

Démonstration. Soit $L = a^*(b + b^2)$. Nous avons montré en Proposition 135 que $L \notin \text{GRK}$. Mais on montre que $\tilde{L} = (b + b^2)a^*$ est reconnu par

$$K = \{\leftarrow^2 a \blacktriangleleft b, \leftarrow^2 a \blacktriangleleft bb, \leftarrow^2 b, \leftarrow^2 bb\}.$$

L'invariant conservé est que la configuration est $\langle \varepsilon | \varepsilon \rangle$, de la forme $\langle b | a^n \rangle$ ou de la forme $\langle bb | a^n \rangle$. En particulier, les touches $\leftarrow^2 a \blacktriangleleft b$ et $\leftarrow^2 a \blacktriangleleft bb$ permettent de rajouter exactement un a à la configuration.

La Figure 3 nous montre comment agissent les touches sur les différents types de configuration.

Les transitions pleines correspondent à l'application de $\leftarrow^2 a \blacktriangleleft b$, celles en tirets à l'application de $\leftarrow^2 a \blacktriangleleft b$, celles en pointillés à l'application de $\leftarrow^2 b$ et celles en mi-pointillés mi-tirets à l'application de $\leftarrow^2 bb$.

► **Theorem 155.** GEK et GREK ne sont pas stables par miroir.

Démonstration. Soit $K = (\{a \blacktriangleleft \blacktriangleleft b\}, \{\blacktriangleleft c\})$ un clavier de GEK et $L = \mathcal{L}(K)$. On montre que $L = c + cb(ba)^*a$. En effet,

$$\begin{array}{ll} \langle \varepsilon | \varepsilon \rangle \cdot a \blacktriangleleft \blacktriangleleft b = \langle b | a \rangle & \langle \varepsilon | \varepsilon \rangle \cdot \blacktriangleleft c = \langle c | \varepsilon \rangle \\ \langle b | (ba)^n a \rangle \cdot a \blacktriangleleft \blacktriangleleft b = \langle b | (ba)^{n+1} a \rangle & \langle b | (ba)^n a \rangle \cdot \blacktriangleleft c = \langle c | b(ba)^{n+1} a \rangle \end{array}$$

Ainsi, $\tilde{L} = c + a(ab)^*bc$. Supposons avoir $K' = (T, F)$ qui reconnaît \tilde{L} . Toute touche finale f écrit un c (car en l'appliquant seule, on doit obtenir un mot de \tilde{L}), et le Lemme 78 (Insensibilité à la position) nous assure qu'elle écrit ce c depuis tout contexte.

Si une touche t de T contient le symbole \blacktriangleleft , alors en l'appliquant à $\langle u | v \rangle$ tel que $|uv| > \|K\|_\infty$ obtenu à partir de $\tau \in T$ (une telle configuration existe bien, car dans le cas contraire,

les mots de \tilde{L} sont de taille bornée par $2\|K\|_\infty$), on obtient une configuration $\langle x|y \rangle$ avec y non vide.

En appliquant une touche finale à $\langle x|y \rangle$, le Théorème 77 (fondamental de GREK) nous assure qu'on obtient un mot w contenant un c qui n'est pas en dernière position (car toute touche finale écrit un c). Absurde, donc T ne contient pas le symbole \blacktriangleleft et est un clavier de RK.

Il y a une suite de touches $\tau \in T^*$ qui écrit un mot w_1 de la forme $a(ab)^{\|K\|_\infty}x_1$. Par le Lemme 74 (Forme normale d'une touche REK), τ est équivalente à $\leftarrow^k w$. De plus, il existe une suite de touches $\tau' \in T^*$ qui écrit un mot w_2 tel que $|w_2| > k$.

Alors $\langle \varepsilon|\varepsilon \rangle \cdot \tau\tau' = \langle w|\varepsilon \rangle$ avec w de la forme $w'a(ab)^{\|K\|_\infty}x_1$ où w' est non vide (par le Lemme 44 (Localité)).

Soit maintenant $f \in F$. Alors, par le Lemme 44 (Localité), $\langle w|\varepsilon \rangle \cdot f$ mène à un mot de \tilde{L} ayant pour préfixe $w'aab$. Impossible, car le facteur aa n'apparaît qu'en tout début de mot pour un mot de \tilde{L} . \blacktriangleleft

► **Theorem 156.** GK n'est pas stable par miroir.

Démonstration. Soit $K = \{a\blacktriangleleft\blacktriangleleft bc\}$ un clavier de GK et $L = \mathcal{L}(K)$. Pour commencer, on montre que $L = \{b^n c (ca)^{n-1} a \mid n \in \mathbb{N}^*\}$. En effet,

$$\langle \varepsilon|\varepsilon \rangle \cdot a\blacktriangleleft\blacktriangleleft bc = \langle bc|a \rangle \quad \text{et} \quad \langle b^n c | (ca)^{n-1} a \rangle \cdot a\blacktriangleleft\blacktriangleleft bc = \langle b^{n+1} c | (ca)^n a \rangle.$$

Ainsi, il nous suffit de montrer que $\tilde{L} = \{a(ac)^{n-1}cb^n \mid n \in \mathbb{N}^*\}$ n'est pas reconnaissable par un clavier de GK. Supposons avoir K de GK de langage \tilde{L} . Toute touche de K écrit autant de a que de b et de c , et le Lemme 78 (Insensibilité à la position) nous assure qu'elle les écrit dans toutes les configurations. Soit t qui écrit des lettres.

Il existe $\tau \in K^*$ qui mène à $\langle u|v \rangle$ avec $uv = acb$. On pose $\langle u'|v' \rangle = \langle u|v \rangle \cdot \tau$. Alors $u'v'$ contient au moins deux a et au moins deux c .

Supposons que $c \in v$, alors on obtient par le Théorème 77 (fondamental de GREK) que cb est un suffixe de $u'v'$. Absurde, car $u'v$ contient au moins deux b .

Donc $c \in u$ et v ne contient pas de c . Le même raisonnement montre que v' ne contient pas de c . En particulier, pour écrire $u'v'$ à partir de $\langle u|v \rangle$, on n'est jamais passé à gauche du c déjà présent dans uv et on obtient que ac est un préfixe de $u'v'$. Absurde, car $u'v'$ contient au moins deux a . \blacktriangleleft

6.3 Stabilité par intersection

Il semble assez clair que les classes de langages de clavier ne sont pas stables par intersection. Nous allons montrer ce résultat en trois fois. Une première fois pour EK et MK, puis pour les claviers sans flèches, et enfin pour les claviers avec flèches.

6.3.1 EK et MK

► **Theorem 157.** MK et EK ne sont pas stables par intersection.

Démonstration. On considère $L = \{bw \mid w \in (a+b)^*, |w| \text{ est impair et } aa \notin \text{Fact}(w)\}$. On a

$$L = (ab + bb + ba)^* \cap (ba + b)^*.$$

On a bien $(ab + bb + ba)^*$ et $(ba + b)^*$ dans MK. Nous allons montrer que L n'est pas dans EK.



Supposons qu'il existe $K = (T, F)$, un clavier de EK de langage L . On a $L = T^*F$, et puisque tous les mots de L sont de taille paire, alors tous les mots de T et de F , donc toutes les touches de T et de F sont de longueurs paires.

Puisque $w = (ba)^{\|K\|_\infty} \in L$, alors il existe $t_1 \dots t_n f \in T^*F$ tel que $t_1 \dots t_n f = w$ et $n > 0$. Puisque $|f|$ est paire, alors t_n se termine par un a (on peut supposer que T ne contient pas la touche vide).

De même, $w' = bb(ab)^{\|K\|_\infty} \in L$, donc il existe $t'_1 \dots t'_m f' \in T^*F$ tel que $t'_1 \dots t'_m f' = w'$ et $m > 0$. Puisque $|f'|$ est paire, alors f' commence par un a .

Mais $t_n f' \in L$ et contient un facteur aa , d'où une contradiction. \blacktriangleleft

6.3.2 RK et REK

Pour montrer que RK et REK ne sont pas stables par intersection, nous allons utiliser L_1 du clavier $K_1 = \{\leftarrow a \diamond \blacklozenge, \leftarrow b \diamond \blacklozenge\}$ vue en Section 5.3. Nous rappelons ici le Lemme 127 (avec les notations $t_a = \leftarrow a \diamond \blacklozenge$ et $t_b = \leftarrow b \diamond \blacklozenge$).

► **Lemma 158.** Soit $x: \llbracket 1; n \rrbracket \mapsto \{a, b\}$. On a

$$\langle \varepsilon | \varepsilon \rangle \cdot t_{x_1} \cdots t_{x_n} = x_1 w_{x_1 x_2} x_2 w_{x_2 x_3} x_3 \cdots w_{x_{n-1} x_n} x_n v_{x_n}$$

avec $w_{aa} = w_{bb} = \diamond$, $w_{ab} = \varepsilon$, $w_{ba} = \diamond \blacklozenge$, $v_a = \diamond \blacklozenge$ et $v_b = \diamond \blacklozenge \blacklozenge$.

En particulier, pour tous $u_1, u_2, u_3 \in A^*$ si $u_1 bu_2 au_3 \in L$, alors u_2 contient un \blacklozenge .

► **Theorem 159.** RK et REK ne sont pas stables par intersection.

Démonstration. On pose L_2 le langage $(a + b + \diamond)^+ \blacklozenge^2$ reconnu par le clavier

$$K_2 = \{\leftarrow^2 a \blacklozenge^2, \leftarrow^2 b \blacklozenge^2, \leftarrow^2 \diamond \blacklozenge^2\}.$$

Par le Lemme 127, on a que l'intersection L de L_1 et L_2 est $[(a \diamond)^* a + \varepsilon](b \diamond)^+ \blacklozenge^2$. Nous allons montrer que ce langage n'est pas dans REK.

Supposons avoir $K = (T, F)$ un clavier de REK de langage L . Nous pouvons supposer que K est sous forme normale.

Puisque L contient $(a \diamond)^{2\|K\|_\infty+1} b \diamond \blacklozenge^2$, il existe $\tau_a \in T^*$ qui écrit $(a \diamond)^{2\|K\|_\infty+1} w$ pour un certain w .

De même, puisque L contient $(b \diamond)^{(|\tau|+1)\|K\|_\infty+1} \blacklozenge^2$, alors il existe $\tau_b \in T^*$ qui écrit $(b \diamond)^{(|\tau|+1)\|K\|_\infty+1} w'$ pour un certain w' .

En appliquant $\tau_b \tau_a$, le Lemme 44 (Localité) nous assure qu'on obtient un mot qui commence par un b . Mais le nombre de a de ce mot est au moins $\|K\|_\infty + 1$. Ainsi, en lui appliquant une touche finale f , on obtient que L contient un mot qui commence par un b (toujours par le Lemme 44 (Localité)), et qui contient au moins un a (f efface au plus $\|K\|_\infty$ lettres). Contradiction, un tel mot ne peut pas être dans L . \blacktriangleleft

6.3.3 Au-dessus de GK

Et finalement, on s'intéresse aux classes restantes.

► **Theorem 160.** Aucune classe contenant \blacktriangleleft n'est stable par intersection.

Démonstration. On s'intéresse à $L = \{a^n b^n c^n \mid n \in \mathbb{N}\}$. On a que L est l'intersection des quatre langages suivants.

$$\begin{aligned} \mathcal{L}(\{a, b, c \blacktriangleleft\}) &= (a + b)^* c^* & \mathcal{L}(\{ab, ba, c, \blacktriangleleft\}) &= \left\{ w \in \{a, b, c\}^* \mid |w|_a = |w|_b \right\} \\ \mathcal{L}(\{a, b \blacktriangleleft, c \blacktriangleleft\}) &= a^* (b + c)^* & \mathcal{L}(\{bc, cb, a, \blacktriangleleft\}) &= \left\{ w \in \{a, b, c\}^* \mid |w|_c = |w|_b \right\} \end{aligned}$$

Nous allons montrer que L n'est pas dans FREK. Supposons qu'il existe $K = (T, F)$, un clavier de langage L .

On pose $M = 6\|K\|_\infty + 1$. Soit $\tau f \in T^*F$ une exécution de taille minimale menant à accepter le mot $w = a^M b^M c^M$. On pose $\langle u|v \rangle$ la configuration atteinte. Puisque $w > \|K\|_\infty$, alors τ est non vide, donc il existe $t \in T$ et $\tau' \in T^*$ tel que $\tau = \tau't$.

On a soit $a^M b^{3\|K\|_\infty+1}$ préfixe de u , soit $b^{3\|K\|_\infty+1}c^M$ suffixe de v . Nous supposons être dans le premier cas, l'autre cas est similaire. Nous posons alors $\langle u'|v' \rangle = \langle \varepsilon|\varepsilon \rangle \cdot \tau'$ et $\langle x|y \rangle = \langle \varepsilon|\varepsilon \rangle \cdot \tau'f$.

Par le Lemme 44 (Localité), on a $a^M b^{\|K\|_\infty+1}$ préfixe de u' , puis $a^M b$ est un préfixe de x . Mais puisque $xy \in L$, on a alors forcément $xy = a^M b^M c^M = w$. Ceci contredit la minimalité de τf et nous donne alors le résultat. ◀

6.4 Stabilité par union

► **Theorem 161.** MK, EK, RK, GK, FK, GRK, GEK, FEK et GREK ne sont pas stables par union.

Démonstration. Nous avons montré en sous-section 5.7.2 que $a^* + b^*$ n'est pas dans GREK ni dans FEK. Or a^* et b^* sont dans MK. ◀

6.4.1 FRK et FREK ne sont pas stables par union

On pose $L_a = \{a^n ca^n \mid n \in \mathbb{N}\}$ et $L_b = \{b^n cb^n \mid n \in \mathbb{N}\}$. Nous allons montrer que $L = L_a \cup L_b$ n'est pas dans FREK.

Notons qu'ils sont bien dans FRK, reconnus respectivement par les claviers $K_a = \{\leftarrow c, \leftarrow aca\blacktriangleleft\}$ et $K_b = \{\leftarrow c, \leftarrow bcb\blacktriangleleft\}$.

Nous supposons donc qu'il existe un clavier $K = (T, F)$ de FREK qui reconnaît L .

Pour commencer, nous allons montrer que toute touche de K contient au moins autant de \leftarrow que de lettres. Le lemme qui suit est un préliminaire à ce résultat.

► **Lemma 162.** Soit $M \in \mathbb{N}$. Alors, il existe $\tau_a \in T^*$ telle que $\langle \varepsilon|\varepsilon \rangle \cdot \tau_a = \langle u_a|v_a \rangle$ avec $|u_a| > M$ et $a^{\|K\|_\infty+1}$ préfixe de u_a . De même, il existe $\tau_b \in T^*$ telle que $\langle \varepsilon|\varepsilon \rangle \cdot \tau_b = \langle u_b|v_b \rangle$ avec $|u_b| > M$ et $b^{\|K\|_\infty+1}$ préfixe de u_b .

Démonstration. Puisque $w = a^{M+4\|K\|_\infty} ca^{M+4\|K\|_\infty} \in L$, alors il existe $\tau \in T^*$ et $f \in F$ tels que $\langle \varepsilon|\varepsilon \rangle \cdot \tau f = \langle x|y \rangle$ avec $w = xy$.

Posons $\langle u|v \rangle = \langle \varepsilon|\varepsilon \rangle \cdot \tau$. Nous pouvons supposer que τ est de taille minimale. Clairement, τ est non vide donc est de la forme $\tau't$. Nous posons alors $\langle u'|v' \rangle = \langle \varepsilon|\varepsilon \rangle \cdot \tau'$.

Supposons $|u| \leq M$. Alors, par le Lemme 46 (Encadrement des tailles), $|x| \leq M + \|K\|_\infty$, donc $|y| \geq M + 7\|K\|_\infty + 1$. On en déduit que $a^{3\|K\|_\infty} ca^{M+4\|K\|_\infty}$ est un suffixe de y , et par le Lemme 44 (Localité), $a^{2\|K\|_\infty} ca^{M+4\|K\|_\infty}$ est un suffixe de v' .

Toujours par Lemme 44 (Localité), $ca^{M+4\|K\|_\infty}$ est un suffixe du mot obtenu avec $\langle \varepsilon|\varepsilon \rangle \cdot \tau'f$. Puisque ce mot est dans L , il s'agit de w , ce qui contredit la minimalité de τ .

Donc $|u| \geq M$. Une autre application du Lemme 44 (Localité) nous donne que $a^{\|K\|_\infty+1}$ est un préfixe de u . On peut alors prendre $\tau_a = \tau$.

Une preuve similaire nous donne l'existence de τ_b . ◀

► **Lemma 163.** Soit $t \in T$. Alors t contient au moins autant de \leftarrow que de lettres, i.e. $|t|_\leftarrow \geq |t|_a + |t|_b + |t|_c$.

Démonstration. Soit $M = 3(\|K\|_\infty + 4)$ et soient τ_a, τ_b, u_a, u_b et v_a, v_b donnés par le Lemme 162 avec la constante M^2 . Supposons qu'il existe $t \in T$ tel que $|t|_\leftarrow < |t|_a + |t|_b + |t|_c$. On considère $\tau = t^M$. Alors τ écrit de manière effective $\|K\|_\infty + 2$ fois a, b ou c .

Si ce sont des c ou des b , alors on pose $\langle u|v \rangle = \langle u_a|v_a \rangle \cdot \tau$. Par le Lemme 44 (Localité), $a^{\|K\|_\infty + 1}$ est un préfixe de u . En effet, τ contient au plus M symboles et

$$|u_a| > M^2 \geq 3(\|K\|_\infty + 4)\|K\|_\infty + \|K\|_\infty + 1.$$

Mais le nombre de b (ou de c) de uv est alors supérieur ou égal à $\|K\|_\infty + 2$, donc en appliquant une touche finale à $\langle u|v \rangle$, on obtient un mot qui commence par un a et qui contient deux b ou deux c . Impossible puisque ce mot doit appartenir à L .

Si ce sont des a , on fait une preuve similaire en posant cette fois $\langle u|v \rangle = \langle u_b|v_b \rangle \cdot \tau$.

Donc aucune touche n'écrit plus de lettres qu'elle n'en efface. \blacktriangleleft

En particulier, ce lemme nous apporte deux choses.

1. La longueur du mot ne peut augmenter que si l'on est près du bord gauche (au moins un \leftarrow ne doit pas avoir d'effet).
2. $\|K\|_\infty \geq 2$.

On montre maintenant que le nombre de lettres de la configuration ne peut pas trop augmenter lorsqu'on est trop loin du centre. En effet, si par exemple l'on rajoute beaucoup de b en étant trop à droite du centre du mot, le mot sera trop déséquilibré et appliquer une touche finale ne mènera pas à un palindrome.

► **Lemma 164.** Soient $\tau_0 \in T^*$ et $t_1, \dots, t_n \in T$. Pour tout $i \in \llbracket 0, n \rrbracket$, on pose

$$\langle u_i|v_i \rangle = \langle \varepsilon|\varepsilon \rangle \cdot \tau_0 t_1 \cdots t_i.$$

Si $|u_n v_n| \geq |u_0 v_0| + 4\|K\|_\infty + 1$, alors il existe $i \in \llbracket 0, n \rrbracket$ tel que

$$| |u_i| - |v_i| | \leq 8\|K\|_\infty + 2 \leq 9\|K\|_\infty.$$

Démonstration. Supposons que $|u_n v_n| \geq |u_0 v_0| + 4\|K\|_\infty + 1$ et que pour tout $i \in \llbracket 0, n \rrbracket$,

$$| |u_i| - |v_i| | \geq 8\|K\|_\infty + 2.$$

Puisque $| |u_{i+1}| - |u_i| | \leq \|K\|_\infty$ et $| |u_{i+1}| - |u_i| | \leq \|K\|_\infty$, alors $|u_i| - |v_i|$ et $|u_{i+1}| - |v_{i+1}|$ ont le même signe. En particulier, ce signe est alors le même pour tout i . Nous supposons ce signe positif, l'autre cas étant similaire.

Soit $f \in F$. Pour tout i , on pose $\langle u_i^f|v_i^f \rangle = \langle u_i|v_i \rangle \cdot f$. Par le Lemme 46 (Encadrement des tailles), on a

$$|u_i^f| - |v_i^f| \geq 6\|K\|_\infty + 2.$$

Puisque $u_i^f v_i^f \in L$, nous avons alors u_i^f de la forme $a^m c a^p$ ou $b^m c b^p$ avec $p \geq 3\|K\|_\infty + 1$. Nous supposons être dans le premier cas, l'autre cas étant similaire.

Par le Lemme 44 (Localité), $a^m c a^{2\|K\|_\infty + 1}$ est un préfixe de u_i , donc $a^m c a^{\|K\|_\infty + 1}$ est un préfixe de u_{i+1} et donc $a^m c a$ est un préfixe de u_{i+1}^f . Puisque $u_{i+1}^f v_{i+1}^f \in L$, cela impose $u_{i+1}^f v_{i+1}^f = a^m c a^m$.

Par suite, pour tout i , on a $u_i^f v_i^f = a^m c a^m$. En particulier, on a $u_n^f v_n^f = u_0^f v_0^f$, et par le Lemme 46 (Encadrement des tailles),

$$| |u_n v_n| - |u_0 v_0| | \leq 4 \|K\|_\infty,$$

ce qui contredit les hypothèses. \blacktriangleleft

Nous avons montré que le nombre de lettres ne pouvait augmenter que lorsqu'on était près du bord gauche du mot, et que nous ne pouvions pas trop augmenter le nombre de lettres du mot en étant loin de son centre.

Ainsi, pour écrire un très long mot $a^M c a^M$, il nous faut faire des allers-retours entre le bord gauche et le centre du mot. Nous isolons alors un moment de l'exécution au cours duquel le curseur est loin du centre et du bord, va au bord gauche puis retourne loin du bord et du centre après avoir rajouté des lettres.

On obtient alors deux configurations avec un nombre différents de lettres. Mais l'application d'une touche finale f a le même comportement dans les deux cas (car nous sommes loin des bords). Donc les deux mots obtenus ne peuvent pas être les mêmes (on est parti de mots de taille différente).

Cependant, comme nous étions toujours entre le bord gauche et le centre, mais loin du centre, un suffixe $c a^M$ est commun aux deux mots (l'application de f n'a pas pu le modifier car trop loin), et les deux mots doivent être égaux !

C'est ceci que nous allons formaliser dans les lemmes qui suivent.

Nous posons $M = 30 \|K\|_\infty$, $\tau = t_1 \dots t_n f \in T^* F$ une exécution menant à $\langle u | v \rangle$ avec $\langle u | v \rangle = a^M c a^M$ et pour tout $i \in \llbracket 0, n \rrbracket$

$$\langle u_i | v_i \rangle = \langle \varepsilon | \varepsilon \rangle \cdot t_1 \cdots t_i \text{ et } w_i = u_i v_i.$$

De plus, pour tout $i \in \llbracket 1 ; n \rrbracket$, nous définissons les prédictats B (pour près du bord) et C (pour près du centre) par

$$B(i) \text{ si et seulement si } |u_i| \leq \|K\|_\infty$$

$$C(i) \text{ si et seulement si } | |u_i| - |v_i| | \leq 9 \|K\|_\infty$$

On va découper l'exécution en notant des moments clés : un a_i correspond à la première fois qu'on est près du bord, puis entre un a_i et un b_i on ne va jamais près du centre. Un b_i correspond à la dernière fois qu'on est près du bord avant d'aller près du centre. Un c_i correspond à la première fois qu'on est près du centre après s'être éloigné du bord (après b_i). Et un d_i correspond à la dernière fois qu'on est près du centre avant de retourner près du bord.

► **Lemma 165.** *Il existe $m \geq 2$, et $a_0 \leq b_0 < c_0 \leq d_0 < \dots < c_{m-1} \leq d_{m-1} < a_m \leq b_m$ tels que*

- pour tout $i \geq a_0$, $|w_i| \geq 11 \|K\|_\infty$;
- pour tout $0 \leq i \leq m$, $B(a_i)$ et $B(b_i)$ sont vrais;
- pour tout $0 \leq i < m$, $C(c_i)$ et $C(d_i)$ sont vrais;
- pour tout $0 \leq i \leq m$, pour tout $a_i \leq j \leq b_i$, $C(j)$ est faux;
- pour tout $0 \leq i < m$, pour tout $c_i \leq j \leq d_i$, $B(j)$ est faux;
- pour tout $0 \leq i < m$, pour tout $b_i < j < c_i$, $B(j)$ et $C(j)$ sont faux;
- pour tout $0 \leq i < m$, pour tout $d_i < j < a_{i+1}$, $B(j)$ et $C(j)$ sont faux;
- $|w_{b_0+1}| < |w_{a_m}|$.

Démonstration. Soit j_1 le plus petit entier tel que pour tout $i \geq j_1$, $|w_i| \geq 11\|K\|_\infty$. En particulier, on a $11\|K\|_\infty \leq |w_{j_1}| \leq 12\|K\|_\infty$ et, par le Lemme 163 $|u_{j_1}| \leq \|K\|_\infty$ (donc $B(j_1)$ est vrai).

Il existe $j_2 > j_1$ tel que $|w_{j_2}| \geq 27\|K\|_\infty$. Là, encore, on peut supposer, grâce au Lemme 163 que $|u_{j_2}| \leq \|K\|_\infty$ (donc $B(j_2)$ est vrai).

On pose $a_0 = j_1$ et on construit la séquence inductivement. Supposons avoir a_i . On a deux cas.

- Si pour tout $a_i < k < j_2$, $C(k)$ est faux, alors on pose $m = i$ et $b_m = j_2$.
- Sinon, il existe $a_i < k < j_2$ tel que $C(k)$ est vrai. On pose alors

$$c_i = \min\{k \mid a_i < k < j_2 \text{ et } C(k) \text{ est vrai}\}$$

$$b_i = \max\{k \mid a_i \leq k < c_i \text{ et } B(k) \text{ est vrai}\}.$$

Notons que b_i existe bien car $B(b_i)$ est vrai. De plus, par construction, on a que pour tout $a_i \leq j \leq b_i$, $C(j)$ est faux et que pour tout $b_i < j < c_i$, $B(j)$ et $C(j)$ sont faux).

Et si on a c_i , on fait de même. On pose

$$a_{i+1} = \min\{k \mid c_i < k \leq j_2 \text{ et } B(k)\}$$

$$d_i = \max\{k \mid c_i \leq k < a_{i+1} \text{ et } C(k)\}.$$

Notons que b_{i+1} existe bien car $B(j_2)$ est vrai et que c'_i existe bien car $C(c_i)$ est vrai. Et on a bien que pour tout $c_i \leq j \leq d_i$, $B(j)$ est faux et que pour tout $d_i < j < a_{i+1}$, $B(j)$ et $C(j)$ sont faux).

Le Lemme 163 nous assure que $|w_{b_0}| \leq 17\|K\|_\infty$ et $|w_{a_m}| \geq 22\|K\|_\infty$. En appliquant le Lemme 46 (Encadrement des tailles), on obtient alors

$$|w_{b_0+1}| \leq 18\|K\|_\infty < |w_{a_m}|.$$

Il nous reste à vérifier, que $m \geq 2$.

Soit $j_3 > j_1$ le plus petit entier tel que $|w_{j_3}| \geq 18\|K\|_\infty$. En particulier, on a $18\|K\|_\infty \leq |w_{j_3}| \leq 19\|K\|_\infty$ et le Lemme 163 nous permet de supposer que $|u_{j_3}| \leq \|K\|_\infty$. De plus, on a $j_3 < j_2$.

Le Lemme 163 nous assure alors qu'il existe deux indices i_1 et i_2 tels que $j_1 < i_1 < j_3 < i_2 < j_2$ et $C(i_1)$ et $C(i_2)$ sont vrais. On en déduit que $m \geq 2$ (il y a au moins deux-allers-retours). \blacktriangleleft

Ce lemme nous assure qu'il existe des passages centre-bord-centre. En trouvant deux indices i et j loin du bord dans un de ces passages avec $|u_i v_i| \neq |u_j v_j|$, et on pourra conclure.

► **Lemme 166.** *Le langage L n'est pas dans FREK.*

Démonstration. On considère $a_0 \leq b_0 < c_0 \leq d_0 < \dots < c_{m-1} \leq d_{m-1} < a_m \leq b_m$ tels que définis par le Lemme 165. Le Lemme 163 nous assure que lors de tout passage loin du bord, la taille du mot ne peut que décroître, c'est-à-dire que pour tout $0 < i < m$,

$$|w_{b_i+1}| \geq |w_{b_i+2}| \cdots \geq |w_{a_{i+1}-1}| \geq |w_{a_{i+1}}|. \quad (2)$$

Supposons que pour tout i , pour tout k_1, k_2 tels que $d_i \leq k_1 < a_{i+1}$ et $b_{i+1} < k_2 \leq c_{i+1}$, on a $|w_{k_1}| = |w_{k_2}|$.

En particulier, on obtient grâce à l'Équation (2) que pour tout k_1, k_2 de la séquence qui ne sont pas entre un a_i et un b_i (donc loin des bords), on a $|w_{k_1}| = |w_{k_2}|$. Alors, toujours grâce à l'Équation (2), $|w_{a_m}| \geq |w_{a_{m-1}}|$ et donc $|w_{a_m}| \leq |w_{b_0+1}|$, ce qui contredit le Lemme 165.

Donc, il existe i , $d_i < k_1 < a_{i+1}$ et $b_{i+1} < k_2 < c_{i+1}$ tels que $|w_{k_1}| \neq |w_{k_2}|$, c'est-à-dire qu'il existe un aller-retour durant lequel la taille du mot varie.

On note $\langle x_1 | y_1 \rangle = \langle u_{k_1} | v_{k_1} \rangle \cdot t$ et $\langle x_2 | y_2 \rangle = \langle u_{k_2} | v_{k_2} \rangle \cdot t$. On suppose $x_1 y_1 = a^N c a^N$ avec $N \in \mathbb{N}$ (le cas où le mot contient des b est similaire).

Notons que pour tous $k_1 \leq i \leq k_2$, on a $|v_i| - |u_i| > 9\|K\|_\infty$. De plus, pour tous $k_1 \leq i, j \leq k_2$, on a $\|w_i| - |w_j\| < 5\|K\|_\infty$, par le Lemme 164.

Soit $f \in F$. On note $\langle x_1 | y_1 \rangle = \langle u_{k_1} | v_{k_1} \rangle \cdot f$. On a $x_1 y_1 \in L$. (On va supposer $x_1 y_1 = a^N c a^N$, le cas avec des b est On a, par le Lemme 46 (Encadrement des tailles) que $2N \leq |w_{k_1}| \leq 2N + \|K\|_\infty$.

Et puisque, $|v_{k_1}| - |u_{k_1}| > 9\|K\|_\infty$, on a, que $|v_{k_1}| > N + 4\|K\|_\infty$ et que $|u_{k_1}| < N - 5\|K\|_\infty$. Et le Lemme 44 (Localité) nous donne que $a^{3\|K\|_\infty} c a^N$ est un suffixe de v_{k_1} .

Nous allons montrer que pour tout $k_1 \leq i \leq k_2$, on a $|v_i| \geq N + 2\|K\|_\infty$. En effet, si on avait $|v_i| < N + 2\|K\|_\infty$, alors on aurait $|u_i| < N - 7\|K\|_\infty$, et donc $|w_i| < 2N - 5\|K\|_\infty < |w_{k_1}| - 5\|K\|_\infty$. Absurde.

Ainsi, pour tout $k_1 \leq i \leq k_2$, on a $|v_i| \geq N + 2\|K\|_\infty$. En particulier, une récurrence et le Lemme 44 (Localité) nous permet d'avoir que $v_{k_1} [|v_{k-1}| - N + \|K\|_\infty]$ est un suffixe de tous les v_i et donc $a^{\|K\|_\infty} c a^N$ est un suffixe de tous les v_i .

Notons alors $\langle x_2 | y_2 \rangle = \langle u_{k_2} | v_{k_2} \rangle \cdot f$. Par le Lemme 44 (Localité), $c a^N$ est un suffixe de y_2 , et donc $x_2 y_2 = a^N c a^N = x_1 y_1$.

Mais, puisque dans les deux configurations $\langle u_{k_1} | v_{k_1} \rangle$ et $\langle u_{k_2} | v_{k_2} \rangle$, la touche t agit de manière efficiente (on est loin des bords), alors

$$|x_2 y_2| - |w_{k_2}| = |x_1 y_1| - |w_{k_1}|.$$

Absurde, car $|w_{k_1}| \neq |w_{k_2}|$!

D'où le résultat. ◀

6.5 Stabilité par concaténation

De même, nous allons montrer qu'aucune classe de clavier n'est stable par concaténation. On s'intéresse d'abord aux classes de clavier sans flèches, et ensuite à celles qui restent.

6.5.1 Les claviers sans flèches

Soit $L = a^* c^*$. Nous allons montrer par l'absurde que L n'est pas dans REK. On possède une suite de touches τ qui écrit un a et valide. Mais on possède également une suite de touches τ' qui écrit un nombre aussi grand de c que souhaité, sans valider. On conclut en regardant $\varepsilon \cdot \tau' \cdot \tau'$.

► **Proposition 167.** *Le langage L n'est pas dans REK.*

Démonstration. Raisonnons par l'absurde et supposons qu'il existe un clavier K de REK reconnaissant L . Nous posons $M = \|K\|_\infty$.

Puisque $a \in L$, il existe une suite de touches transientes $t_1 \dots t_i$ et une touche finale t_f telles que $\varepsilon \cdot t_1 \dots t_i t_f = a$. La suite $t_1 \dots t_i t_f$ est alors, par mise sous forme normale, équivalente à $\tau = \leftarrow^k a$ ■.

De même, puisque $c^{k+M+1} \in L$, il existe il existe une suite de touches transientes $t'_1 \dots t'_j$ et une touche finale t'_f telles que $\varepsilon \cdot t'_1 \dots t'_j t'_f = c^{k+M+1}$. Puisque $|t_f| \leq M$, le Lemme 44 (Localité) nous permet de dire que $u = \varepsilon \cdot t'_1 \dots t'_j$ admet c^{k+1} comme préfixe.

Mais on a alors $w \triangleq \varepsilon \cdot (t'_1 \dots t'_j) \cdot \tau \in L$, c'est-à-dire que $u[1, |u| - k]a \in L$.

Puisque u admet c^{k+1} comme préfixe, $u[1, |u| - k]$ admet c comme préfixe et donc w est de la forme cva (avec $v \in A^*$) ce qui est impossible. \blacktriangleleft

► **Theorem 168.** MK, RK, EK et REK ne sont pas stables par concaténation.

Démonstration. L n'est pas dans REK or a^* et b^* sont dans MK. \blacktriangleleft

6.5.2 Les autres classes

► **Theorem 169.** GRK n'est pas stable par concaténation.

Démonstration. Soit $L = (a^2)^*(b + b^2)$. Nous avons montré en Section 5.5 que $L \notin \text{GRK}$. Mais $(a^2)^*$ est reconnu par $\{\text{aa}\}$ et $(b + b^2)$ par $\{\leftarrow^2\text{b}, \leftarrow^2\text{b}^2\}$. \blacktriangleleft

► **Theorem 170.** GK et FK ne sont pas stables par concaténation.

Démonstration. Soit $L = a^n b^n c^m d^m$. Le langage $a^n b^n$ est reconnu par $\{\text{ab}\blacktriangleleft\}$. Supposons L reconnu par K . Il existe une touche t_1 de K qui écrit un a (et alors elle écrit aussi un b). De même, il existe une touche t_2 de K qui écrit un c et elle écrit aussi un d . Soient $M = 2\|K\|_\infty$ et τ qui mène à $\langle u|v \rangle$ avec $uv = a^M b^M c^M d^M$. On a alors deux cas.

- Si $u \leq 2M$, en appliquant t_2 à $\langle u|v \rangle$, on obtient un mot w' tel que $|w'|_d > M$ et qui a pour suffixe cd^M (par le Lemme 44 (Localité)).
- Sinon, on applique cette fois t_1 à $\langle u|v \rangle$ et on obtient un mot w' tel que $|w'|_a > M$ et qui a pour préfixe $a^M b$ (par le Lemme 44 (Localité)).

Absurde dans les deux cas, d'où le résultat. \blacktriangleleft

Pour montrer que les autres classes de clavier ne sont pas stables par concaténation, on s'intéresse à $L = \{a^n ca^n a^m ca^m \mid n, m \in \mathbb{N}\}$, concaténation de $L_1 = \{a^n ca^n \mid n \in \mathbb{N}\}$ avec lui-même. Commençons par montrer que ce dernier langage est dans FRK et dans GEK. Il est bien dans GEK, reconnu par $(\{\text{ab}\blacktriangleleft\}, \{c\})$.

► **Lemma 171.** Le langage L_1 est dans FRK.

Démonstration. On pose $K = \{\leftarrow\text{c}, \leftarrow\text{aca}\blacktriangleleft\}$. Alors $\mathcal{L}(K) = L_1$. En effet,

$$\begin{aligned} \langle \varepsilon|\varepsilon \rangle \cdot \leftarrow\text{c} &= \langle \text{c}|\varepsilon \rangle & \langle a^n c|a^n \rangle \cdot \leftarrow\text{c} &= \langle a^n c|a^n \rangle \\ \langle \varepsilon|\varepsilon \rangle \cdot \leftarrow\text{aca}\blacktriangleleft &= \langle \text{ac}|a \rangle & \langle a^n c|a^n \rangle \cdot \leftarrow\text{aca}\blacktriangleleft &= \langle a^{n+1} c|a^{n+1} \rangle \end{aligned}$$

Nous allons montrer que L n'est pas dans FREK. Supposons avoir $K = (T, F)$ de langage L . Nous allons montrer qu'il existe $t \in T$ qui écrit ou supprime des lettres loin des bords.

► **Lemma 172.** Il existe $t \in T$ tel que $|t|_{\leftarrow} \neq |t|_A$.

Démonstration. On pose $M = 7\|K\|_\infty$ et $w = a^M ca^M a^M ca^M$. Soit $\tau f \in T^*f$ qui reconnaîsse w . Par le Lemme 46 (Encadrement des tailles), $\tau > 2$ et donc $\tau = \tau' t$ avec $t \in T$. On pose

$$\langle u|v \rangle = \langle \varepsilon|\varepsilon \rangle \cdot \tau f \text{ et } \langle x|y \rangle \langle \varepsilon|\varepsilon \rangle \cdot \tau'.$$

On commence par montrer qu'avant d'appliquer tf , on est loin des bords et du centre.

Supposons $|x| < 2\|K\|_\infty$ (le cas $|y| < 2\|K\|_\infty$ est similaire). Alors, en appliquant le Lemme 46 (Encadrement des tailles), on obtient que $|u| < 4\|K\|_\infty$. On observe alors que

$a^{3\|K\|_\infty} ca^M a^M ca^M$ est un suffixe de v et le Lemme 44 (Localité) donne que $a^{3\|K\|_\infty} ca^M a^M ca^M$ est un suffixe de y .

En appliquant f à $\langle x|y \rangle$, on obtient (toujours avec le Lemme 44 (Localité)) un mot w' de suffixe $ca^M a^M ca^M$. Puisque $w' \in L$, alors $w' = w$ et τf n'est pas minimal.

Supposons maintenant que $|t|_\leftarrow = |t|_A$. On note $\langle u'|v' \rangle = \langle x|y \rangle \cdot f$. Puisque $|x| > 2\|K\|_\infty$ et $|y| > 2\|K\|_\infty$, on obtient, par le Lemme 48 (Égalité des tailles loin des bords), que $|uv| = |u'v'|$.

Supposons maintenant $|u| > |v|$ (l'autre cas est similaire). Alors $a^M ca^M$ est un préfixe de u . Par le Lemme 44 (Localité), $a^M ca^{5\|K\|_\infty}$ est un préfixe de x , et encore avec le Lemme 44 (Localité), on obtient que $a^M ca^{3\|K\|_\infty}$ est un préfixe de u' .

Donc $u'v'$ est de la forme $a^M ca^M a^N ca^N$ avec $N \in \mathbb{N}$. Mais puisqu'on a $|uv| = |u'v'|$, on en déduit que $uv = u'v'$, ce qui est impossible par minimalité de τf .

Donc il existe t tel que $|t|_\leftarrow \neq |t|_A$. ◀

► **Lemma 173.** *Le langage L n'est pas dans FREK.*

Démonstration. On pose $M = 10\|K\|_\infty$. Soit $\tau = t_1 \dots t_n \in T^*F$ qui mène à $\langle u|v \rangle$ avec $\langle u|v \rangle = a^M ca^M a^M ca^M$. Pour tout $i \in \llbracket 0 ; n \rrbracket$, on pose

$$\langle u_i|v_i \rangle = \langle \varepsilon|\varepsilon \rangle \cdot t_1 \dots t_i.$$

Supposons $|u| > |v|$ (l'autre cas est similaire). Soit i le premier indice tel que pour tout $k \geq i$, $|v_k| > M + 4\|K\|_\infty$ (puisque $|v_n| = |u| > 2M$, alors, par le Lemme 44 (Localité), $i < n$). En particulier, on note que

$$M + 4\|K\|_\infty < |v_i| \leq M + 5\|K\|_\infty$$

et le Lemme 44 (Localité) avec une récurrence nous donne que $a^{3\|K\|_\infty} ca^M$ est un suffixe de v_k pour tout $k \in \llbracket i ; n \rrbracket$ et donc de v_i .

Soit $f \in F$. Posons $\langle u'|v' \rangle = \langle u_i|v_i \rangle \cdot f$. Alors

- $u'v' \in L$;
- le Lemme 44 (Localité) assure que $a^{2\|K\|_\infty} ca^M$ est un suffixe de v' .
- le Lemme 46 (Encadrement des tailles) assure que $|v'| \leq M + 6\|K\|_\infty$.

Donc $u'v'$ est de la forme $a^N ca^N a^M ca^M$ et $a^N ca^N a^{4\|K\|_\infty}$ est un suffixe de u' . On en déduit, par le Lemme 44 (Localité), que $a^N ca^N a^{3\|K\|_\infty}$ est un préfixe de u_i .

On a alors que $a^{3\|K\|_\infty} ca^M$ est un suffixe de v_i et que $a^N ca^N a^{3\|K\|_\infty}$ est un préfixe de u_i . Soit t une touche telle que $|t|_\leftarrow \neq |t|_A$ (conformément au Lemme 172). Posons

$$\langle x|y \rangle = \langle u_i|v_i \rangle \cdot tf \text{ et } \langle x'|y' \rangle = \langle u_i|v_i \rangle \cdot ttf$$

Par le Lemme 44 (Localité), $a^N c$ est un préfixe de x et de x' et ca^M est un suffixe de y et de y' . Puisque $xy \in L$ et $x'y' \in L$, on en déduit $xy = xy$. Mais en appliquant le Lemme 48 (Égalité des tailles loin des bords), on obtient

$$\begin{aligned} |xy| &= |u_i v_i| - |t|_\leftarrow + |t|_A - |f|_\leftarrow + |f|_A \\ |x'y'| &= |u_i v_i| - 2|t|_\leftarrow + 2|t|_A - |f|_\leftarrow + |f|_A \end{aligned}$$

Il est alors impossible d'avoir $|xy| = |x'y'|$ puisque $|t|_\leftarrow \neq |t|_A$. ◀

► **Theorem 174.** GEK, FEK, GREK, FRK et FREK ne sont pas stables par concaténation.

Démonstration. Les langages $a^n ca^n$ et $b^n cb^n$ sont dans GEK et dans FRK, mais ne sont pas dans FREK. ◀

Notons qu'il est très simple de montrer que L n'est pas dans FEK ou dans GREK.

► **Lemma 175.** *Le langage L n'est pas dans FEK.*

Démonstration. On applique le Lemme 84 (Distanciation minimale) avec la lettre c . ◀

► **Lemma 176.** *Le langage L n'est pas dans GREK.*

Démonstration. On suppose L reconnu par $K = (T, F)$. Soit $f \in F$. Alors f écrit deux c (car en appliquant t on obtient un mot de L). En particulier, le Lemme 78 (Insensibilité à la position) nous assure que f écrit ces deux c depuis n'importe quelle configuration. On en déduit que tout mot reconnu par K contient deux c à une distance au plus $\|K\|_\infty$. Absurde, d'où le résultat. ◀

7 Conclusion

Les claviers paraissent à première vue extrêmement erratiques dans leur expressivité : ils reconnaissent aisément les mots de Dyck ou les palindromes, mais certains langages rationnels semblent leur résister. Ils renversent notre vision usuelle des machines, car ne peuvent ni lire ni avoir d'état, mais peuvent effacer et se déplacer à l'aveugle dans les mots. Une simple paire de touches de quelques caractères peut mener à un langage à première vue abominable et les opérations usuelles sur les langages n'offrent guère de propriétés de clôture.

En nous intéressant aux différentes opérations élémentaires sur les claviers, nous avons pu voir que chacune apportait une grande expressivité et que la hiérarchie des langages de clavier était stricte et contrôlée par les classes usuelles de langages (rationnels, algébriques, contextuels). Cette étude permet également de mieux comprendre les opérations qu'admettent ces différentes classes : si les automates finis suffisent en l'absence de flèches, il faut une pile pour gérer les déplacements gauche et une grammaire contextuelle pour les déplacements quelconques.

Les claviers n'ayant pas fini de nous livrer leurs secrets, de nombreuses questions restent en suspens.

- A-t-on $EK \subset FRK$? (dernière question de la hiérarchie)
- FREK est-il inclus dans les algébriques ? Nous pensons que non, après regardé le clavier $\{a\blacktriangleright\!, b\blacktriangleleft\}$ qui semble avoir un comportement très erratique.
- FREK est-il inclus dans une classe de langages connue ? Nous pensons que les langages de clavier sont reconnaissables par des machines de TURING en espace linéaire. Il suffirait pour cela de majorer le nombre de lettres à effacer pour obtenir un mot.
- FREK permet-il d'exprimer tous les langages rationnels ? Nous pensons que non et cherchons à montrer que $a^*b^*c^*$ ou $a^* + b^* + c^*$ ne sont pas de clavier.
- Caractériser la décidabilité et la complexité du problème du mot et de l'universalité pour toutes les classes.
- Conclure sur les propriétés de clôture des différentes classes de clavier.
- Étudier d'autres extensions, sur lesquelles nous ne nous sommes pas penchés pour le moment : claviers de Büchi (avec une sémantique à définir proprement), claviers avec états, etc.

Références

- 1 Jorge L Ramírez Alfonsín et al. *The diophantine Frobenius problem*, volume 30. Oxford University Press on Demand, 2005.
- 2 Olivier Carton. *Langages formels, calculabilité et complexité / Olivier Carton ; préface de Dominique Perrin*. Vuibert, Paris, 2008.
- 3 Petr Jančar, Frantiek Mráz, and Martin Plátek. Forgetting automata and the chomsky hierarchy. In *in Proc. SOFSEM'92*. Citeseer, 1993.

A Preuves

A.1 Généralités

A.1.1 Preuve du Lemme 44 (Localité)

► **Lemma 177** (Localité). Soient $\langle u|v \rangle$ une configuration et $t = \sigma_1 \dots \sigma_n$ une touche. En notant $\langle u_n|v_n \rangle = \langle u|v \rangle \cdot t$, on a que $u[1, |u| - n]$ et $u_n[1, |u_n| - n]$ sont des préfixes de u_n et de u et que $v[n + 1, |v|]$ et $v_n[n + 1, |v_n|]$ sont des suffixes de v_n et de v .

Démonstration. Pour tout entier i , nous allons noter $w_p(u, i) = u[1, |u| - i]$ et $w_s(v, i) = v[i + 1, |v|]$.

On montre le résultat pour les opérations élémentaires et une récurrence nous donnera le résultat. Soit σ une opération élémentaire. On note $\langle u'|v' \rangle = \langle u|v \rangle \cdot \sigma$. On a plusieurs cas.

- Si $\sigma = a \in A$, alors $u' = ua$ et $v' = v$, et on a bien le résultat.
- Si $\sigma = \leftarrow$, on a $v' = v$. Pour montrer que $u[1, |u| - 1]$ et $u'[1, |u| - 1]$ sont préfixes de u' et de u , on distingue deux cas.
 - Si u est vide, alors u' est vide et on a $w_p(u, 1)$ et $w_p(u', 1)$ vides.
 - Sinon, u est de la forme $w_p(u, 1)c$ et donc $u' = w_p(u, 1)$.
- Dans les deux cas, on a le résultat.
- Si $\sigma = \blacktriangleleft$, on distingue deux cas.
 - Si u est vide, alors $u' = u$ et $v' = v$.
 - Sinon, u est de la forme $w_p(u, 1)c$ donc $u' = w_p(u, 1)$ et $v' = cv$.
- Dans les deux cas, on a le résultat.
- Si $\sigma = \triangleright$, on distingue deux cas.
 - Si v est vide, alors $u' = u$ et $v' = v$.
 - Sinon, v est de la forme $cw_s(v, 1)$ donc $u' = u_ic$ et $v' = w_s(v, 1)$.
- Dans les deux cas, on a le résultat.

Faisons maintenant la récurrence. Soit $t = \sigma_1 \dots \sigma_n$. On note $\langle u_0|v_0 \rangle = \langle u|v \rangle$ et pour tout entier $0 \leq i \leq n$, on note $\langle u_i|v_i \rangle = \langle u_0|v_0 \rangle \cdot \sigma_1 \dots \sigma_i$ (en particulier, pour $0 < i \leq n$, $\langle u_i|v_i \rangle = \langle u_{i-1}|v_{i-1} \rangle \cdot \sigma_i$).

Nous allons montrer par récurrence sur i que pour tout $0 \leq i \leq n$, $w_p(u, i)$ et $w_p(u_i, i)$ sont des préfixes de u_i et de u et que $w_s(v, i)$ et $w_s(v_i, i)$ sont des suffixes de v_i et de v . Le résultat est vrai pour $i = 0$ ($u_0 = u$ et $v_0 = v$).

Supposons le résultat vrai à l'étape i . Ainsi, $w_p(u, i)$ et $w_p(u_i, i)$ sont des préfixes de u_i et de u et que $w_s(v, i)$ et $w_s(v_i, i)$. Or le résultat préliminaire nous donne que $w_p(u_i, 1)$ et $w_p(u_{i+1}, 1)$ sont des préfixes de u_{i+1} et de u_i ce qui nous donne le résultat pour les préfixes. Et on a la même chose pour les suffixes. ◀

A.1.2 Preuve du Lemme 45 (Efficience loin des bords)

► **Lemma 178** (Efficience loin des bords). Soient $t = \sigma_1 \dots \sigma_n$ une touche et $\langle u|v \rangle$ une configuration. Si $n \leq \min(|u|, |v|)$, alors en notant $\langle u_n|v_n \rangle = \langle u|v \rangle \cdot t$, on a que $\langle u|v \rangle \xrightarrow{t}_e \langle u_n|v_n \rangle$ c'est-à-dire que l'exécution efficiente ne bloque pas.

Démonstration. Procérons par récurrence sur n . Si $n = 0$, alors la propriété est triviale.

Supposons le résultat vrai pour un entier n . Soient $t = \sigma_1 \dots \sigma_{n+1}$ une suite d'opérations élémentaires $\langle u|v \rangle$ une configuration telle que $n + 1 \leq \min(|u|, |v|)$. On note t' la suite d'opérations élémentaires $\sigma_1 \dots \sigma_n$. Par hypothèse de récurrence, il existe $\langle u_n|v_n \rangle$ telle que $\langle u|v \rangle \xrightarrow{t'}_e \langle u_n|v_n \rangle$.

Le Lemme 44 (Localité) nous donne de plus que u_n et v_n contiennent au moins un caractère. Ainsi u_n est de la forme $u'a$ et v_n est de la forme bv' avec $a, b \in A$. On a

$$\begin{aligned}\langle u_n | v_n \rangle &\xrightarrow{c} \langle u_n c | v_n \rangle \text{ si } c \in A. \\ \langle u_n | v_n \rangle &\xleftarrow{\leftarrow} \langle u' | v_n \rangle. \\ \langle u_n | v_n \rangle &\xrightarrow{\blacktriangleleft} \langle u' | av_n \rangle. \\ \langle u_n | v_n \rangle &\xrightarrow{\blacktriangleright} \langle u_n b | v' \rangle.\end{aligned}$$

Ainsi, peu importe la valeur de σ_{n+1} , il existe une configuration $\langle u_{n+1} | v_{n+1} \rangle$ telle que $\langle u_n | v_n \rangle \xrightarrow{\sigma_{n+1}} \langle u_{n+1} | v_{n+1} \rangle$ et donc telle que $\langle u | v \rangle \xrightarrow{t} \langle u_{n+1} | v_{n+1} \rangle$.

Et donc on a bien le résultat. \blacktriangleleft

A.1.3 Preuve du Lemme 48 (Égalité des tailles loin des bords)

► **Lemma 179** (Égalité des tailles loin des bords). *Soient $t = \sigma_1 \dots \sigma_n$ une touche et $\langle u | v \rangle$ une configuration telle que $|u| \geq n$ et $|v| \geq n$. En posant $\langle u_n | v_n \rangle = \langle u | v \rangle \cdot t$, alors*

$$|u_n v_n| = |uv| - |t|_{\leftarrow} + \sum_{x \in A} |t|_x.$$

Démonstration. Procérons par induction sur n . Si $n = 0$ alors la propriété est triviale.

Supposons la propriété vraie pour un entier n . Soient $t = \sigma_1 \dots \sigma_{n+1}$ une suite d'opérations élémentaires et $\langle u | v \rangle$ une configuration telle que $|u| \geq n+1$ et $|v| \geq n+1$. On note t' la suite $\sigma_1 \dots \sigma_n$, $\langle u_n | v_n \rangle = \langle u | v \rangle \cdot t'$ et $\langle u_{n+1} | v_{n+1} \rangle = \langle u | v \rangle \cdot t$.

Le lemme de localité nous donne que u_n et v_n contiennent au moins un caractère. Ainsi u_n est de la forme $u'a$ et v_n est de la forme bv' , avec $a, b \in A$. On a

$$\begin{cases} u_{n+1} = u_n c & v_{n+1} = v_n & \text{si } \sigma_{n+1} = c \in A \\ u_{n+1} = u' & v_{n+1} = v_n & \text{si } \sigma_{n+1} = \leftarrow \\ u_{n+1} = u' & v_{n+1} = av_n & \text{si } \sigma_{n+1} = \blacktriangleleft \\ u_{n+1} = u_n b & v_{n+1} = v' & \text{si } \sigma_{n+1} = \blacktriangleright \end{cases}$$

L'hypothèse d'induction appliquée à t' et à $\langle u_n | v_n \rangle$, à savoir

$$|u_n v_n| = |uv| - |t'|_{\leftarrow} + \sum_{x \in A} |t'|_x$$

nous permet de conclure et d'obtenir le résultat :

$$|u_{n+1} v_{n+1}| = |uv| - |t|_{\leftarrow} + \sum_{x \in A} |t|_x.$$

Ceci conclut notre récurrence et nous donne le résultat. \blacktriangleleft

A.1.4 Preuve de la Proposition 49

► **Proposition 180.** *Soit K un clavier automatique de langage L . Notons $(\ell_n)_{n \in \mathbb{N}}$ les longueurs des mots reconnus par L triés par ordre croissant. Alors $(\ell_{n+1} - \ell_n)_{n \in \mathbb{N}}$ est bornée par $\|K\|_\infty$.*

Démonstration. Si pour tout mot $w \in L$, $|w| \leq \|K\|_\infty$, la propriété est trivialement vraie.

Sinon, on considère $w \in L$ tel que $|w| > \|K\|_\infty$. Le Lemme 46 (Encadrement des tailles) nous assure qu'une exécution menant à w est au moins de taille 2. En effet, si on avait w en une seule touche t , on aurait

$$|w| \leq |\varepsilon| + \sum_{a \in A} |t|_a \leq \|K\|_\infty.$$

Ainsi, il existe $t_0 \dots t_{n+1}$ ($n \in \mathbb{N}$) telle que $\langle \varepsilon | \varepsilon \rangle \cdot t_0 \dots t_{n+1} = \langle u | v \rangle$ et $w = uv$. Pour tout $i \in \llbracket 0, n+1 \rrbracket$, on pose

$$\begin{cases} \langle u_i | v_i \rangle = \langle \varepsilon | \varepsilon \rangle \cdot t_1 \dots t_i \\ w_i = u_i v_i \end{cases}.$$

Les w_i sont dans L (car K est automatique) et le Lemme 46 (Encadrement des tailles) nous assure que pour tout $i \in \llbracket 0, n \rrbracket$, $||w_{i+1}| - |w_i|| \leq \|K\|_\infty$. De plus, $0 \leq |w_0| \leq \|K\|_\infty$ et $|w_n| = |w| > \|K\|_\infty$, donc il existe $k \in \llbracket 0, n-1 \rrbracket$ tel que $w_k \neq w$ et

$$|w| - \|K\|_\infty \leq |w_k| \leq |w|.$$

Ainsi, pour tout $w \in L$ de taille strictement supérieure à $\|K\|_\infty$, il existe $w' \in L$ tel que $w' \neq w$ et

$$|w| - \|K\|_\infty \leq |w'| \leq |w|,$$

ce qui démontre la proposition. \blacktriangleleft

A.1.5 Preuve de la Proposition 50

► **Proposition 181.** Soit $K = (T, F)$ un clavier de langage L . Notons $(\ell_n)_{n \in \mathbb{N}}$ les longueurs des mots reconnus par L triés par ordre croissant. Alors $(\ell_{n+1} - \ell_n)_{n \in \mathbb{N}}$ est bornée par $3\|K\|_\infty$.

Démonstration. Si pour tout $w \in L$, $|w| \leq 3\|K\|_\infty$, alors le résultat est vrai.

Sinon, on considère w tel que $|w| > 3\|K\|_\infty$. Le Lemme 46 (Encadrement des tailles) assure qu'on ne peut pas obtenir w en appuyant sur une seule touche. Ainsi, il existe $n > 0$ et $t_1 \dots t_n f \in T^*F$ qui mène à w . Pour tout i entre 1 et n , on pose

$$\langle u_i | v_i \rangle = \langle \varepsilon | \varepsilon \rangle \cdot t_1 \dots t_i$$

et on pose $\langle u_{n+1} | v_{n+1} \rangle = \langle \varepsilon | \varepsilon \rangle \cdot t_1 \dots t_n f$.

Soit i l'indice maximal tel que $|u_i v_i| < |w| - \|K\|_\infty$. Alors, on a $|u_{i+1} v_{i+1}| > |u_i v_i|$ et $|u_{i+1} v_{i+1}| \geq |w| - \|K\|_\infty$. De plus, le Lemme 46 (Encadrement des tailles) nous donne que $|u_{i+1} v_{i+1}| - |u_i v_i| \leq \|K\|_\infty$. On en déduit que

$$|w| - 2\|K\|_\infty \leq |u_i v_i| < |w| - \|K\|_\infty.$$

En appliquant une touche finale à $\langle u_i | v_i \rangle$, on obtient un mot w' de L . On montre alors avec le Lemme 46 (Encadrement des tailles) que

$$|w| - 3\|K\|_\infty \leq |w'| < |w|.$$

Ainsi, pour tout $w \in L$ de taille strictement supérieure à $3\|K\|_\infty$, il existe $w' \in L$ tel que $|w| - 3\|K\|_\infty \leq |w'| < |w|$, ce qui démontre la proposition. \blacktriangleleft

A.1.6 Preuve du Lemme 52 (Monotonie)

► **Lemme 182** (Monotonie). Soient $u, v, u', v' \in A^*$ et $t \in S^*$ une touche. Notons $\langle x|y \rangle = \langle u|v \rangle \cdot t$ et $\langle x'|y' \rangle = \langle u'|v' \rangle \cdot t$. Si $|u| \leq |u'|$ et $|v| \leq |v'|$, alors $|x| \leq |x'|$ et $|y| \leq |y'|$.

Démonstration. On procède par induction sur la touche t . Si $t = \varepsilon$, le résultat est vrai.

Sinon, $t = t'\sigma$, alors en notant $\langle \alpha|\beta \rangle = \langle u|v \rangle \cdot t'$ et $\langle \alpha'|\beta' \rangle = \langle u'|v' \rangle \cdot t'$, on a, par l'hypothèse d'induction,

$$|\alpha| \leq |\alpha'| \text{ et } |\beta| \leq |\beta'|.$$

Nous analysons les différents cas possibles.

- Si $\sigma = a \in A$ alors $x = \alpha a$, $x' = \alpha' a$, $y = \beta$ et $y' = \beta'$ donc les inégalités sont bien préservées.
- Si $\sigma = \leftarrow$, on a $y = \beta$ et $y' = \beta'$. Pour le côté gauche, on distingue trois cas.
 - Si $\alpha' = \varepsilon$, alors $\alpha = \varepsilon$ et donc $x' = x = \varepsilon$.
 - Si $\alpha = \varepsilon$ et $\alpha' \neq \varepsilon$, alors $|x| = 0 \leq |x'|$.
 - Si $\alpha \neq \varepsilon$ et $\alpha' \neq \varepsilon$, alors $|x| = |\alpha| - 1$ et $|x'| = |\alpha'| - 1$.
 Les inégalités sont bien préservées.
- Si $\sigma = \blacktriangleleft$, on distingue trois cas.
 - Si $\alpha' = \varepsilon$, alors $\alpha = \varepsilon$ et donc $x' = x = \varepsilon$, $y = \beta$ et $y' = \beta'$.
 - Si $\alpha = \varepsilon$ et $\alpha' \neq \varepsilon$, alors on a $|x| = 0 \leq |x'|$ du côté droit et $|y| = |\beta|$ et $|y'| = |\beta'| + 1$ du côté gauche.
 - Si $\alpha \neq \varepsilon$ et $\alpha' \neq \varepsilon$, alors on a $|x| = |\alpha| - 1$ et $|x'| = |\alpha'| - 1$ du côté droit et $|y| = |\beta| + 1$ et $|y'| = |\beta'| + 1$ du côté gauche.
 Les inégalités sont bien préservées.
- Si $\sigma = \blacktriangleright$, on distingue trois cas.
 - Si $\beta' = \varepsilon$, alors $\beta = \varepsilon$ et donc $y' = y = \varepsilon$, $x = \alpha$ et $y' = \alpha'$.
 - Si $\beta = \varepsilon$ et $\beta' \neq \varepsilon$, alors on a $|y| = 0 \leq |y'|$ du côté droit et $|x| = |\alpha|$ et $|x'| = |\alpha'| + 1$ du côté gauche.
 - Si $\beta \neq \varepsilon$ et $\beta' \neq \varepsilon$, alors on a $|y| = |\beta| - 1$ et $|y'| = |\beta'| - 1$ du côté droit et $|x| = |\alpha| + 1$ et $|x'| = |\alpha'| + 1$ du côté gauche.
 Et les inégalités sont bien préservées.

Ceci permet de conclure notre induction et donc notre preuve. ◀

A.1.7 Preuve du Lemme 54

► **Lemme 183.** Soit $t = \sigma_1 \dots \sigma_n$ une touche telle que $\langle u|v \rangle \xrightarrow{t}_e \langle u_n|v_n \rangle$. Alors pour tous mots x, y ,

$$\langle xu|vy \rangle \xrightarrow{t}_e \langle xu_n|v_ny \rangle.$$

Démonstration. On montre le résultat par récurrence sur n . Le résultat est vrai si $n = 0$. Si, $n > 0$ on a

$$\langle u|v \rangle \xrightarrow{\sigma_1 \dots \sigma_n}_e \langle u_n|v_n \rangle \xrightarrow{\sigma_{n+1}}_e \langle u_{n+1}|v_{n+1} \rangle.$$

Par hypothèse d'induction,

$$\langle xu|vy \rangle \xrightarrow{\sigma_1 \dots \sigma_n}_e \langle xu_n|v_ny \rangle.$$

On regarde le comportement de σ_{n+1} .

- Si $\sigma_{n+1} = a \in A$, alors $\langle u_{n+1}|v_{n+1} \rangle = \langle u_n a|v_n \rangle$ et $\langle x u_n|v_n y \rangle \xrightarrow{a} \langle x u_n a|v_n y \rangle$.
 - Si $\sigma_{n+1} = \leftarrow$, alors, par efficience, u_n n'est pas vide et est de la forme $u'a$ et donc $\langle u_{n+1}|v_{n+1} \rangle = \langle u'|v_n \rangle$ et $\langle x u_n|v_n y \rangle \xleftarrow{\leftarrow} \langle x u'|v_n y \rangle$.
 - Si $\sigma_{n+1} = \blacktriangleleft$, alors, par efficience, u_n n'est pas vide et est de la forme $u'a$ et donc $\langle u_{n+1}|v_{n+1} \rangle = \langle u'|av_n \rangle$ et $\langle x u_n|v_n y \rangle \xleftarrow{\blacktriangleleft} \langle x u'|av_n y \rangle$.
 - Si $\sigma_{n+1} = \triangleright$, alors, par efficience, v_n n'est pas vide et est de la forme av' et donc $\langle u_{n+1}|v_{n+1} \rangle = \langle u_n a|v' \rangle$ et $\langle x u_n|v_n y \rangle \xrightarrow{\triangleright} \langle x u_n a|v' y \rangle$.
- et on obtient le résultat voulu. \blacktriangleleft

A.2 Preuve des propriétés sur les touches

A.2.1 Preuve de la Proposition 59

► **Proposition 184.** Soit $t = \sigma_1 \dots \sigma_n$ une touche, $\langle u|v \rangle$ une configuration. On note

$$\begin{aligned}\langle u_n|v_n \rangle &= \langle u|v \rangle \cdot t & \langle x'_n|y'_n \rangle &= f_c(u, v) \cdot t \\ \langle u'_n|v'_n \rangle &= \langle u|v \rangle \cdot f_t(t) & \langle x_n|y_n \rangle &= f_c(u, v) \cdot f_t(t)\end{aligned}$$

Alors,

$$|u_n| = |x_n| = |u'_n| = |x'_n| \quad \text{et} \quad |v_n| = |y_n| = |v'_n| = |y'_n|$$

et de plus, pour tout $a \in A$,

$$\begin{aligned}\langle u_n|v_n \rangle_j &= a \text{ssi } \langle x_n|y_n \rangle_j = \widehat{k} \text{ et } \langle u|v \rangle_k = a \quad \text{ou } \langle x_n|y_n \rangle_j = \check{k} \text{ et } t_k = a \\ &\quad \text{ssi } \langle u'_n|v'_n \rangle_j = a \quad \text{ou } \langle u'_n|v'_n \rangle_j = \check{k} \text{ et } t_k = a \\ &\quad \text{ssi } \langle x'_n|y'_n \rangle_j = \widehat{k} \text{ et } \langle u|v \rangle_k = a \quad \text{ou } \langle x'_n|y'_n \rangle_j = a \\ &\quad \text{(ssi il y avait un } a \quad \text{ou la touche a écrit un } a).\end{aligned}$$

Dans chaque cas, on distingue le cas où le a était déjà écrit et celui où c'est la touche qui l'a écrit.

Démonstration. Pour tout $i \in \llbracket 1 ; n \rrbracket$, on pose

$$\begin{aligned}\langle u_i|v_i \rangle &= \langle u|v \rangle \cdot \sigma_1 \dots \sigma_i & \langle x'_i|y'_n \rangle &= f_c(u, v) \cdot \sigma_1 \dots \sigma_i \\ \langle u'_i|v'_i \rangle &= \langle u|v \rangle \cdot f_t(\sigma_1 \dots \sigma_i) & \langle x_i|y_i \rangle &= f_c(u, v) \cdot f_t(\sigma_1 \dots \sigma_i)\end{aligned}$$

Une induction sur i permet alors de montrer que pour tout $i \in \llbracket 1 ; n \rrbracket$,

$$|u_i| = |x_i| = |u'_i| = |x'_i| \quad \text{et} \quad |v_i| = |y_i| = |v'_i| = |y'_i|$$

et que pour tout $a \in A$,

$$\begin{aligned}\langle u_i|v_i \rangle_j &= a \text{ssi } \langle x_i|y_i \rangle_j = \widehat{k} \text{ et } \langle u|v \rangle_k = a \quad \text{ou } \langle x_i|y_i \rangle_j = \check{k} \text{ et } t_k = a \\ &\quad \text{ssi } \langle u'_i|v'_i \rangle_j = a \quad \text{ou } \langle u'_i|v'_i \rangle_j = \check{k} \text{ et } t_k = a \\ &\quad \text{ssi } \langle x'_i|y'_i \rangle_j = \widehat{k} \text{ et } \langle u|v \rangle_k = a \quad \text{ou } \langle x'_i|y'_i \rangle_j = a.\end{aligned}$$



A.2.2 Preuve de la Proposition 68

► **Proposition 185.** Soient t une touche et $\langle u|v \rangle$ et $\langle x|y \rangle$ deux configurations sur lesquelles t agit de manière efficiente. Alors t écrit son k^{e} symbole en position i depuis $\langle u|v \rangle$ si et seulement si t écrit son k^{e} symbole en position i depuis $\langle x|y \rangle$. En particulier, t écrit un a en position i depuis $\langle u|v \rangle$ si et seulement si t écrit un a en position i depuis $\langle x|y \rangle$ et t écrit un a depuis $\langle u|v \rangle$ si et seulement si t écrit un a depuis $\langle x|y \rangle$.

Démonstration. Soit $n = |u|, m = |v|, p = |x|$ et $q = |y|$ et a une lettre. On pose

$$\langle u'|v' \rangle = \langle a^n|a^m \rangle \cdot f_t(t) \quad \text{et} \quad \langle x'|y' \rangle = \langle a^p|a^q \rangle \cdot f_t(t).$$

Par la Corollaire 62 et la Proposition 65, on a que t écrit son k^{e} symbole en position i depuis $\langle u|v \rangle$ (respectivement depuis $\langle x|y \rangle$) si et seulement si $\langle u'|v' \rangle_i = \check{k}$ (respectivement $\langle x'|y' \rangle_i = \check{k}$). Posons $N = \max(n, p)$ et $M = \max(m, q)$. Par le Lemme 55, t agit de manière efficiente sur $\langle a^n|a^m \rangle$ et sur $\langle a^p|a^q \rangle$, donc par le Lemme 54,

$$\langle a^N|a^M \rangle \cdot f_t(t) = \langle a^{N-n}u'|v'a^{M-m} \rangle \quad \text{et} \quad \langle a^N|a^M \rangle \cdot f_t(t) = \langle a^{N-p}x'|y'a^{M-q} \rangle.$$

En particulier, on a d'un côté $\langle a^N|a^M \rangle_i = \check{k}$ si et seulement si $\langle u'|v' \rangle_i = \check{k}$ et de l'autre $\langle a^N|a^M \rangle_i = \check{k}$ si et seulement si $\langle x'|y' \rangle_i = \check{k}$. D'où le résultat. ◀

A.3 Les claviers sans flèches

A.3.1 Preuve du Lemme 73 (Caractérisation des configurations REK)

► **Lemma 186** (Caractérisation des configurations REK). Soient K un clavier de REK, $u \in A^*$ et $t_1 \dots t_n \in K^*$. Alors $\langle u|\varepsilon \rangle \cdot t_1 \dots t_n$ est de la forme $\langle v|\varepsilon \rangle$ avec $v \in A^*$.

Démonstration. On montre le résultat pour les actions élémentaires, et on l'obtient sur les touches par une induction immédiate sur la longueur de la touche. L'action d'une suite de touches τ étant équivalent à celle de la concaténation des touches de τ , on aura le résultat.

Les actions élémentaires qui sont faisables ici sont le retour arrière et l'écriture d'une lettre a et on a

$$\begin{aligned} \langle u|\varepsilon \rangle \cdot a &= \langle ua|\varepsilon \rangle \\ \langle u|\varepsilon \rangle \cdot \leftarrow &= \begin{cases} \langle u|\varepsilon \rangle & \text{si } u = \varepsilon \\ \langle v|\varepsilon \rangle & \text{si } u = vb \end{cases} \end{aligned}$$

ce qui montre le résultat pour les actions élémentaires. ◀

A.3.2 Preuve du Lemme 74 (Forme normale d'une touche REK)

► **Lemma 187** (Forme normale d'une touche REK). Soit $t \in S^*$ une suite d'opérations élémentaires de REK. Alors il existe un unique $k \in \mathbb{N}$ et un unique $w \in A^*$ tels que $t \sim \leftarrow^k w$. De plus, k et w peuvent être trouvés en temps polynomial en la taille de t .

Démonstration. L'idée est de supprimer les séquences $a\leftarrow$ (avec $a \in A$) de la touche tant qu'il y en a (car $a\leftarrow$ est équivalent à la séquence vide).

Supposons que t est de la forme $t_1 a \leftarrow t_2$ avec $t_1, t_2 \in S^*$ et $a \in A$. Soit u une configuration. Notons $v = u \cdot t_1$. On a

$$\begin{aligned} u \cdot t &= ((v \cdot a) \cdot \leftarrow) \cdot t_2 \\ &= (va \cdot \leftarrow) \cdot t_2 \\ &= v \cdot t_2 \\ &= (u \cdot t_1) \cdot t_2 = u \cdot t_1 t_2. \end{aligned}$$

Ainsi, si t contient une lettre suivie d'un retour, il existe une touche équivalente, strictement plus courte, sans cette séquence d'opérations. Il existe donc une touche t' de même action que t sans aucune séquence d'opérations de la forme $a \leftarrow$, c'est-à-dire de la forme $\leftarrow^k w$.

Nous pouvons bien trouver la touche correspondante en temps polynomial. En effet, nous parcourons la touche t jusqu'à trouver une lettre suivie d'un retour. S'il n'y en a pas, on retourne la touche, sinon on supprime cette séquence et on réitère l'opération.

À chaque étape, la taille de la touche considérée diminue d'au moins 1, et donc il y a au plus $|t|$ étapes avec, à l'étape k , le parcours d'une touche de taille inférieure ou égale à $|t| - k$. On majore donc notre nombre d'opérations par

$$\sum_{k=0}^{|t|} |t| - k = O(|t|^2).$$



A.4 Les claviers sans flèche droite

A.4.1 Preuve du Théorème 77 (fondamental de GREK)

► **Theorem 188** (fondamental de GREK). *Soient $t = \sigma_1 \cdots \sigma_n$ une suite d'opérations élémentaires et $\langle u|v \rangle$ une configuration. Nous posons $\langle x_n|y_n \rangle = \langle \varepsilon|\varepsilon \rangle \cdot t$. Alors $\langle u|v \rangle \cdot t$ est de la forme $\langle u_n x_n | v_n v \rangle$ avec y_n un sous-mot de v_n et u_n un préfixe de u .*

Démonstration. Procédons par induction sur n . Si $n = 0$ alors la propriété est trivialement vraie.

Si $n > 0$, posons $\langle x_{n-1}|y_{n-1} \rangle = \langle \varepsilon|\varepsilon \rangle \cdot \sigma_1 \cdots \sigma_{n-1}$. Soit $\langle u|v \rangle$ une configuration. On pose $c_n = \langle u|v \rangle \cdot \sigma_1 \cdots \sigma_n$. Par hypothèse d'induction, il existe u_{n-1} et v_{n-1} tels que

$$c_{n-1} = \langle u_{n-1} x_{n-1} | v_{n-1} v \rangle$$

avec y_{n-1} un sous-mot de v_{n-1} et u_{n-1} un préfixe de u .

On distingue alors plusieurs cas.

- Si $\sigma_n = a \in A$, alors $x_n = x_{n-1}a$ et $y_n = y_{n-1}$. On pose $u_n = u_{n-1}$ et $v_n = v_{n-1}$.
- Si $\sigma_n = \leftarrow$ et $x_{n-1} = \varepsilon$, alors $x_n = \varepsilon$ et $y_n = y_{n-1}$. On pose $v_n = v_{n-1}$ et

$$u_n = \begin{cases} u'_{n-1} & \text{si } u_{n-1} = u'_{n-1}a \ (a \in A) \\ \varepsilon & \text{sinon} \end{cases}.$$

- Si $\sigma_n = \leftarrow$ et $x_{n-1} = x'_{n-1}a$ avec $a \in A$, alors $x_n = x'_{n-1}$ et $y_n = y_{n-1}$. On pose $u_n = u_{n-1}$ et $v_n = v_{n-1}$.

- Si $\sigma_n = \blacktriangleleft$ et $x_{n-1} = \varepsilon$, alors $x_n = \varepsilon$ et $y_n = y_{n+1}$. On distingue deux cas.

- Si $u_{n-1} = \varepsilon$, on pose $u_n = \varepsilon$ et $v_n = v_{n-1}$.

- Si $u_{n-1} = u'_{n-1}a$ avec $a \in A$, on pose $u_n = u'_{n-1}$ et $v_n = av_{n-1}$.



- Si $\sigma_n = \blacktriangleleft$ et $x_{n-1} = x'_{n-1}a$ avec $a \in A$, alors $x_n = x'_{n-1}$ et $y_n = ay_{n-1}$. On pose $u_n = u_{n-1}$ et $v_n = av_{n-1}$.

Dans tous les cas, on a bien $c_n = \langle u_n x_n | v_n v \rangle$ avec y_n sous-mot de v_n et u_n préfixe de u .

L'induction est démontrée. \blacktriangleleft

A.4.2 Preuve du Lemme 78 (Insensibilité à la position)

► **Lemma 189** (Insensibilité à la position). *Soient t une touche de GREK et $\langle u|v \rangle$ une configuration. Si t écrit un a depuis $\langle u|v \rangle$, alors t écrit un a depuis toute configuration $\langle x|y \rangle$.*

Démonstration. Soit $\langle x|y \rangle$ une configuration. La Proposition 65 permet de supposer qu'elle ne contient pas de a et la Remarque 58, permet de supposer que $t_1 = a$ et que t écrit son premier symbole depuis $\langle u|v \rangle$. On a que t est de la forme $\sigma_1 \dots \sigma_n$ et pour tout i entre 1 et n , on pose

$$\langle u_i|v_i \rangle = \langle u|v \rangle \cdot \sigma_1 \dots \sigma_i \quad \text{et} \quad \langle x_i|y_i \rangle = \langle x|y \rangle \cdot \sigma_1 \dots \sigma_i.$$

Soit i le premier indice tel que u_i ou x_i est vide, et $i = n$ si un tel entier n'existe pas (notons que $i > 1$ car u_1 et x_1 contiennent au moins un a écrit par σ_1). Puisque t écrit son premier symbole depuis $\langle u|v \rangle$, alors $\sigma_1 \dots \sigma_i$ écrit un a depuis $\langle u|v \rangle$ à une certaine position j .

De plus, $\sigma_1 \dots \sigma_i$ agit de manière efficiente sur $\langle u|v \rangle$ et sur $\langle x|y \rangle$, donc par la Proposition 68, t écrit un a depuis $\langle x|y \rangle$ à la position j . Puisque u_i ou x_i est vide, alors $j > 0$ et on a $y_i[j] = v_i[j] = a$. Et ce a ne peut pas être effacé par $\sigma_{i+1} \dots \sigma_n$ car il est à droite du curseur.

Ainsi, $\langle x_n|y_n \rangle$ contient un a , hors $\langle x|y \rangle$ n'en contenait pas, ce qui montre le résultat, par la Proposition 66. \blacktriangleleft

A.5 Les claviers sans retour

A.5.1 Preuve du Lemme 81 (Itération de lettre)

► **Lemma 190** (Itération de lettre). *Soient $L \in \mathbf{FK}$, $w \in L$ et a une lettre apparaissant dans w . Alors il existe une suite $(w_n)_{n \in \mathbb{N}}$ de mots de L telle que $\forall n \in \mathbb{N}, |w_n|_a \geq n$.*

Démonstration. Soit K un clavier de \mathbf{FK} qui reconnaît L . Il existe une suite de touches $\tau = t_1 \dots t_k$ telle que $\langle \varepsilon|\varepsilon \rangle \cdot \tau = \langle u|v \rangle$ avec $uv = w$.

Puisque a est une lettre de w , alors il existe $i \in \llbracket 1, k \rrbracket$ telle que $|t_i|_a \geq 1$. On pose alors $u_0 = v_0 = \varepsilon$, et pour tout $n \in \mathbb{N}$, $\langle u_{n+1}|v_{n+1} \rangle = \langle u_n|v_n \rangle \cdot t_i$ et $w_n = u_n v_n$.

Une récurrence sur n montre que $|w_n|_a \geq n$. Le résultat est vrai pour $n = 0$ et s'il est vrai pour $n \in \mathbb{N}$, alors le Lemme 80 (Non effacement) et l'hypothèse de récurrence permettent de conclure :

$$|w_{n+1}|_a = |w_n|_a + |t_i|_a \geq |w_n|_a + 1 \geq n + 1.$$

Et on a le résultat. \blacktriangleleft

A.5.2 Preuve du Lemme 82 (Itération de lettre FEK)

► **Lemma 191** (Itération de lettre FEK). *Soit $K = (T, F)$ un clavier de FEK. S'il existe $w \in L$ tel que $|w|_a > \|K\|_\infty$, alors pour tout $n \in \mathbb{N}$, il existe $w_n \in L$ tel que $|w_n|_a \geq n$.*

Démonstration. Soit w tel que $|w|_a > \|K\|_\infty$. Le Lemme 46 (Encadrement des tailles) nous donne qu'une exécution acceptant w est au moins de longueur 2 (car $|w| > \|K\|_\infty$).

Soit $\tau = t_0 \dots t_{n+1}$ une suite de touches menant à accepter w . On note w' le mot obtenu en appuyant sur $\tau' = t_0 \dots t_n$. Puisque $|w|_a > \|K\|_\infty$, alors, par le Lemme 80 (Non effacement),

$$|w'|_a = |w|_a - |t_{n+1}|_a \geq |w|_a - |t_{n+1}| \geq |w|_a - \|K\|_\infty > 0.$$

On en déduit qu'il existe t transiente tel que $t_a > 0$. Pour tout $k \in \mathbb{N}$, on pose alors $w_k = u_k v_k$ où

$$\langle u_k | v_k \rangle = \langle \varepsilon | \varepsilon \rangle \cdot \underbrace{t \cdots t}_{k \text{ fois}} \cdot t_{n+1}.$$

Une récurrence immédiate, à l'aide du Lemme 80 (Non effacement), montre que $|w_k|_a \geq k$. ◀